Федеральное Государственное автономное образовательное учреждение высшего образования «Национальный исследовательский технологический университет «МИСиС» (НИТУ «МИСиС»)

На правах рукописи

Хассан Абдельрхман Ибрахим Абдельмоати Мохамед

ИССЛЕДОВАНИЕ ТЕХНОЛОГИИ ПЛАВКИ МЕТАЛЛИЗОВАННОГО СЫРЬЯ С РАЗЛИЧНЫМ СОДЕРЖАНИЕМ ФОСФОРА В ДСП С ЦЕЛЬЮ ПОВЫШЕНИЯ ЭФФЕКТИВНОСТИ ПРОИЗВОДСТВА СТАЛИ

специальность 05.16.02 – «Металлургия черных, цветных и редких металлов»

Диссертация на соискание ученой степени кандидата технических наук

Научный руководитель: кандидат технических наук, доцент Котельников Г.И

СОДЕРЖАНИЕ

ВВЕДЕНИЕ4
1 АНАЛИТИЧЕСКИЙ ОБЗОР ЛИТЕРАТУРЫ
1.1 Металлизованное сырьё для плавки стали в ДСП9
1.2 Технология выплавки стали с использованием металлизованного сырья18
1.3 Анализ реакций, протекающих при удалении фосфора из ванны ДСП22
Выводы по главе 1, цели и задачи работы
2 ОПИСАНИЕ БАЗОВОЙ ТЕХНОЛОГИИ EZZ FLAT STEEL И МЕТОДИКА EE ИССЛЕДОВАНИЯ
2.1 Характеристики ДСП-220
2.2 Состав используемых материалов
2.3 Базовая технология
2.4 Методика исследования базовой технологии
Выводы по главе 2
3 АНАЛИЗ ПРОЦЕССА ДЕФОСФОРАЦИИ ПРИ ВЫПЛАВКЕ СТАЛИ ИЗ МЕТАЛЛИЗОВАННОГО СЫРЬЯ С ПОВЫШЕННЫМ СОДЕРЖАНИЕМ ФОСФОРА40
3.1 Влияние доли металлизованного сырья в шихте на содержание фосфора в металле и шлаке. Балансовый анализ процесса дефосфорации
3.2 Анализ процесса дефосфорации с использованием методов термодинамики48
3.3 Механизм удаления фосфора при плавке окатышей и ГБЖ
Выводы по главе 3
4 АНАЛИЗ ТЕХНОЛОГИИ ВЫПЛАВКИ СТАЛИ С ИСПОЛЬЗОВАНИЕМ В ШИХТЕ МЕТАЛЛИЗОВАННЫХ ОКАТЫШЕЙ И ГБЖ С ПОВЫШЕННЫМ СОДЕРЖАНИЕМ ФОСФОРА
4.1 Зависимость показателей плавки от доли металлизованного сырья в ДСП83
4.2 Влияние вида металлизованного сырья (ГБЖ или окатыши), загружаемого в печь непрерывно, на содержание фосфора в металле и параметры процесса
4.3 Сравнение базовой и новой технологии плавки металлизованного сырья с повышенным содержанием фосфора в дуговой печи ДСП-220
Выводы по главе 4
5 АНАЛИЗ ПРОЦЕССА ДЕФОСФОРАЦИИ ПРИ ВЫПЛАВКЕ СТАЛИ ИЗ МЕТАЛЛИЗОВАННОГО СЫРЬЯ С НИЗКИМ СОДЕРЖАНИЕМ ФОСФОРА96
5.1 Влияние доли ГБЖ на содержание фосфора в металле и шлаке
5.2 Анализ процесса дефосфорации при плавлении ГБЖ с низким содержанием фосфора 101
5.3 Оценка возможности замены низкофосфористого ГБЖ на высокофосфористое114
Выводы по главе 5

ЗАКЛЮЧЕНИЕ	117
СПИСОК ЛИТЕРАТУРЫ	119
Приложение А -Данные дополнительных плавок с использованием металлизованного си	ырья.125
Приложение Б - Письмо о согласовании темы работы с заводом EZZ Flat Steel	13
Приложение В - Письмо об использовании результатов диссертации заводом EZZ Flat S	teel133

ВВЕДЕНИЕ

Актуальность работы. Производство металлизованного сырья в мире растёт, в 2014 году оно составило 73 млн тонн. Для получения металлизованных окатышей (МОК) и горячебрикетированного железа (ГБЖ) всё чаще используют не только чистые руды, но и руды, в которых наблюдается повышенное содержание фосфора. При этом концентрация фосфора в окатышах и брикетах повысилась в настоящее время с 0,01% до 0,06 и даже 0,15%. В то же время исследования по технологии плавки металлизованного сырья с различным содержанием фосфора в дуговых сталеплавильных печах проводятся весьма ограниченно, что не позволяет получать ответы на ряд проблемных вопросов. Развитие исследований в этом направлении позволит повысить эффективность производства использовать более металлизованное сырьё с повышенным содержанием фосфора, а также увеличить объём производства этого весьма перспективного материала с низким содержанием цветных примесей.

Процесс дефосфорации в окислительных условиях, как известно, базируется на соблюдении технологических параметров, к которым относятся окисленность системы, основность шлака И температурный режим процесса. В случае использования металлизованного сырья с высоким содержанием углерода в нём окисленность системы может выступать в качестве определяющего фактора, так как и фосфор, и углерод удаляются из металла в результате окисления и соответственно эти элементы являются конкурентами в отношении взаимодействия с кислородом. Эта ситуация является довольно очевидной. Однако, до настоящего времени процесс дефосфорации представляют в форме окисления только фосфора, пренебрегая параллельным окислением углерода И возможной рефосфорации, несмотря на то, что использование при плавке углеродсодержащих материалов в виде чугуна, окатышей, электродного боя, кокса и других материалов увеличивается.

Важно также изучение влияния вида металлизованного сырья (окатыши или ГБЖ), его доли в шихте и способов загрузки на полноту протекания процесса дефосфорации и эффективность производства стали в дуговых сталеплавильных печах, так как вид шихты, содержание в ней углерода должны оказывать влияние на окисленность ванны и удаление фосфора.

Таким образом, решение проблемы дефосфорации при переделе высокофосфористой шихты требует дополнительного тщательного как теоретического, так и экспериментального анализа.

Целью диссертационной работы является исследование и совершенствование технологии плавки стали с использованием металлизованного сырья (окатышей и

горячебрикетированного железа) с повышенным содержанием фосфора в современной дуговой сталеплавильной печи, предусматривающей порционную и непрерывную подачу этого сырья. Для достижения этой цели были поставлены следующие задачи:

- 1. Провести теоретический и экспериментальный анализ процесса дефосфорации стали при выплавке в дуговой печи полупродукта с использованием в металлошихте лома и металлизованного сырья, содержащего до 0,061 %Р фосфора.
- 2. Установить влияние основных технологических параметров на процесс дефосфорации металлического расплава при использовании в качестве металлошихты металлизованного сырья с повышенным содержанием фосфора и увеличенным расходом углеродсодержащих материалов.
- 3. Исследовать влияние вида и доли металлизованного сырья в шихте дуговой сталеплавильной печи на полноту удаления фосфора.
- 4. Изучить влияние массы непрерывно загружаемого металлизованного сырья на особенности протекания процесса дефосфорации.

Теоретической основой для данной работы послужили труды в области исследований сталеплавильных процессов. В частности, публикации таких авторов, как Кожеуров В.А, Григорян В. А., Стомахин А. Я., Сёмин А. Е., Трахимович В. И., Шалимов А. Г., Туркдоган Е.Т., Гудим Ю. А.

Научная новизна:

- 1. Показано, что процесс дефосфорации в ходе плавки металлизованного сырья включает две реакции: окисления фосфора и рефосфорации. Реакция окисления фосфора оксидами железа является ведущей, обеспечивающей дефосфорацию. Реакция рефосфорации-восстановление оксидов фосфора углеродом протекает при непрерывной подаче углеродсодержащих материалов на шлак и определяет полноту удаления фосфора из металла. Рефосфорация получает развитие при избыточном количестве углерода, поступающем с углеродосодержащими материалами.
- 2. Получена количественная зависимость, отражающая влияние массы непрерывно загружаемого металлизованного углеродсодержащего сырья на коэффициент распределения фосфора. С ростом массы сырья от 0 до 100 тонн коэффициент распределения снижается от 40 до 15, что связано с уменьшением концентрации кислорода в объёме металла с 0,10 % при плавке лома до 0,06 % при подаче углеродсодержащих материалов на поверхность шлака.
- 3. Показано что, при плавке высокофосфористого металлизованного сырья (в отличие от плавки лома) реакция окисления фосфора оксидом железа, содержащимся в шлаке, не достигает равновесия. Степень достижения равновесия составляет 0,1-0,4; при плавке лома она близка к единице.

- 4. Установлена количественная зависимость процесса дефосфорации от основных технологических параметров при использовании в качестве металлошихты металлизованного сырья с повышенным содержанием фосфора и увеличенным расходом углеродсодержащих материалов. Показано, что для эффективной дефосфорации содержание оксидов железа в шлаке должно составлять 25–30 %; основность шлака 2,5–3,0; температуру поддерживать не выше 1635 °C.
- 5. Установлено, что при непрерывной загрузке металлизованного сырья с повышенным содержанием фосфора (0,061%) использование в шихте окатышей более эффективно, чем применение горячебрикетированного железа, и обеспечивает в полтора два раза более низкую концентрацию фосфора в полупродукте. Это можно объяснить тем, что при замене ГБЖ на окатыши коэффициент активности оксида железа в шлаке повышается с 1,5 до 2,6, что приводит к росту активности оксидов железа с 0,5 до 0,75.

Практическая значимость результатов работы:

- 1. Определены оптимальные термодинамические и технологические параметры процесса осуществления удаления фосфора из металла с использованием высокофосфористого металлизованного сырья в ДСП.
- 2. Сформулированы рекомендации по усовершенствованию технологии плавки стали в высокомощной дуговой печи ДСП-220 с использованием металлизованного сырья с повышенным содержанием фосфора. Применение новой технология обеспечит снижение содержания фосфора в полупродукте в 1,5 раза, уменьшение расхода электроэнергии на 34 кВт·ч/т, времени под током на 10 мин и повышение выхода годного на 4 %.
- 3. По результатам работы предложено заменить дорогое низкофосфористое ГБЖ (0,012 % P) на более дешевое высокофосфористое (0,061 % P).
- 4. Работа выполнена по согласованию с металлургическим заводом EZZ Flat Steel, Египет. Её результаты будут переданы для использования на заводе. Соответствующие письма заместителя Генерального менеджера завода по техническим вопросам доктора Гамаля Мегахеда прилагаются.

Апробация результатов работы. Выступление на 24-й Международной конференции по металлургии и материалам «Поведение фосфора в дуговой сталеплавильной печи с использованием в шихте высокофосфористого металлизованного сырья» (г. Брно, Чешская Республика, июнь, 2015г.).

Выступление на научно-практической конференции с международным участием и элементами школы молодых ученых «Перспективы развития металлургии и машиностроения с использованием завершенных фундаментальных исследований и НИОКР». Екатеринбург: Уральский рабочий, 3 - 5 июня, 2015г.

На защиту выносится:

- 1. Схема удаления фосфора при плавке высокофосфористых и низкофосфористых окатышей и ГБЖ и её термодинамическое обоснование.
- 2. Теоретическое и экспериментальное обоснование оптимальных условий процесса дефосфорации при плавке стали в ДСП с использованием различной доли металлизованного сырья.
- 3. Экспериментальные данные о влиянии лома и металлизованного сырья в шихте на процесс дефосфорации стали в ДСП.
- 4. Влияние вида металлизованного сырья (окатыши или горячебрикетированное железо) в шихте на процесс дефосфорации и технологию плавки стали в ДСП.
- 5. Усовершенствованная технология плавки металлизованного сырья с повышенным содержанием фосфора (0,061 % P) в дуговой печи ДСП-220. Замена низкофосфористого горячебрикетированного железа в шихте (0,012 %) на высокофосфористое (0,061 %).

Личный вклад автора: непосредственное участие автора в получении исходных экспериментальных данных, теоретический анализ процесса дефосфорации, подготовка основных публикаций по работе.

Достоверность результатов: подтверждается достаточно большим массивом экспериментальных данных, позволяющим сделать обоснованные выводы, и применением современных методов химического анализа. Состав шлака определяли с помощью рентгеновского флуоресцентного анализа на приборе XRF Bruker S4 фирмы Bruker AXS Inc. США. Состав металла определяли с использованием эмиссионного спектрометра Spectrolab M9. Концентрацию кислорода измеряли с использованием метода ЭДС - датчики фирмы Sider Electronic Industries Limited. Температуру металла измеряли термопарой BP 5/20, датчики температуры изготовлены фирмой Sider Electronic Industries Limited, Гонконг. Текст диссертации и автореферат проверен на отсутствие плагиата с помощью программы «Антиплагиат» (http://antiplagiat.ru).

Структура диссертационной работы. Работа состоит из введения, 5 глав, заключения, списка литературы из 90 наименований. Диссертация изложена на 134 страницах машинописного текста, содержит 24 таблицы, 77 рисунков и три приложения.

Список публикаций автора по теме диссертации

1. Хассан А.И., Котельников Г. И., Семин А. Е., Мегахед Г. М. Анализ процесса дефосфорации при выплавке стали из металлизованного сырья с повышенным содержанием фосфора // Черные металлы. - 2015. №1.- С.- 12-18.

- 2. Хассан А.И., Котельников Г. И., Семин А. Е., Мегахед Г. М. Анализ технологии выплавки стали с использованием в шихте металлизованных окатышей и НВІ железа с повышенным содержанием фосфора // Черные металлы. 2015.- №5.- С.- 64-69.
- 3. Hassan A.I, Kotelnikov G. I, Semin A. E, Megahed G. M. Phosphorous Behavior in Electric Arc Furnace Steelmaking with the Melting of High Phosphorous Content Direct Reduced Iron // 24th International Conference on Metallurgy and Materials. Hotel Voronez I, Brno, Czech Republic, EU, 3-5 June 2015., P.40
- 4. Технология плавки стали в ДСП с использованием металлизованного сырья с повышенным содержанием фосфора // А. И. Хассан, Г. И. Котельников, А. Е. Сёмин, Г. Мегахед // Труды научно-практической конференции с международным участием и элементами школы молодых ученых «Перспективы развития металлургии и машиностроения с использованием завершенных фундаментальных исследований и НИОКР». Екатеринбург: Уральский рабочий, 2015. 624с.

1 АНАЛИТИЧЕСКИЙ ОБЗОР ЛИТЕРАТУРЫ

1.1 Металлизованное сырьё для плавки стали в ДСП

В современных электродуговых печах лом частично заменяют альтернативными шихтовыми материалами. Чаще всего, это металлизованные окатыши (МОК) и горячебрикетированное железо (ГБЖ). Выплавка стали с использованием металлизованных материалов в дуговых печах получила распространение в связи с необходимостью повышения качества стали.

Данные о качестве стали [1-5] показывают, что при замене в шихте стального лома металлизованными материалами повышается пластичность и ударная вязкость стали, понижается температура хрупко-вязкого перехода, возрастает надежность и долговечность готовых изделий, что связывают с уменьшением содержания серы, фосфора, примесей цветных металлов, газов и неметаллических включений.

Фосфор, содержащийся в стали, упрочняет её и повышает сопротивление атмосферной коррозии. Однако, чаще всего, он оказывает отрицательное влияние на качество стали. Фосфор имеет высокую степень ликвации (до 300 %), вызывает зернограничную хрупкость, снижает ударную вязкость, вызывает хладноломкость стали [6]. В связи с этим требования по содержанию фосфора в качественных сталях постоянно повышаются. Одно время считалось, что качественные стали должны содержать не более 0,03 % фосфора [7]. В настоящее время считают, что фосфор оказывает отрицательное влияние при содержании более 0,005% [8].

Продукты прямого восстановления содержат малые концентрации меди, никеля, азота, серы и т.д., в то же время в них может содержаться фосфор, причем в значительном количестве [9, 10].

В ряде случаев содержание фосфора в металлизованных окатышах небольшое - около 0,011% [10,11], и удается получить низкую концентрацию фосфора в стали. Это характерно, например, для Оскольского электрометаллургического комбината (ОЭМК), где доля окатышей в шихте составляет 70 – 80 %. В то же время, в зависимости от состава концентрата, используемого для производства железа прямого восстановления, металлизованные окатыши и ГБЖ могут содержать в два – пять раз больше фосфора, чем лом: от 0,01 до 0,15 % в сравнении с 0,015 – 0,040 % фосфора в ломе [5, 9, 12 – 15]. Это порождает определенные трудности при выплавке стали- наблюдается повышенный расход извести, электроэнергии, понижение выхода годного и повышение длительности плавки [16, 17]. При использовании металлизованного сырья с низким содержанием фосфора также наблюдается нестабильность в степени удаления фосфора, что также может приводить к дополнительному расходу извести и электроэнергии, а

также затягивает плавку [18]. Эти проблемы технологии производства стали с использованием металлизованного сырья можно решить на основе тщательного анализа основных положений технологии, начиная от сырых материалов и заканчивая выпуском металла из печи.

Технология производства МОК и ГБЖ

Металлизованные материалы получают в ходе твердофазных процессов, где удаление кислорода из оксидов железа происходит за счет твердого или газообразного восстановителя при температурах ниже температуры размягчения компонентов шихты, составляющей примерно 1000 °C.

Из большого числа промышленных способов прямого восстановления железа наиболее распространены следующие: в шахтных печах – Midrex, HYL III; в периодически действующих ретортах – HYL I, в трубчатых печах [19].

В шахтных печах восстановление происходит за счет водорода и окиси углерода при температуре 800 – 900 °C. Необходимые затраты тепла на нагрев шихты и восстановление покрываются за счет тепла восстановительного газа, нагреваемого до 1000 – 1010 °C. Восстановительный газ для шахтных печей получают конверсией газообразных углеводородов. Наибольшее распространение получила конверсия природного газа углекислотой и водяными парами колошникового газа в присутствии катализатора [19, 20, 31].

В периодически действующих ретортах с неподвижным слоем восстановление ведут при температуре 870 – 1050 °C и давлении 392 кПа. Нагрев шихты осуществляется за счет физического тепла восстановительного газа, поступающего в реторту нагретым до 1000 °C. Получаемый продукт охлаждают природным газом. Неподвижность шихты в данном способе ограничивает высоту ее слоя и степень использования газа, а также обусловливает цикличность процесса.

В трубчатых печах в качестве восстановителя, частично служащего топливом, применяется твердый углерод (коксовая мелочь, бурый уголь, полукокс, антрацит). Отопление печи осуществляется за счет сжигания жидкого или газообразного топлива. Из-за опасности настылеобразования, обусловленного размягчением шихтовых материалов, температуру печи ограничивают 1000 – 1100 °C.

Из указанных способов прямого получения железа наибольшее распространение получил процесс Midrex, занимающий первое место по суммарной мощности установок, объему производимой продукции и характеризующийся относительно низким расходом энергии. Несколько уступает ему по объему производства и расходу газа процесс HYL I. В целом в шахтных печах и ретортах производится более 90 % губчатого железа, используемого преимущественно в сталеплавильном производстве [1].

Горячебрикетированное железо проходит финальную стадию, на которой горячие металлизованные окатыши при $700 - 800^{\circ}$ С спрессовывают для повышения плотности от 3,0 до 5,0 г/см³ [20].

В России металлизованные окатыши производят на ряде заводов, однако наибольшее количество производится на ОЭМК в шахтных печах. Исходным сырьем для получения металлизованных окатышей ОЭМК служит железорудный концентрат Лебединского ГОКа. Химический состав металлизованных окатышей: $Fe_{oбщ} = 90,7$ %; $Fe_{mer} = 86,0$ %; C = 1,83 %; P = 0,011 %; $S \le 0,004$ %; $SiO_2 = 3,7$ %; $Al_2O_3 = 0,28$ %; CaO = 1,6 %; MgO = 0,26 %. Содержание примесей цветных металлов в окатышах не превышает тысячных долей процента каждого [21, 90]. Отметим, что в России получают, пожалуй, наиболее чистые по фосфору окатыши. Для сравнения приведем состав металлизованных окатышей, производимых в Индии (27,8% от мирового производства железа прямого восстановления).

В нормативно-технической документации Индии [22] губчатое железо (окатыши и ГБЖ) разделено на три класса в зависимости от содержания железа общего и металлического, содержания примесей и пустой породы (таблица 1.1).

Таблица 1.1 – Требования к химическому составу (%) губчатого железа в Индии [22]

Сорт	Железо	Железо	SiO ₂ + Al ₂ O ₃ не более	SiO ₂ не более	S не более	Р не более	Сумма Pb, Zn, Cu, Sn, Cr, Ni, As не более
1	>91	> 82	5	4	0,02	0,06	0,015
2	89- 91	78- 82	6	4	0,03	0,07	0,015
3	85- 91	76-78	8	6	0,03	0,10	0,015

Из таблицы 1.1 видно, что содержание фосфора в губчатом железе, используемом в Индии может достигать 0,1 %. Отметим, что губчатое железо в Индии производят в трубчатых печах, используя уголь и кокс в качестве восстановителей [23, 24].

Примерный средний фактический химический состав получаемых в Индии ГБЖ приведен в работе [5]: Fe $_{\rm oбщ}$. -94,1%, Fe $_{\rm мет}$. -88,0%, C -0,20%, P -0,085%, S -0,015%, пустая порода 3,0 - 5,4%, Cu, Ni, Cr, Mo, Sn - следы. Видно, что концентрация углерода здесь довольно низкая -0,2%. Часть железа может находиться в остаточных невосстановленных оксидах FeO = (% Fe $_{\rm oбщ}$. -% Fe $_{\rm мет}$) / 0,78 [25].

Отметим, что приведенная выше концентрация углерода в железе прямого восстановления (0,2 %) не является типичной. Обычно содержание FeO, которое в окатышах осталось невосстановленным, составляет порядка 10 % поэтому, чтобы в ходе плавки восстановить железо из оксидов, необходимо около 1,5 % углерода [25]. Кислород, представленный в окатышах в форме FeO, реагирует с углеродом в жидкой ванне с

образованием оксида углерода, что улучшает перенос тепла, контакт между металлом и шлаком и гомогенизирует ванну. Ясно, что в окатышах, полученных с использованием угля, где содержание углерода всего 0.2 %, будет наблюдаться недостаток углерода, который нужно будет компенсировать присадкой кокса. Поэтому в ряде случаев сталеплавильщики предпочитают окатыши, произведенные с помощью восстановительного газа: в них содержание углерода составляет 1.0 - 2.5 % [26, 27]. Отметим, что указанные закономерности о соотношении кислорода в форме оксидов железа и углерода относятся не только к получению металлизованного сырья в трубчатых печах, но и к любому другому процессу (Midrex, HyL и др.).

Таким образом, углерод является важным элементом в составе окатышей. Эквивалентное содержание углерода — это разница между концентрацией углерода в МОК и FeO. Если углеродом, необходимым ДЛЯ восстановления углеродный эквивалент отрицательный, необходима добавка углерода в ванну в процессе плавки, чтобы восстановить FeO в окатышах. Если углеродный эквивалент положительный, то нужно продуть ванну кислородом, чтобы удалить излишек углерода из металлической ванны [28]. Необходимое при этом дополнительное использование кислорода снижает расход электроэнергии и увеличивает выделение СО, что улучшает процесс вспенивания шлака и повышает стабильность горения дуги [29 - 31].

Однако, кроме этого положительного влияния на технологию, углерод способен частично восстановить оксиды фосфора, содержащиеся в шлаке [32]. Поэтому вопрос о рациональной концентрации углерода в металлической ванне при плавке металлизованных окатышей с различным содержанием фосфора, требует дополнительных исследований.

В таблице 1.2 представлены химические составы типичных альтернативных источников железа, полученного разными способами [33].

Таблица 1.2 - Химический состав некоторых альтернативных источников железа [33]

%	Мидрекс, МОК	ХиЛ, ГБЖ	Карбид железа	Чугун
Fe общ.	90 – 94	91 – 93	87	91,0 – 95,7
Fe мет.	83 – 89	83 - 88	2,5	91,0 – 95,7
Fe ₃ C			69,8	
FeO/Fe ₃ O ₄	6 – 14	6 – 13	20,2	
% металлизации	88 – 96	92 – 95		100
C	1 - 2,5	1,2-2,2		3,5 – 4,5
Si			1,5	0,3-3,0
Mn				0,4-1,0
P	0.02 - 0.09	0,02-0,05	0,033	0,08 - 0,5
S	0,005 - 0,03	0,002 - 0,02	<0,01	Макс. 0,04
CaO	1,5	0,3-1,8		
MgO	0,45	0,5-1,8		
Кремнезем SiO ₂	1,5-2,5	1,5-2,5		
Глинозем Al ₂ O ₃	0,4-1,5	0,4-1,5	1,0	

В таблице 1.3 представлено сравнение состава железа прямого восстановления произведенного компаниями (указаны в скобках) в различных странах мира с использованием процессов Мидрекс, Хил и Фиор.

Таблица 1.3 - Сравнение состава (%) железа прямого восстановления в различных странах [33]

Страна	Нигерия,	Россия,	Тринид-	Малай-	Венесу-	Индонез-	Мек-	Венес-
процесс	Мидрекс	Мидрекс	ад,	зия,	эла,	ия, ХиЛ	сика,	уэла,
Компан-ия	(Delta)	(ОЭМК)	Мидрекс	Мидрекс	Мидрекс	(Krakatau)	ХиЛ	ФИОР
			(Ispat)	(Sabah)	(Opco)		(Hylsa)	(Fior)
Fe общ.	89,50	90,90	91,00	94,32	94,10	88,87	87,87	91,00
Fe мет.	85,74	85,47	83,72	88,36	88,00	78,68	79,04	82,81
%металл	95,80	94,03	92,00	93,68	93,52	88,53	89,95	91,00
С	1,29	1,87	1,2	1,01	0,2-2.0	2,24	1,7	1,5
P	0,05	0,011	0,05	0,03	0,085	0,03	0,05	0,09
SiO2	3,84	4,32	2,08	1,1	1,58	1,3	2,04	2,77
Al_2O_3	0,63	0,47	1,93	0,62	0,81	0,51	1,07	1,2
CaO	2,51	0,38	0,95	0,65	0,81	1,95	2,67	0,04
MgO	0,06	0,27	0,41	0,33	0,53	1,16	0,4	0,84
FeO	4,9	7,07	9,48	7,77	7,94	13,28	11,51	10,67
Кислые	4,5	4,8	4	1,7	2,4	1,8	3,1	4
Основные	2,6	0,7	1,4	1	1,3	3,1	3,1	0,9
Электроэ-								
нергия в ДСП кВт·ч/т	644	680	679	590	603	676	690	694

Из таблиц 1.2 и 1.3 видно, что в большинстве случаев концентрация углерода в железе прямого восстановления и других источниках железа достаточно высока. Кроме того, вне зависимости от используемого процесса, содержание фосфора может быть достаточно высоким и достигать 0,1 %. Эта ситуация характерна для многих стран мира (таблицы 1.3, 1.4). Ясно, что данное обстоятельство требует рациональных решений по технологии плавки стали с использованием в шихте железа прямого восстановления с высоким и низким содержанием фосфора. С учетом того, что чистое губчатое железо стоит примерно на 50 \$ дороже, чем сырье среднего качества (таблица 1.5), поиск оптимальных технологических решений представляется экономически целесообразным.

В общем плане оптимизация технологии выплавки стали с использованием высокофосфористого металлизованного железа тем более актуальна, так как объём производимого в мире первородного сырья постоянно растёт (рисунок 1.1). Темп роста объёма производства металлизованных окатышей с 1990г. По 2010г. Составляет 14 % в год. Это существенно выше, нежели темп роста производства стали 4,3 % в год за тот же период (рисунок 1.2).

Таблица 1.4 – Объем производимого в мире железа прямого восстановления и содержание в

нем фосфора (2014 год) [22, 33 - 37]

Страна	Млн.	Доля от	Содержание	Литература
-	тонн/год	мирового	фосфора, %	
		производства %		
Индия	20,37	27,8	0,02 - 0,10	[22,34,35,36]
Иран	14,55	19,9	-	[35]
Мексика	5,98	8,17	0,05	[33,35]
Саудовская	5,51	7,53	-	[35]
Аравия				
Россия	5,35	7,31	0,005-0,01	[33,35]
Египет	2,88	3,93	0,012 - 0,1	[35]
Венесуэла	1,4	1,91	0,06 - 0,1	[22, 14, 37,35]
Другие страны	17,17	23,45		[35]
Итого в мире	73,21		0,005-0,1	[35]

Таблица 1.5 – Уровень цен на металлизованное сырье разного качества (2013 год) [38, 81]

Сырье	Fе _{общ} , %	Fe _{mer} , %	Содержание фосфора, %	Цена, \$/т
Высокое качество	93 – 94	85	0,03	394
Среднее качество	86 – 91	80	0,10	345

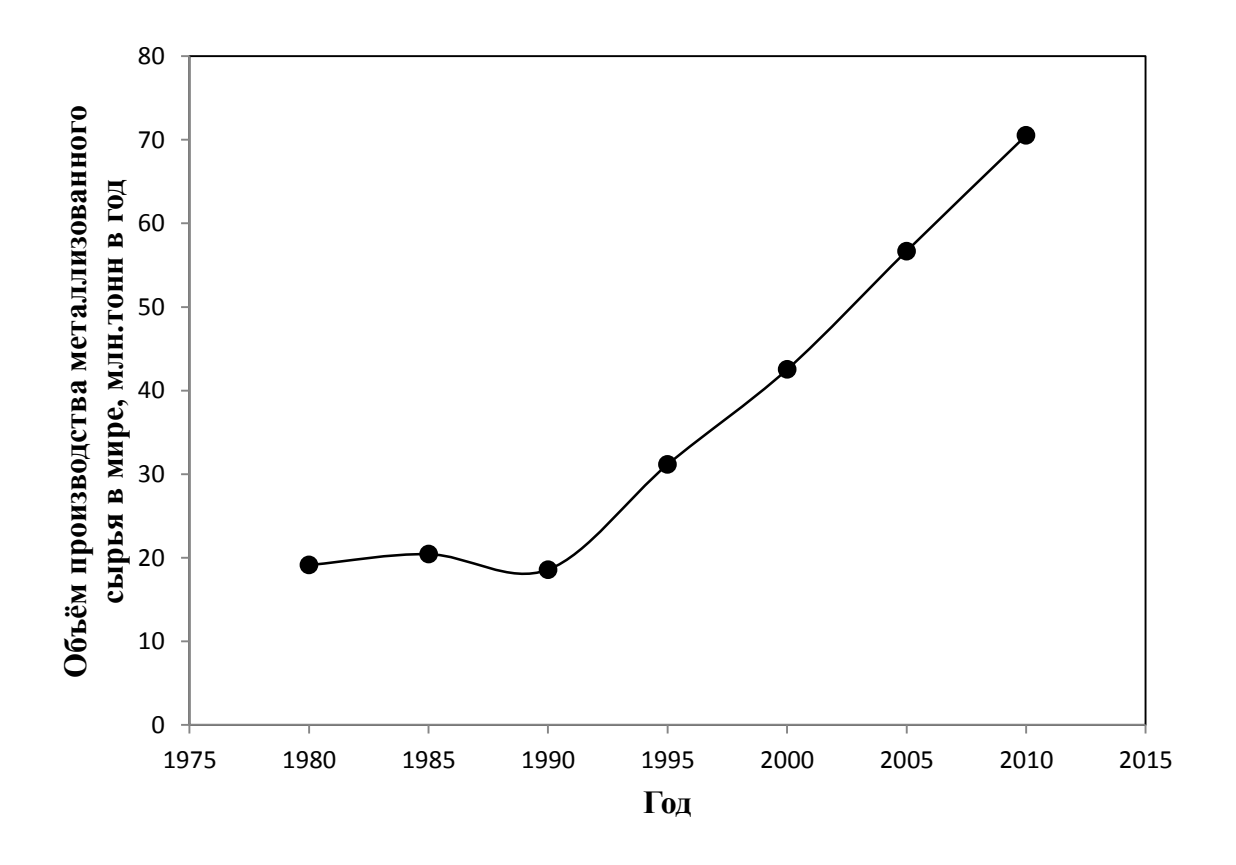


Рисунок 1.1- Объём производства металлизованного сырья в мире [35,39,40]

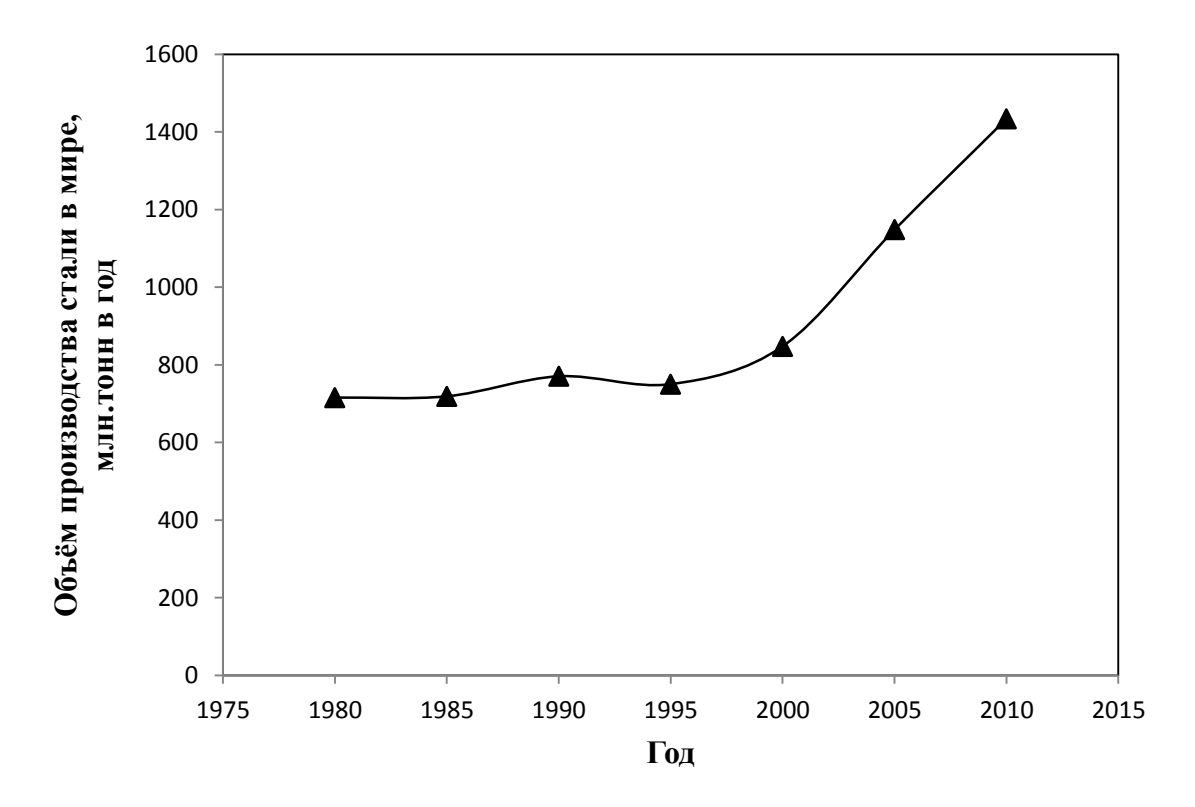


Рисунок 1.2 – Объём производства стали в мире [35, 39, 40]

Из опыта выплавки стали с использованием ломом в шихте анализа процесса дефосфорации следует [41], что получили условиями для дефосфорации является содержание оксида железа в интервале 15 - 20% FeO, и основность шлака при этом, должна составлять 2,5 - 3,0 [41 – 43], что отражено на рисунке 1.3.

Температура должна быть минимально возможной, но чтобы шлак был жидкоподвижным [8]. Рекомендации по оптимальному режиму при плавке низкофосфористых металлизованных окатышей следующие [11]: содержание оксидов железа в шлаке 10-25%, основность 1,8 — 2,0. В то же время для плавки металлизованного сырья с высоким содержанием фосфора условия для проведения оптимальной дефосфорации не определённое. Оценка оптимальной окисленности и основности шлака, а также температуры при проведении процесса дефосфорации в ходе плавки стали с использованием металлизованного сырья (окатышей и ГБЖ) с повышенным содержанием фосфора является задачей настоящей работы.

Первым вопросом, который возникает при анализе имеющихся и разработке новых технологических решений по рафинированию металла от фосфора в ходе плавки высокофосфористого металлизованного сырья является вопрос о форме присутствия фосфора в окатышах и ГБЖ. В результате прямых экспериментов [16, 44] было показано, что при восстановлении окисленных окатышей восстанавливается только железо, а фосфор остается в оксидной форме так же, как и другие компоненты пустой породы (SiO₂, Al₂O₃, CaO, MgO).

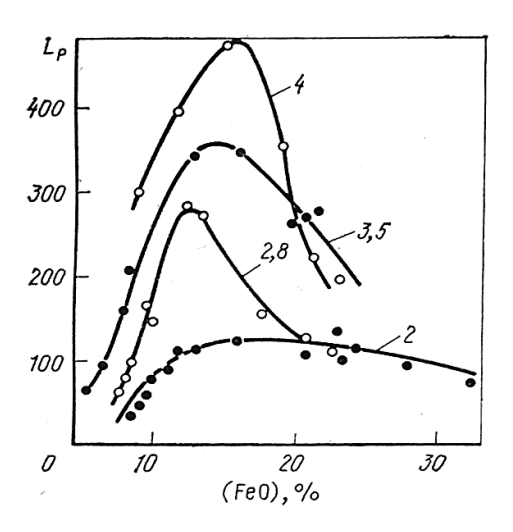


Рисунок 1.3 — Зависимость коэффициента распределения фосфора $L=(PO_{2.5})$ / [P] от содержания FeO в шлаке и основности $B=(CaO)/(SiO_2)$ (цифры на кривых) [41]

Было показано также, что оксиды фосфора в окатышах и ГБЖ в определенной степени связаны в фосфаты кальция. В связи с этим возникло представление о том, что при плавке металлизованного сырья фосфор удалить легче, чем при плавке стали на шихте из лома [25,44,75], так как фосфор уже окислен и находится в виде (P_2O_5). Если же плавят лом, то для удаления фосфора из жидкой ванны нужно сначала окислить фосфор, перевести его в высокоосновный шлак в форме $CaO \cdot P_2O_5$ и только затем удалить вместе со шлаком.

По нашему мнению, приведённое утверждение о «лёгкости» удаления фосфора при плавке металлизованного сырья нуждается в проверке и дополнительном изучении, так как пустая порода в окатышах и ГБЖ является кислой и фосфор при нагреве и плавлении окатыша может восстановиться из шлака и перейти в каплю металла.

Действительно, содержание пустой породы в губчатом железе (таблицы 1.1, 1.2) составляет 3-8 %, и в ней высока концентрация кислых оксидов (SiO_2 , Al_2O_3). Поэтому при плавке стали с использованием окатышей в шихте необходимы дополнительные добавки извести, чтобы компенсировать состав кислой пустой породы, так как сталеплавильный шлак должен быть основным [25,16,44].

Из приведённых данных по химическому составу окатышей и ГБЖ таблицы 1.2, 1.3 видно, что они действительно близки. Возможно, именно из-за этой близости составов в литературе отсутствуют сравнительные исследования влияния окатышей и ГБЖ в шихте на поведение фосфора в ходе плавки стали в ДСП.

Размер металлизованных окатышей, используемых при выплавке стали, лежит обычно в интервале 3 – 20 мм. Нижний предел ограничивается из соображений уменьшения выноса пыли при непрерывной загрузке, а также повышенного окисления при плавлении. Максимальный

размер окатышей определяется, исходя из допустимой крупности исходного сырья для агрегатов прямого восстановления. Фактические размеры: до 4 мм - не более 5 %; от 4 до 20 мм - 90 %; более 20 мм - не более 5 % [22]. Горячебрикетированное железо имеет форму вытянутых подушечек с длиной 90 - 130 мм, шириной 80-100 мм, толщиной 20 - 50 мм. ГБЖ более безопасны по сравнению с окатышами, так как окатыши склонны выскальзывать из корзин при порционной загрузке. Насыпная плотность брикетов (2,5 - 2,8 т/м³) в два раза больше, чем у лома (0,8 - 1,5). При загрузке в корзину брикеты ложатся плотно вместе с ломом, увеличивая общую насыпную плотность завалки. Плотность брикетов составляет примерно 5 г/см³, так что в шлаке они легко тонут, но всплывают в жидкой стали [25]. Схематично это показано на рисунке 1.4. Из рисунка видно, что ГБЖ находится на границе металл-шлак, а окатыши могут плавать в шлаке при условии, что шлака не вспенен.

Из сравнения химического состава и плотности металлизованных окатышей и горячебрикетированного железа вытекает, что наиболее сильно эти виды сырья различаются по плотности, и это обстоятельство необходимо учесть при исследовании и совершенствовании технологии плавки стали с использованием губчатого железа в шихте, и в первую очередь необходимо исследовать влияние МОК и ГБЖ на поведение фосфора. В изученной литературе подобного сравнительного анализа не обнаружено.



Рисунок 1.4 – Схема расположения МОК и ГБЖ в системе металл-шлак [25]

Для отдельных окатышей и кусков губчатого железа коэффициент теплопроводности равен 2,3-9,3 Вт/(м·К), для слоя 0,35-1,05 Вт/(м·К). Теплопроводность компактного железа составляет 29-70 Вт/(м·К), а легковесной шихты (лист, проволока, стружка) 0,87-2,3 Вт/(м·К), т.е. последняя имеет один порядок с шихтой из губчатого железа. Низкая теплопроводность в сочетании с большой удельной поверхностью и химической активностью восстановленного железа определяют его повышенную склонность к окислению. Температура начала интенсивного окисления в зависимости от способа и температуры восстановления

находится в пределах 170 – 300 °C. При указанных температурах поступление тепла от окисления превышает скорость отвода его теплопроводностью [13].

Указанные сведения о теплопроводности также необходимо учесть при определении рациональной доли ГБЖ и металлизованных окатышей в шихте ДСП и анализе технологии выплавки стали с использованием металлизованного сырья.

1.2 Технология выплавки стали с использованием металлизованного сырья

Наибольшее распространение получила выплавка стали одношлаковым процессом с непрерывной загрузкой металлизованных окатышей в дуговую печь и проплавлением их без скапливания на поверхности ванны, хотя находит применение и плавка с порционной загрузкой корзинами. Второй метод не требует переделок печи и дополнительных механизмов для подачи окатышей, однако, в этом случае их доля в шихте ограничена и, кроме того, требуется принятие специальных мер, предотвращающих спекание шихты и образование мостов [1]. При сравнении этих методов основное внимание обычно уделяется непосредственно процессу плавки металлизованного сырья. В то же время поведение фосфора исследователями не ставилось в зависимость от способа загрузки сырья (непрерывно либо дискретно). Однако при этом утверждалось, что при непрерывной подаче обеспечивается более полная дефосфорация в связи с тем, что фосфор в металлизованных окатышах представлен в невосстановленной форме, то есть не в форме фосфидов, а в виде фосфатов [16, 17, 42, 44, 45]. Причём, в основном, это фосфаты кальция 3СаО·Р₂О₅. Это обстоятельство позволило авторам [41, 44] предположить, что при плавке металлизованных окатышей результаты дефосфорации могут быть весьма благоприятными, если затормозить восстановление фосфора из шлака. По этой гипотезе фосфор должен переходить в шлак непосредственно в форме фосфата кальция при плавлении окатышей. То есть согласно этой схеме процесс удаления фосфора может быть равновесным и даже сверхравновесным, если удастся расплавить окатыш, а содержащийся в нём фосфат 3CaO·P₂O₅ быстро перевести в шлак и удалить из печи вместе со шлаком. Ясно, что в соответствии с этой схемой затормозить восстановление фосфора из фосфатов и в то же время обеспечить расплавление окатышей можно при их непрерывной загрузке в печь и постоянном удалении шлака из печи.

Такой механизм представляется спорным, так как в процессе нагрева и плавления отдельных окатышей, особенно мелких, нельзя не учитывать возможного восстановления оксидов фосфора углеродом, содержащимся в окатышах. При этом фосфор может переходить в образующуюся каплю металла и вместе с ней попадать в металлическую ванну. Далее процесс

дефосфорации будет протекать по обычной схеме, характерной для плавки лома: фосфор окисляется и его оксиды переходят в шлак.

Таким образом, особенностью плавки окатышей и ГБЖ с избыточным содержанием углерода (порядка 1,5 %) может быть наличие процесса восстановления оксидов фосфора углеродом, растворенным в металлической ванне, находящимся в составе губчатого железа а также присаживаемым с коксом и порошкообразным углеродом. Этот процесс можно рассматривать как процесс рефосфорации. В литературе [25, 32] процесс рефосфорации рассматривают, однако, его причиной обычно считается повышение температуры, понижение основности шлака в результате растворения кислой футеровки, либо попадание в печь кислых шлакообразующих материалов и пустой породы окатышей. Влияние концентрации углерода на процесс рефосфорации практически не рассматривается, по крайней мере, в плане количественных оценок. В связи с этим одной из важных задач данной работы должно быть исследование степени развития процесса рефосфорации, обусловленного восстановлением оксидов фосфора растворенным в металле углеродом, а также углеродом кокса и порошкообразного графита (угля), присаживаемого на поверхность шлака для его вспенивания.

Влияние способа загрузки металлизованного сырья на развитие процессов рефосфорации (порционная и непрерывная) за счет углерода, присаживаемого в печь с окатышами и вносимого коксом, также не исследовано и в изученной литературе не представлено. В связи с этим в данной работе целесообразно изучить особенности процесса удаления фосфора с учетом рефосфорации при порционной и непрерывной загрузке губчатого железа.

При порционной загрузке окатышей, произведенных в трубчатых печах угольным способом, оптимальным считается содержание их в завалке в пределах 10 - 20 % [46]. Окатыши, произведенные по технологии Midrex и HyL III, добавляют в завалку в количестве 20 - 30 % [46 - 48]. Это предполагает, что к концу периода плавления должна образовываться однородная металлическая ванна, и влияние металлизованного сырья через рефосфорацию должно быть минимальным. Однако вопрос рефосфорации в литературе [8, 12, 17, 44, 46 - 48] не рассматривается. Очевидно, это связано с малым количеством добавляемых окатышей и ГБЖ. Хотя можно предположить, что если ГБЖ подают в последней корзине, то брикеты, которые плавятся хуже, чем лом, могут всплыть на границу «металл – шлак», раскислить ее и восстановить из шлака ранее окисленный фосфор. В связи с тем, что распределение ГБЖ в корзинах обычно трудно контролировать, заботятся больше о том, чтобы брикеты и окатыши не выпадали из бадьи и обеспечивали повышение насыпной плотности завалки. Можно предположить, что от плавки к плавке расположение ГБЖ в шихте и соответственно плавление ГБЖ не воспроизводится и соответственно поведение фосфора будет загружаемых нестабильным. Проверка этого предположения представляет интерес и может быть проведена в

данной работе. Отметим, что нестабильность дефосфорации может приводить к заметному ухудшению показателей периода плавления и плавки в целом по сравнению с плавкой только на ломе, и это также необходимо исследовать.

Особенности технологии непрерывной загрузки металлизованных окатышей в дуговую печью вместимостью 70 тонн исследованы в работе [49]. Долю металлизованного сырья варьировали от 52 до 95 %. При этом использовали сырьё с низким содержанием фосфора (0,011 % Р). Установлено, что с увеличением содержания губчатого железа в шихте содержание фосфора в готовом металле существенно снижается и не превышает 0,01 % (рисунок 1.5). Но даже при этом расход электроэнергии, извести, массы шлака на тонну стали с увеличением доли окатышей в шихте растёт, а выход годного снижается с (93 %) до (90 %). Ясно, что при использовании металлизованных окатышей с повышенным содержанием фосфора при условии получения низкой концентрации фосфора в стали расход извести должен возрасти ещё больше и одновременно должен увеличиться расход электрической энергии и снизиться выход годного жидкого металла. Эти изменения должны быть более значительными, чем те, что наблюдали в работе [14]. Отметим, что в [49] и других работах [5, 34, 50, 76, 77] исследуют влияние только металлизованных окатышей [34, 50] или только ГБЖ [5], но нет сравнения окатышей и горячебрикетированного железа в плане их влияния на ход плавки, в частности, на процесс дефосфорации. Цель данной работы состоит в том, чтобы восполнить этот пробел и выполнить сравнительное исследование влияния на процесс дефосфорации и технико-экономические показатели плавки отдельно окатышей и отдельно ГБЖ при условии их непрерывной и дискретной (корзинами) подачи в печь.

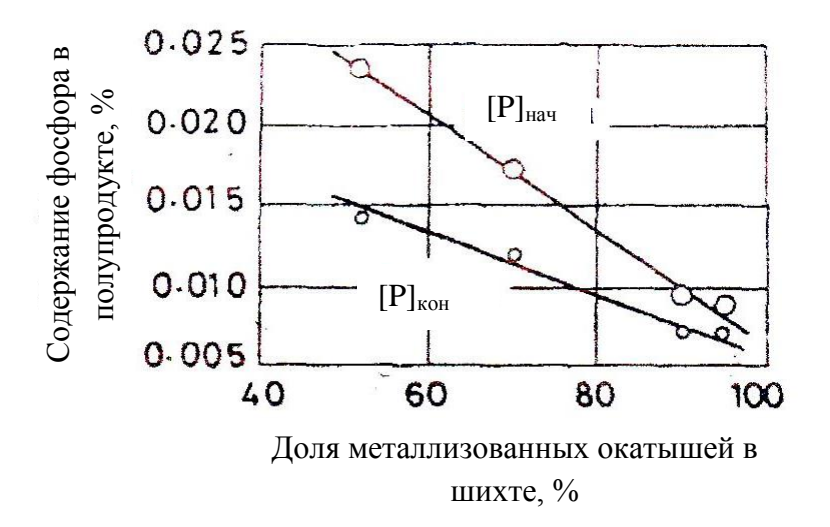


Рисунок 1.5 — Влияние доли металлизованных окатышей в шихте на содержание фосфора шихте $[P]_{\text{нач}}$ и в полупродукте $[P]_{\text{кон}}$,% [49]

Предыдущими исследованиями [44,48] было установлено, что оптимальная доля металлизованных окатышей в шихте при их непрерывной загрузке в печь может колебаться в широких пределах (30 – 65 %) и в каждом конкретном случае определяется существующими условиями производства [44, 48]. В то же время исследование влияния доли непрерывно загружаемого губчатого железа с повышенным содержанием фосфора (окатышей или ГБЖ) на дефосфорацию ванны в современных высокомощных ДСП и изменение технико-экономических показателей плавки не проводилось.

Многочисленными исследованиями было показано, что металлизованные окатыши (при их содержании более 30 % в шихте) целесообразно присаживать непрерывно на поверхность жидкого металла. Сведения о том, каким образом целесообразнее вводить в печь ГБЖ, чтобы обеспечить минимальные время плавления и расход электроэнергии в литературе представлены фрагментарно [48, 51, 52, 84], нет информации о полноте процесса дефосфорации при непрерывной загрузке ГБЖ и металлизованных окатышей. Как уже отмечалось проблема изучения поведения фосфора осложняется тем, что имеется металлизованное сырьё не только с низким содержанием фосфора, но и с повышенной его концентрацией [16, 53].

В связи с этим задача настоящей работы заключается в том, чтобы изучить влияние доли МОК и ГБЖ в шихте на длительность энергического периода, расход электрической энергии, конечное содержание фосфора в металле и выход годного жидкого полупродукта при порционной и непрерывной подаче этих материалов в печь.

В таблице 1.6 представлено сравнение непрерывной и порционной загрузки металлизованных окатышей. Видно, что при 33 % окатышей в шихте и непрерывной их загрузке результат плавки лучше, чем при порционной загрузке: экономия электроэнергии составляет 46 кВт·ч/т и времени плавки- 4 мин. Если же повысить долю окатышей до 43 % и 10 % из них загружать порционно, а 33 % - непрерывно, то расход электроэнергии увеличивается на 10 кВт·ч/т и прибавляется 1 мин времени от выпуска до выпуска. Однако по сравнению с полностью порционной загрузкой такой прием, тем не менее, экономит 36 кВт·ч/т и 3 мин времени от выпуска до выпуска [31,47].

Таблица 1.6 – Сравнение параметров порционной и непрерывной загрузки металлизованных окатышей в ДСП [31].

Доля окатышей в шихте (%) и способ их	Расход электроэнергии,	Время от выпуска
загрузки в печь	кВт·ч/т	до выпуска, мин
33% – загрузка двумя корзинами	426	58
33% – непрерывная загрузка	380	54
43% – 33% непрерывно, 10% корзиной	390	55
43% – непрерывная загрузка	392	58

С другой стороны, авторы [28, 78, 79] показали, что если содержание окатышей в завалке больше 35 %, то необходима их непрерывная подача.

При всей полезности информации, представленной в таблице 1.6, следует отметить, что в ней отсутствуют данные о влиянии способа загрузки на процесс удаления фосфора. В то же время для выбора способа загрузки железа прямого восстановления в ДСП и технологии выплавки стали в целом это информация крайне необходима. В связи с этим одной из задач данной работы является исследование влияния способа загрузки губчатого железа в ДСП (корзинами или непрерывно) на процесс удаления фосфора из металла.

При непрерывной загрузке металлизованного продукта процесс дефосфорации для каждой вновь загруженной элементарной порции начинается как бы заново, что может снижать полноту процесса дефосфорации. То есть полнота дефосфорации при непрерывной загрузке окатышей может быть, скорее всего, пониженной. Это обстоятельство необходимо изучить и особенно тщательно, так как при низкой концентрации фосфора в окатышах проблема неполноты процесса дефосфорации внешне может не проявляться. При использовании чистых окатышей удаётся получить требуемое содержание фосфора в стали без специальных технологических мероприятий. Однако для предприятий, использующих губчатое железо с повышенным содержанием фосфора, проблема неполной дефосфорации является актуальной.

1.3 Анализ реакций, протекающих при удалении фосфора из ванны ДСП

Для удаления фосфора из металла его обычно окисляют и переводят в оксидную форму P_2O_5 . Содержащийся в шлаке оксид железа может образовывать только неустойчивые фосфаты железа $3\text{FeO} \cdot P_2O_5$.

Компонентом шлака, образующим с P_2O_5 прочные фосфаты является оксид кальция CaO. Поэтому дефосфорацию стали проводят в печах с основной, чаще периклазовой, футеровкой, и высоким содержанием оксида кальция в шлаке. В литературе [8, 32, 54 – 56, 80] уравнение реакции дефосфорации, записывают в следующем виде:

$$2[P] + 5(FeO) + 4(CaO) = 4(CaO) \cdot (P_2O_5) + 5Fe$$
 (1.1)

Это запись основана на химической теории шлаков, развитой Г.Шенком [32, 54, 56].

Уинклер и Чипман [56] получили экспериментальные равновесные данные для распределения фосфора между металлом и шлаком. Обработка этих данных согласно уравнению (1.1) позволила получить зависимость константы равновесия от температуры [56]:

$$\lg K = \lg \frac{x_{(4CaO \cdot P_2O_5)}}{[P]^2 x_{FeO}^5 \cdot x_{CaO'}^{x_4}} = \frac{40067}{T} - 15,06,$$
(1.2)

где $x_{(CaO)'}$ мольная доля «свободной» CaO (не связанной в соединения с кислотными оксидами): $x_{(CaO)'} = x_{CaO} - 2x_{SiO_2} - 4x_{P_2O_5} - 2x_{Al_2O_3}$

Существует представление о том, что более прочным соединением является $3(CaO) \cdot (P_2O_5)$, а не $4(CaO) \cdot (P_2O_5)$ [8] и соответственно реакция дефосфорации в этом случае будет иметь вид:

$$2[P] + 5(FeO) + 3(CaO) = 3(CaO) \cdot (P_2O_5) + 5Fe. \tag{1.3}$$

Из приведённых реакций (1.1) и (1.3) видно, что для повышения полноты протекания процесса дефосфорации необходимо иметь повышенное содержание оксидов железа и кальция в шлаке. Реакция эта сопровождается выделением тепла [8, 32, 54 - 56]. Поэтому для получения более низкой концентрации фосфора необходимо проводить процесс дефосфорации при пониженных температурах. Несмотря на то, что эти рекомендации вполне согласуются с практикой сталеварения, производить расчёты процесса дефосфорации использованием уравнений (1.1), (1.2) достаточно трудно [55,56,88], так как необходимо знать состав фосфатов кальция в шлаке. Кроме того, необходимо знать количество свободного оксида кальции СаО .В целом эта расчётная методика представляется затруднительной. В связи с этим при анализе процесса дефосфорации часто используют полуэмпирические уравнения для расчёта равновесного коэффициента распределения фосфора между металлом и шлаком. Одним из них является уравнение [56]:

$$\lg \frac{(P)}{[P]} = \left(\frac{22350}{T}\right) - 16.0 + 2.5 \lg(\% F e_{\text{общ}}) + 0.08(\% CaO) \pm 0.4. \tag{1.4}$$

Многие авторы [32, 54, 56, 57] записывают уравнение дефосфорации в виде:

$$2[P] + 5(FeO) = (P_2O_5) + 5Fe \tag{1.5}$$

Выражение для эмпирической константы равновесия согласно [57] имеет вид:

$$K_P = \frac{(\%P_2O_5)}{[\%P]^2 \cdot (\%FeO)^5} \ . \tag{1.6}$$

Зависимость величины K_P от концентрации оксидов кальции в шлаке и температуры описывается уравнением [57]:

$$\lg K_P = 10,781(\%CaO) - 0,00894t - 6,245, \tag{1.7}$$

где t – температура, o С.

Как показывает анализ литературы наиболее разработанной теорией для анализа процесса дефосфорации является теория, рассматривающая шлак как регулярный ионный раствор [41, 55, 56, 58, 59]. Именно эта модель используется при анализе поведения фосфора в ходе окислительного рафинирования металлической ванны и переводе фосфора в шлак [41].

Модель отмечается достаточной последовательностью и фундаментальностью, а также наличием практически всех модельных параметров, что должно позволить использовать её для анализа процессов, протекающих при удалении фосфора в ходе плавки, стали в ДСП с использованием металлизованного сырья.

Практически во всех работах, где изучали процесс дефосфорации в промышленных условиях, отмечается, что реакция окисления фосфора к концу окислительного рафинирования достигает состояния термодинамического равновесия [8, 32, 54, 60, 85].

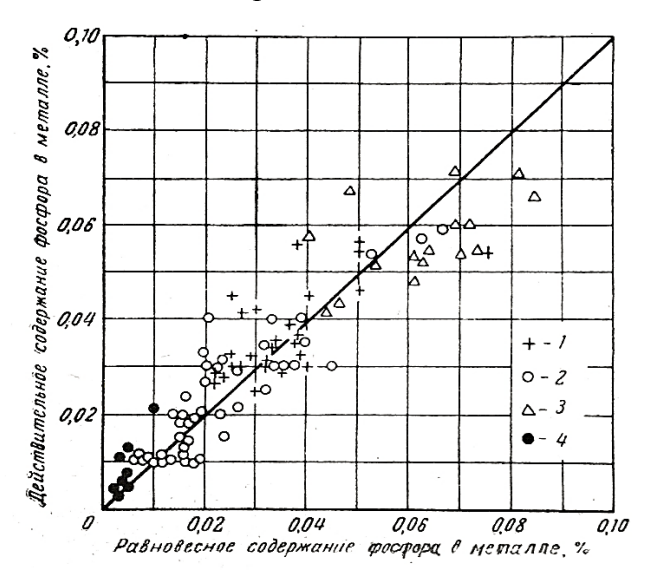


Рисунок 1.6 – Сравнение равновесных содержаний фосфора с действительным его содержанием в пробах стали из мартеновских, электрических печей и конвертеров: 1- пробы мартеновского металла после расплавления; 2- то же, перед раскислением; 3- пробы из конвертера в конце продувки и 4- пробы электростали в окислительный период [60]

На рисунке 1.6 представлено соотношение равновесных и фактических концентраций фосфора в металле при выплавке стали в конвертере, дуговой печи и в мартене [54, 60]. Видно, что применительно к этим процессам дефосфорация действительно близка к равновесию. Однако, для плавки окатышей вопрос о близости процесса дефосфорации к равновесию в литературе трактуется неоднозначно: одни [32, 44] считают, что концентрации фосфора близки к равновесным. Другие [12, 49], напротив, считают, что при плавке металлизованного сырья наблюдаются низкие и нестабильные коэффициенты распределения фосфора между металлом и шлаком и причина этого заключается в неэффективной и нестабильной кинетике процессов. В связи с этим задача данной работы состояла также в том, чтобы изучить полноту процесса дефосфорации при дискретной и непрерывной подаче металлизованного сырья, а также в том, чтобы оценить влияние на степень достижения равновесия по фосфору вида металлического сырья- лом, ГБЖ, МОК.

При плавке стали с использованием непрерывной загрузки металлизованного сырья оптимальной температурой металлической ванны считается 1540 – 1570 °C [1, 44, 50]. Затем в период рафинирования металл нагревают и температура повышается до температуры выпуска 1600 – 1670 °C. То есть температура при этом повышается на 50 – 100 °C. Известно, что повышение температуры ухудшает условия дефосфорации, способствует обратному переходу фосфора из шлака в металл, однако степень развития этого процесса применительно к плавке металлизованного сырья в литературе не освещалась. Нет сведений в литературе и о совместном влиянии на процесс рефосфорации содержания углерода и температуры при использовании только лома в завалке. Это неопределенность в ещё большей степени характерна для плавки стали с использованием металлизованного сырья, в частности, при непрерывной загрузке металлизованного сырья и последующем повышении температуры. Вполне возможно, что при повышении температуры наблюдается процесс рефосфорации, в том числе за счёт восстановления оксидов фосфора углеродом растворённым в металлической ванне, а также за счёт углерода, попадающего в печь с коксом и углеродистым порошком. В данной работы необходимо изучить эту возможность с тем, чтобы разработать рациональные условия дефосфорации при плавке металлизованного сырья с различным содержанием фосфора.

В процессе удаления фосфора реализуются не только суммарная реакция типа (1.1); для её реализации должна идти реакция доставки кислорода из шлака в металлическую ванну

$$(FeO) = Fe + [O] \tag{1.8}$$

Развиваются также реакции, использующие этот кислород: реакция обезуглероживания (1.9) и реакция окисления фосфора растворенном кислородом (1.10)

$$[C] + [O] = \{CO\};$$
 (1.9)

$$[P] + [O] = (PO_{2,5}). (1.10)$$

Степень завершённости приведённых реакций (1.8), (1.9) и (1.10), которые являются стадиями общего процесса дефосфорации при плавке металлизованного сырья, в литературе практически не изучалась [12, 25, 47, 50].

Алгебраическая сумма реакции (1.9) и (1.10) имеет вид

$$(PO_{2.5}) + 2.5[C] = 2.5CO_{(r)} + [P].$$
 (1.11)

Реакцию (1.11) можно рассматривать как реакцию рефосфорации, протекающую за счёт растворенного в металле углерода. Отметим, что в общем случае под рефосфорацией понимают переход фосфора из шлака в металл, который происходит при несоблюдении условий дефосфорации: понижение основности шлака и окисленности системы металл- шлак, повышении температуры.

В работе [50] изучали процесс дефосфорации в ДСП на Белорусском металлургическом заводе (БМЗ), показано, что с увеличением концентрации фосфора в завалке увеличивается конечное содержание фосфора и повышается температурная чувствительность к рефосфорации. Сам процесс рефосфорации в работе [50] не изучали.

В исследовании [61] рассматривали поведение фосфора в процессе выплавки стали при использовании ГБЖ с высоким содержанием фосфора. После непрерывной подачи ГБЖ в ванну фосфор в шлаке повысился с 0,294 % до 0,618 %. Несмотря на повышение фосфора в шлаке, все плавки выпустили с 0,01 % Р или ниже, более детальная информация не сообщается. В работе [12] при анализе результатов [61] считают, что наиболее вероятной причиной успешней дефосфорации явились благоприятные условий равновесия, которые препятствуют рефосфорации. То есть процесс рефосфорации при плавке МОК и ГБЖ принимали во внимание, но не изучали.

Таким образом, роль реакций (1.8) - (1.11) в общем процессе удаления фосфора при плавке металлизованного сырья с различным содержанием фосфора в изученной литературе представлена мало [12, 25, 47, 50]. В связи с этим задача данной работы состоит в том, чтобы изучить развитие и степень завершённости каждой из реакций (1.8) - (1.11), что должно обеспечить теоретическую основу для разработки усовершенствованной технологии плавки стали с применением металлизованного сырья.

Выводы по главе 1, цели и задачи работы

- 1- Практически не разработан химизм процесса дефосфорации при плавке металлизованного сырья в дуговой печи. Большинство авторов предпочитают использовать в этом случае реакцию окисления фосфора оксидами железа, содержащимися в шлаке. При этом не учитываются другие возможные реакции. Нет анализа прямой реакции окисления фосфора растворенным кислородом с переводом оксидов фосфора в шлак. При этом в литературе приведены гипотезы, согласно которым оксиды фосфора, содержащиеся в металлизованном сырье, непосредственно переходят в шлак и таким образом обеспечивается дефосфорация.
- 2- Анализ экспериментальных данных при плавке металлизованного сырья показывает, что в литературе отсутствует сравнение результатов дефосфорации при использовании высоко- и низкофосфористого металлизованного сырья. Обычно авторы анализируют процесс дефосфорации при плавке либо низкофосфористых, либо высокофосфористых окатышей, не пытаясь сравнивать эти процессы между собой.
- 3- Достаточно широко известны оптимальные условия дефосфорации при выплавке стали с использованием в шихте металлического лома и чугуна в различных металлургических агрегатах. В то же время оптимальные условия дефосфорации при плавке металлизованного сырья с повышенным содержанием фосфора не определены.
- 4- Выполнено достаточно большое количество работ по изучению непрерывной и дискретной корзинами подачи металлизованного сырья в печь. В этих работах основное внимание уделялось процессам плавления губчатого железа. В то же время особенность протекания дефосфорации при использовании различных методов загрузки этих материалов не изучалась.
- 5- В последнее время при плавке стали наряду с металлизованными окатышами применяется горячебрикетированное железо. Сравнение этих видов шихты обычно проводится с использованием технико-экономических показателей плавки. В то же время влияние каждого из этих видов шихты на полноту дефосфорации не рассматривается.

Исходя из выше сказанного, **целью** диссертационной работы является исследование и совершенствование технологии плавки стали с использованием металлизованного сырья (окатышей и горячебрикетированного железа) с различным содержанием фосфора в современной дуговой сталеплавильной печь, обеспечивающей порционную и непрерывную подачу этого сырья.

Для достижения вышеуказанной цели необходимо решить следующие задачи:

- 1. Провести теоретический и экспериментальный анализ процесса дефосфорации стали при выплавке в дуговой печи полупродукта с использованием в металлошихте лома и металлизованного сырья, содержащего до 0,061 % Р фосфора.
- 2. Установить влияние основных технологических параметров на процесс дефосфорации металлического расплава при использовании в качестве металлошихты металлизованного сырья с повышенным содержанием фосфора и увеличенным расходом углеродсодержащих материалов.
- 3. Исследовать влияние вида и доли металлизованного сырья в шихте дуговой сталеплавильной печи на полноту удаления фосфора.
- 4. Изучить влияние массы непрерывно загружаемого металлизованного сырья на особенности протекания процесса дефосфорации.

2 ОПИСАНИЕ БАЗОВОЙ ТЕХНОЛОГИИ EZZ FLAT STEEL И МЕТОДИКА EE ИССЛЕДОВАНИЯ

2.1 Характеристики ДСП-220

Дуговая сталеплавильная печь ДСП-220, на которой проводилось исследование технологии плавки металлизованного сырья с различным содержанием фосфора, состоит из корпуса печи, свода с электродами и токоподводами и механизмов, обеспечивающих наклон печи, удержание и перемещение электродов и загрузку шихты. Подина и откосы печи выполнены из периклазовых огнеупоров. Стены и свод печи оборудованы водоохлаждаемыми панелями. Печь имеет эркер с затвором для выпуска металла. Выпуск шлака осуществляется через рабочее окно, закрываемое заслонкой. Загрузка шихты (лом и металлизованное сырье) производится с помощью загрузочных корзин. В корзины загружают также чугун, известь, кокс, доломит. Металлизованные окатыши и горячебрикетированное железо можно загружать непрерывно на ванну жидкого металла через отверстие в своде. Через то же отверстие одновременно с металлизованным сырьем загружают известь. Печь оборудована тремя наклонными кислородными фурмами, двумя газокислородными горелками и тремя фурмами для подачи порошка кокса. Печь ДСП-220 имеет номинальную вместимость 220 т и снабжена трансформатором мощностью 133 МВА. Печь может работать с использованием жидкого остатка металла после выпуска («болото»). Масса «болота» составляет 30 – 35 т. схема ДСП-220 представлена на рисунке 2.1.

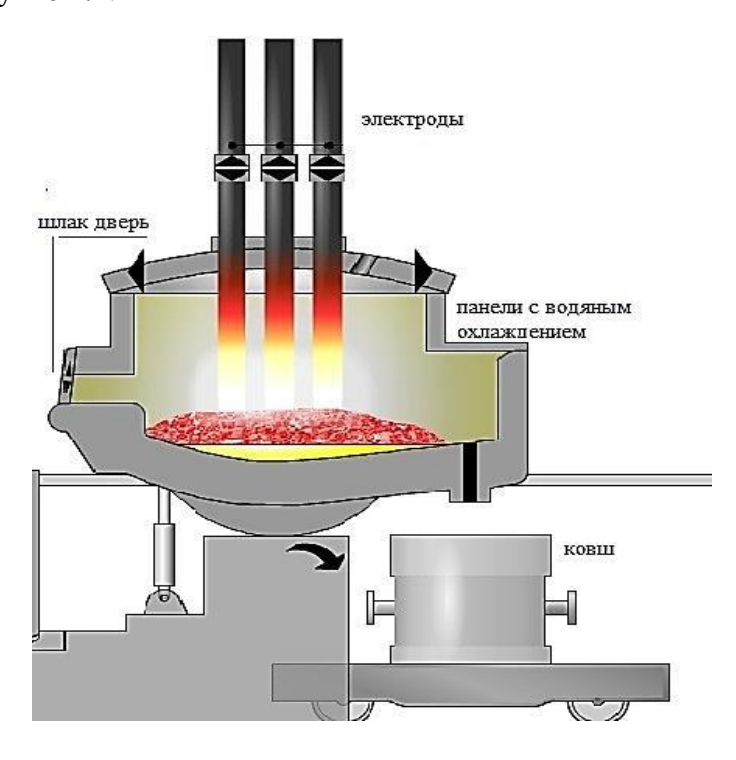


Рисунок 2.1 - Схема дуговой сталеплавильной печи ДСП – 220 EZZ Flat Steel

Через подину печи вводится аргоно-кислородная смесь для более эффективного перемешивания металлической ванны.

Основные характеристики печи ДСП – 220 представлены в таблице 2.1.

Таблица 2.1 - Характеристики дуговой сталеплавильной печи ДСП-22	Таблина 2.1	- Характеристики	луговой сталеплав	ильной печи	ЛСП-220
--	-------------	------------------	-------------------	-------------	---------

Высота	5390 мм	Наклон к эркеру	+15°
Диаметр	15400 мм	Наклон при удалении шлака	-20°
Число панелей	14	Мощность трансформатора	133+20 % MBA
Масса металла на выпуске	185 т	Вторичное напряжение	До 1100 В
болото	30-35 т	Диаметр электрода	609 мм
Объём	202 m^3	Плотность тока	7 A/mm^2
Вместимость корзины	125 т лома		

Внешний вид печи ДСП -220, эксплуатируемой на предприятии EZZ Flat Steel, представлен на рисунке 2.2.



Рисунок 2.2 - Дуговая сталеплавильная печь ДСП-220 (EZZ FLAT STEEL), Египет

2.2 Состав используемых материалов

Металлургический завод в Египте EZZ Flat Steel производит 1,2 млн. т горячекатаного листа толщиной 1 - 12 мм. [87] Требования к химическому составу выплавляемой типичной строительной стали представлены в таблице 2.2.

Таблица 2.2 - Требования к химическому составу стали 1017, %

		1					<i>J</i>		,	
	C	Si	Mn	P	S	Cu	Cr	Ni	Al общ	N
мин.	0,048		0,35						0,025	
макс.	0,06	0,03	0,45	0,015	0,005	0,18	0,08	0,08	0,04	0,008
цель	0,055	0,02	0,38	0,01	0,004	0,15	0,04	0,04	0,032	0,007

Для прокатки используется непрерывно-литая заготовка в форме сляба толщиной 300 мм и шириной 2000 мм. Жидкий полупродукт выплавляют в дуговой печи вместимостью 220 т с выпуском 185 т жидкого металла и остатком металла в печи -30 - 35 т. Мощность печи составляет 133 МВА. В составе шихты используются металлизованные окатыши и ГБЖ в соотношении 1:1 в количестве от 25 до 65 %; металлический лом - от 36 до 72 %, твердый чугун - от 0 до 5 тонн. Для шлакообразования применяется известь от 45 до 85 кг на тонну выпускаемого жидкого полупродукта. Составы металлизованных окатышей, чугуна, лома, извести и пыли приведены в таблицах 2.3, 2.4, 2.5, 2.6, 2.7 соответственно [62].

Таблица 2.3 - Химический состав губчатого железа (металлизованных окатышей и ГБЖ), применяемого на заводе EZZ Flat Steel, %

Металлизация	Fe общ	Fe мет	С	P	S	CaO	MgO	SiO ₂	Al ₂ O ₃	TiO ₂
92,61	91,24	84,5	1,67	0,061	0,0026	1,9	1,0	2,9	0,35	0,10

Таблица 2.4 - Химический состав чугуна, %

C	Si	Mn	P	S
4,10	0,71	2,55	0,40	0,047

Таблица 2.5- Принятый для анализа и расчётов химический состав лома, %

С	Si	Mn	S	P	As	Cu	Sn	Cr	Nb	Ni	Al	Co	Fe
0,25	0,37	0,5	0,04	0,037	0,01	0,3	0,01	0,071	0,006	0,12	0,04	0,004	98,23

Таблица 2.6 - Химический состав извести, %

		,		
MgO	SiO_2	P2O5	S	CaO
6,5	3,5	0,1	0,08	90,32

Таблица 2.7 - Таблица 18 - Химический состав пыли, %

Γ	CaO	MgO	SiO ₂	Al ₂ O ₃	FeO	MnO	Cr ₂ O ₃	P ₂ O ₅	Na ₂ O	K ₂ O	SO ₃	TiO ₂	V ₂ O ₅
ŀ	10	3	5	0,8	48	2,5	0,25	0,45	4	1,7	3	0,06	0,008

Анализ таблиц 2.3, 2.4, 2.5 показывает, что металлизованное сырье и чугун содержат достаточно много фосфора: 0,061 % и 0,4 % соответственно. Ясно, что такое высокое содержание фосфора в шихтовых материалах должно создавать трудности в получении стали с целевым содержанием фосфора 0,01 %.

Для выявления и анализа особенностей технологии плавки стали с использованием высокофосфористого железа прямого восстановления также были проведены плавки с введением в шихту металлизованного сырья с низким содержанием фосфора – 0,012 %. Состав низкофосфористых окатышей и ГБЖ приведен в главе 5.

На рисунке 2.3 представлен внешний вид различных типов металлолома, используемого при выплавке стали в ДСП-220.



Рисунок 2.3 - Типы металлолома, используемые в ДСП-220 компании EZZ Flat Steel, Египет. Пакетированной лом (а), шредерный лом (б), тяжеловесный лом (в), листовая обрезь (г), легковесный лом (д)

Внешний вид чугуна и металлизованного сырья (металлизованные окатыши и горячебрикетированное железо), используемого в ДСП – 220, представлен на рисунке 2.4.



Рисунок 2.4 – Металлизованные окатыши (а), горячебрикетированное железо (б) и чугун (в), загружаемые в ДСП - 220, компания EZZ Flat Steel, Египет

2.3 Базовая технология

Вначале в ДСП загружают и проплавляют две корзины шихты, которая состоит в основном из лома; доля окатышей в ней не превышает 30%, что отвечает сложившимся представлениям о доле металлизованного сырья в шихте при порционной загрузке [62]. После расплавления шихты шлак удаляют и через отверстие в своде осуществляют непрерывную загрузку металлизованных окатышей и ГБЖ в соотношении 1:1; одновременно с металлизованным сырьем в печь подается известь.

В первую корзину загружают 80 т лома, 20 т губчатого железа, до 5 т чугуна и 2 т кокса. Через 8 минут после завалки первой корзины и ввода в печь 10 МВт ч электроэнергии образуется ванна жидкого металла. На эту ванну через отверстие в своде подают 3 т извести и 0.5 т доломита. Присадка шлакообразующих осуществляется далее непрерывно вплоть до подачи второй корзины. После загрузки первой корзины и включения печи проводят дополнительный подогрев шихты газокислородными горелками. За период плавления первой корзины расход кислорода составляет 1500 м³, природного газа- 300 м³, расход

порошкообразного углерода- 300 кг. Период плавления первой корзины считается законченным после ввода 24 МВт·ч электроэнергии и 1,5 МВт·ч химической энергии.

Таблица 2.8 - Характеристики базовой технологии выплавки полупродукта с использованием

металлизованного сырья на заводе EZZ Flat Steel [62]

Операция				eel [62]		оказатели	Ппител	и пості	Время под
Операция	Масса шихтовых материалов, т / показатели плавки						Длительность операции, мин		током, мин
	TI, IQDITT	ширки						до	
Подготовка печи							0	3	0
Загрузка корзины №1 (100 т)	ЛОМ		МОК и	1 ГБЖ	ко	кс		-	
	80		20		2	-	3	8	0
Плавление корзины №1 (до 70 % массы шихты в корзине)					12			26	18
Начало непрерывной присадки извести и доломита	известь доломит					10 минуті ния корзи	ы от начала ны №1		
	3			0,5					
Загрузка корзины №2 (60 т)	лом МОК и ГБЖ		известь дол		доломит	26 33		0	
	45	45 15		3		0,5			
Плавление корзины №2							33	52	19
Первое удаление шлака	Удаляется	при	мерно 5	0 % шла	ка		52	56	0
Отбор пробы №1 и измерение температуры	Проба №1 T = 1560			им. анал	из.		52	56	0
Непрерывная загрузка МОК, ГБЖ и извести через	МОК и ГБ	Ж	Извест	()		` •	56 80	22	
отверстие в своде	60100 39			порошок) 01,0			-		
Второе удаление шлака	Шлак удал	яетс	я приме	рно на 5	50 %	•			
Рафинирование	$0,50,6 \text{ m}^3$	Шлак удаляется примерно на 50 %. Печь отключена. Продувка кислородом - 0,50,6 м³/(т·мин), присадка извести 01,6; порошок кокса через инжектор 01,0.					80	85	0
Отбор пробы №2 перед выпуском, измерение температуры	Проба №2 T = 1630			им. анал	из.		85	85	
Выпуск	Общая длительность плавки					85			
	Время под током								59

Во второй корзине находится 45 т лома, 15 т губчатого железа, 3 т извести и 0.5 т доломита. Длительность второго периода плавления (после загрузки второй корзины) составляет около 20 мин. Расход кислорода через кислородные инжекторы составляет в среднем 2000 м³, через газокислородные горелки – 200 м³, расход природного газа - 250 м³. Во второй период для вспенивания шлака через три углеродных инжектора подается 200 кг порошкообразного кокса. Второй период считается законченным после ввода 26 МВт-ч электроэнергии и 2 МВт-ч химической энергии. После завершения второго периода наступает третий период.

В течение третьего периода в печь через отверстие в своде непрерывно подают до 100 т металлизованного сырья. Соотношение МОК: ГБЖ обычно составляет 1:1. Одновременно с губчатым железом в печь через отверстие в своде непрерывно подают известь (6 т); доломит в этом периоде не вводят. Расход кислорода в третьем периоде составляет 3000 м³,

порошкообразного до 1000 кг (кусковый кокс присаживают по необходимости); природный газ в это время не подают. Средняя длительность периода - 24 минуты. За это время в ДСП вводят 33 МВт·ч электроэнергии и 5 МВт·ч химической энергии.

После третьего периода следует четвертый период окислительного рафинирования. Целью этого периода является повышение температуры от 1560 - 1580 °C до температуры выпуска 1630...1670° С и получение требуемых низких концентраций фосфора. Эти задачи решаются за счет продувки ванны газообразным кислородом с интенсивностью 0,5 - 0,6 м³/(т·мин) и присадок извести до 1,5 т (до 7 кг/т). В этот период печь обычно отключена. Это обеспечивает получение требуемых низких концентраций азота (ниже 0,008 %) на заключительном этапе плавки. Также в четвертый период возможно введение небольшого количества металлизованного сырья для снижения концентрации меди в полупродукте.

В ходе плавки ведется окисление ванны газообразным кислородом с общим расходом от 35 до 40 м^3 /т. Для вспенивания шлака используют присадки кускового кокса (16 - 20 кг/т) в составе шихты, находящейся в первой бадье. Параллельно в ходе плавки на шлак присаживают порошкообразный кокс крупностью 1 - 3 мм в среднем в количестве 8 кг/т.

Удаление шлака осуществляют при наклоне печи дважды. В первый раз- после проплавления двух корзин и второй раз - после завершения непрерывной загрузки металлизованных материалов. После второго удаления шлака замеряют температуру, отбирают конечные пробы металла и шлака. После этого производят выпуск полупродукта в ковш. Период рафинирования, который обычно длится 5 - 7 минут, может повторяться несколько раз при условии недостижения требуемой температуры и химического состава металла. Основные характеристики исследуемой базовой технологии приведены в таблице 2.8.

Отметим, что указанные параметры технологии, включая продолжительность операций, носят приближенный характер и на реальных плавках довольно сильно варьируют.

Из таблицы 2.8 видно, что характеристики процесса выплавки стали в ДСП-220 с использованием металлизованного сырья не являются оптимальными в сравнении, например, с характеристиками технологии, применяемой на Оскольском электрометаллургическом комбинате [77]. В связи с этим, в частности, анализ изложенной базовой технологии и её совершенствование явились предметом настоящего исследования.

2.4 Методика исследования базовой технологии

Анализ процесса удаления фосфора проводили с использованием данных о составе металла, шлака и температуре для 183 плавок текущего производства. Как видно из приведенного выше описания базовой технологии, в ходе ее реализации производится контроль

достаточно большого количества параметров. Это должно сделать достоверным исследование этой технологии. В то же время по действующей технологии не предусмотрен отбор и анализ проб шлака после расплавления шихты, загруженной в печь корзинами. Ясно, что процессы окисления углерода, поведение кислорода И углерода при непрерывной металлизованного сырья должны оказывать существенное влияние на дефосфорацию металлической ванны. Однако по действующей технологии не предусматривается измерение концентрации кислорода период рафинирования после непрерывной загрузки металлизованного сырья. Отсутствие указанной информации затрудняет анализ процессов удаления фосфора и выработку рекомендаций для совершенствования и оптимизации представленной технологии. В связи с этим характеристики действующей технологии подкреплены специально проведенными дополнительными плавками (21 плавка), на которых дополнительно отбирали и анализировали пробы металла и шлака после проплавления шихты, загруженной корзинами. На этих же опытных плавках методом ЭДС в период рафинирования была измерена концентрация кислорода. Данные опытных плавок приведены в Приложении А. Типичные составы шлака и металла (пробы 1,2) представлены в таблицах 2.9 и 2.10.

Таблица 2.9 - Типичные составы шлака после расплавления двух корзин (проба 1) и после окончания непрерывной загрузки губчатого железа перед выпуском (проба 2), %

$N_{\underline{0}}$	проба	CaO	SiO2	FeO	MgO	Al ₂ O ₃	MnO	Cr ₂ O ₃	P ₂ O ₅	TiO ₂
плавки										
1	1	32,56	15,28	35,33	6,16	6,46	1,94	0,68	0,897	0,659
	2	31,14	12,35	43,15	5,21	5,36	1,14	0,42	0,729	0,483
2	1	26,99	11,73	47,46	5,50	5,62	1,14	0,38	0,691	0,481
	2	23,84	11,37	49,79	7,05	5,18	1,27	0,44	0,581	0,458
3	1	27,61	12,22	46,48	4,24	5,88	1,84	0,56	0,668	0,469
	2	25,37	11,90	50,55	3,75	5,63	1,32	0,41	0,589	0,443

Таблица 2.10 - Типичные значения температуры и состава металла после расплавления двух корзин (проба 1) и после окончания непрерывной загрузки губчатого железа, перед выпуском (проба 2), %

№	проба	С	Mn	S	P	Cu	Ni	Cr	Sn	Si	T°C
плавки											
1	1	0,055	0,019	0,04	0,01	0,206	0,067	0,037	0,0104	0,005	1535
	2	0,049	0,010	0,037	0,012	0,191	0,062	0,0259	0,0095	0,005	1620
2	1	0,049	0,019	0,026	0,012	0,378	0,057	0,013	0,001	0,001	1617
	2	0,042	0,008	0,016	0,013	0,256	0,042	0,005	0,0065	0,001	1645
3	1	0,067	0,016	0,027	0,009	0,183	0,073	0,023	0,0085	0,005	1527
	2	0,042	0,0076	0,023	0,014	0,146	0,058	0,015	0,0067	0,005	1623

Из таблиц 2.9 и 2.10 видно, что составы шлака и металла после расплавления двух корзин (проба 1) и после окончания непрерывной загрузки губчатого железа, перед выпуском (проба 2) достаточно близки. Это позволяет использовать большие массивы промышленных плавок для анализа процессов дефосфорации при использовании металлизованных окатышей и ГБЖ с высоким содержанием фосфора в составе шихты ДСП. Именно это обстоятельство позволило увеличить массив анализируемых плавок до 183 плавок текущего производства.

Кроме того, для выявления особенностей технологии плавки стали с применением высокофосфористого металлизованного сырья (0,061 % P) дополнительно, для сравнения, были проведены 26 плавок, на которых использовалось горячебрикетированное железо, содержащее 0,012 % фосфора. Контроль этих плавок осуществлялся таким же образом, как это производится на обычных серийных плавках.

Пробы металла отбирали с помощью специального пробоотборника, обеспечивающего отбор пятачковых проб толщиной 5...7 мм и диаметром 30 мм. после охлаждения и шлифовки пробы металл подвергали анализу с использованием эмиссионного спектрометра Spectrolab M9.

Пробы шлака отбирали с помощью металлической ложки. Далее шлак измельчали до размера не более 0,25 мм и прессовали в таблетки. Таблетки анализировали с помощью рентгенофлуоресцентного анализа на приборе XRF Bruker S4.

Применение современных методов химического анализа обеспечивает достоверность результатов определения состава металла и шлака.

Концентрацию кислорода определяли методом ЭДС с использованием датчиков фирмы Sider Electronic Industries Limited. Температуру металла измеряли термопарой ВР 5/20, датчики температуры изготовлены фирмой Sider Electronic Industries Limited.

На рисунке 2.5 представлено соответствие состава шлака перед непрерывной загрузкой и МОК, и ГБЖ от состава шлака перед выпуском. Видно, что по составу конечного шлака можно оценить состав шлака перед непрерывной подачей металлизованного сырья. Это обстоятельство позволило присоединить к 21- й экспериментальной плавке массив из 162-х промышленных плавок и подвергнуть полученный общий массив из 183-х плавок анализу и обработке с целью изучения поведения фосфора при использовании высокофосфористого металлизованного сырья в составе шихты ДСП-220.

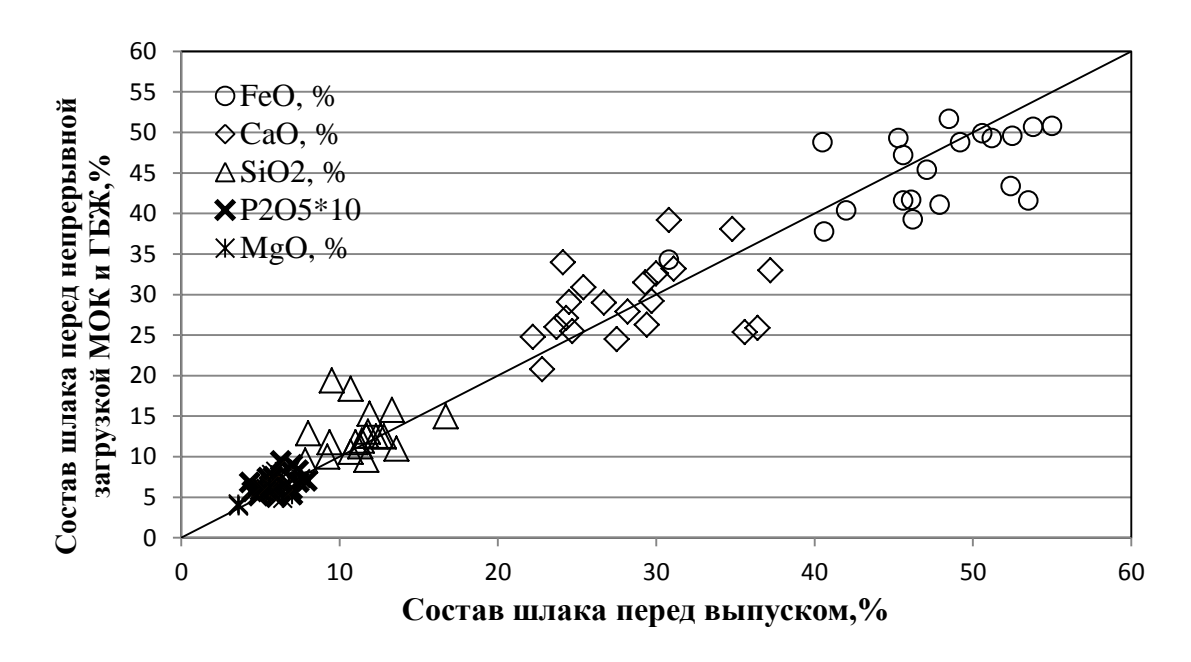


Рисунок 2.5 – Соответствие состава шлака перед непрерывной загрузкой МОК и ГБЖ от состава шлака перед выпуском

Выводы по главе 2

В данной главе приведена базовая технология выплавки полупродукта с использованием металлизованного сырья на заводе EZZ Flat Steel и ее основные характеристики. Предложена методика исследования данной технологии с целью ее совершенствования.

Показано, что пробы металла и шлака, отобранные после расплавления корзин с ломом и металлизованным сырьем, удовлетворительно коррелируют с составами металла и шлака в финишный период плавки. Это позволяет расширить массив анализируемых данных с 21-й до 183-х плавок. Даны характеристики методов контроля состава металла и шлака, а также температуры и окисленности ванны.

3 АНАЛИЗ ПРОЦЕССА ДЕФОСФОРАЦИИ ПРИ ВЫПЛАВКЕ СТАЛИ ИЗ МЕТАЛЛИЗОВАННОГО СЫРЬЯ С ПОВЫШЕННЫМ СОДЕРЖАНИЕМ ФОСФОРА

3.1 Влияние доли металлизованного сырья в шихте на содержание фосфора в металле и шлаке. Балансовый анализ процесса дефосфорации

На рисунке 3.1 представлена зависимость содержания фосфора в жидком полупродукте перед выпуском из ДСП от доли металлизованного сырья в составе шихты. Металлизованная часть шихты состоит из 50 % ГБЖ и 50 % металлизованных окатышей. Из рисунка видно, что увеличение количества металлизованного сырья в шихте с 26 до 63 % приводит к возрастанию концентрации фосфора в полупродукте с 0,005 до 0,015 %. Видно также, что добавление в состав шихты 2 % чугуна, содержащего 4 % С и 0,4 % Р, не оказывает влияния на содержание фосфора в полупродукте. При построении рисунка 1 использован весь массив данных (183 плавки).

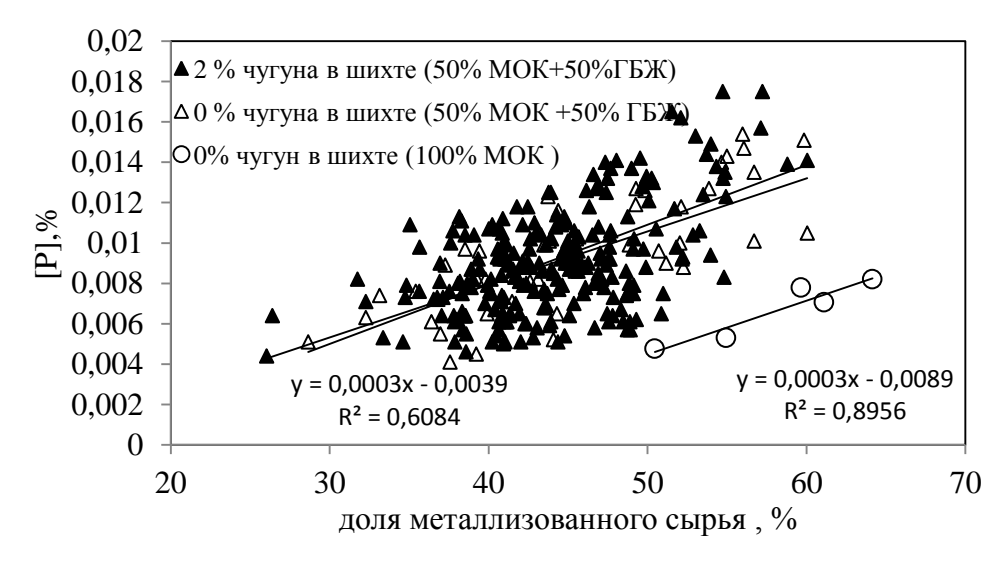


Рисунок 3.1 – Зависимость содержания фосфора в жидком полупродукте от доли металлизованного сырья в шихте ДСП

Рисунок 3.2 показывает зависимость содержания оксида фосфора в шлаке перед выпуском полупродукта из ДСП от доли металлизованного сырья в шихте. Видно, что концентрация оксидов фосфора в шлаке резко снижается при увеличении содержания губчатого железа в шихте. Это подтверждает необходимость анализа и оптимизации процессов распределения фосфора между металлом и шлаком при плавке металлизованного сырья с повышенным содержанием фосфора.

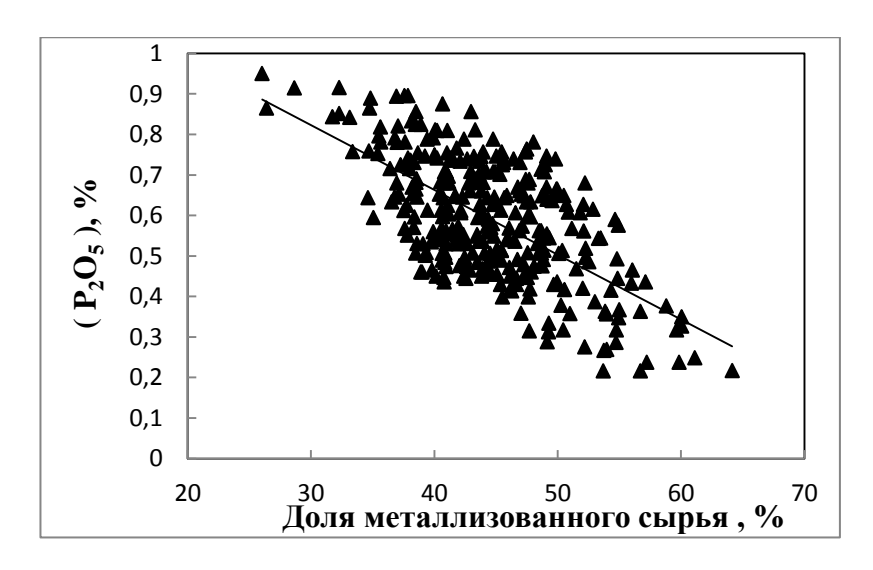


Рисунок 3.2 – Зависимость содержания концентрации оксида фосфора в шлаке от доли металлизованного сырья в шихте

Отметим, что концентрация фосфора в металлизованных окатышах и ГБЖ известна — 0,061 %. В то же время концентрация фосфора в ломе неизвестна, что существенно затрудняет анализ процесса дефосфорации. Можно было бы принять эту концентрацию равной типичному содержанию фосфора в углеродистых и низколегированных сталях. Однако для более точной оценки содержания фосфора в ломе целесообразно рассчитать его, исходя из распределения фосфора только между металлом и шлаком. Затем полученные оценки по содержанию фосфора можно сравнить с обычным уровнем фосфора в стали. Близость этих величин укажет на справедливость допущения о распределении фосфора в системе «металл — шлак».

Зная состав шихты, запишем выражение для начального содержания фосфора в шихте:

$$[P]_{H} = Z_{NOM} \cdot [P]_{NOM} + Z_{NVHC} \cdot [P]_{NVHC} + Z_{NVHC} \cdot [P]_{NVHC}$$

$$(3.1)$$

где $Z_{\text{лом}},\,Z_{\text{гуж}},\,Z_{\text{чуг}}$ – доля лома, губчатого железа и чугуна в шихте соответственно.

Результат дефосфорации опишем балансовым уравнением:

$$m_{Me}[P]_{H} + m_{uu}(P)_{H} = m_{Me}[P]_{K} + m_{uu}(P)_{K}$$
 (3.2)

Это уравнение записано из условия, что масса фосфора в металле и шлаке в начале процесса дефосфорации (индекс «н» при переменных величинах) и по ее окончании (индекс «к») остается постоянной и фосфор не выделяется в газовую фазу. Условно принято, что масса металла и шлака в ходе перераспределения фосфора не меняется.

Выразим из балансового уравнения начальную концентрации фосфора в шихте:

$$[P]_{u} = \frac{m_{Me}[P]_{\kappa} + m_{uu}(P)_{\kappa} - m_{uu}(P)_{u}}{m_{Me}}$$
(3.3)

Величины $m_{\text{шл}}$ и (P)_к определяются из выражений:

$$m_{uu} = \frac{m_{us} \cdot (\%CaO_{us})}{(\%CaO)}$$
(3.4)

где (% СаО) и (% СаО_{изв}) – содержание оксида кальция в шлаке и извести соответственно.

$$(P)_{\kappa} = \frac{62(\%P_2O_5)_{\kappa}}{142} \tag{3.5}$$

Определив [Р]_н, найдем концентрацию фосфора в ломе по формуле:

$$[P]_{\text{\tiny JOM}} = \frac{[P]_{\text{\tiny H}} - Z_{\text{\tiny ZYXK}} \cdot [P]_{\text{\tiny ZYXK}} - Z_{\text{\tiny YYZ}} \cdot [P]_{\text{\tiny YYZ}}}{Z_{\text{\tiny JOM}}}$$
(3.6)

На рисунке 3.3 представлено распределение расчетных концентраций фосфора в ломе при содержании фосфора в окатышах 0,061 % по доле плавок от их общего количества. Из рисунка видно, что более 60 % плавок отвечают содержанию фосфора в ломе от 0,02 до 0,05 %, что близко к обычно наблюдаемым содержаниям фосфора в рядовых углеродистых сталях. Пониженные концентрации фосфора в ломе (ниже 0,02 %) обусловлены использованием собственных низкофосфористых отходов проката в шихте.

Повышенные концентрации фосфора в ломе могут быть вызваны также превышением фактических концентраций фосфора в металлизованном сырье и чугуне относительно номинальных – 0.061 % и 0.4 % соответственно. В дальнейших расчетах использовали среднее содержание фосфора в ломе - 0.036 %.

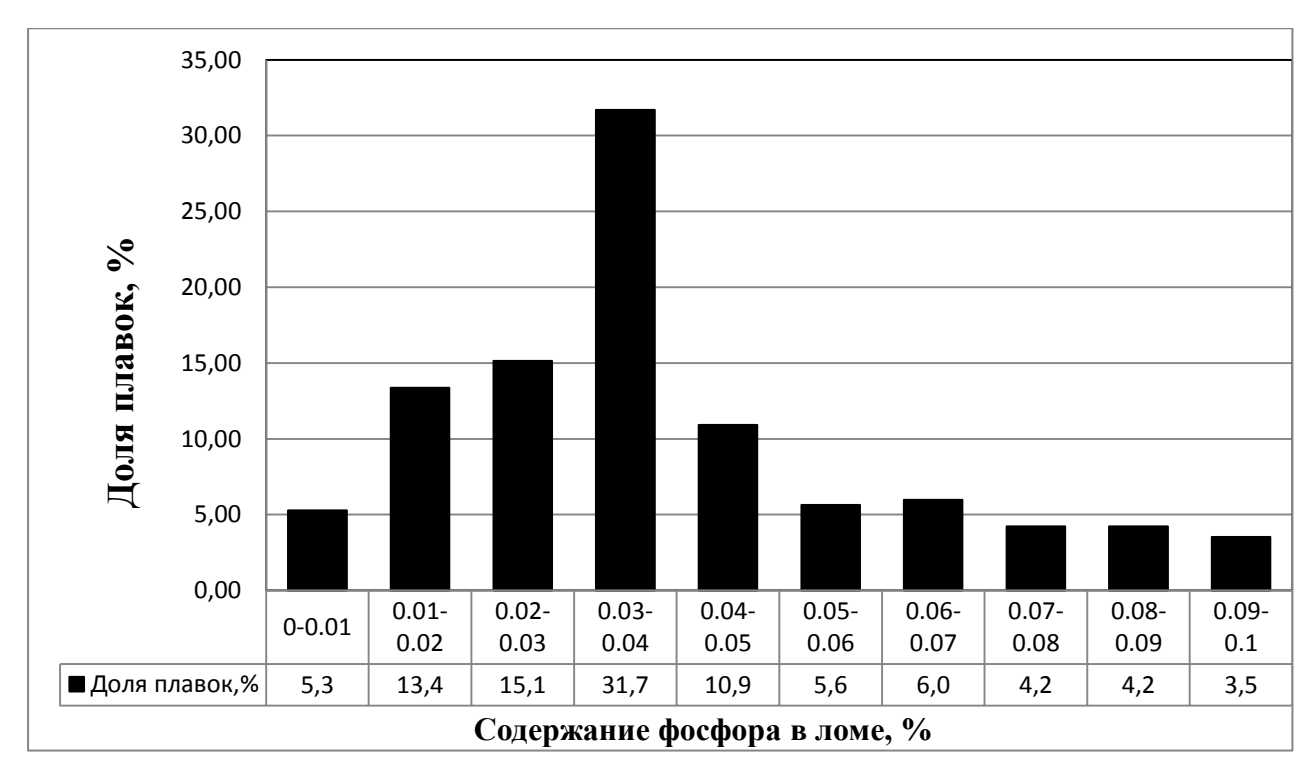


Рисунок 3.3 – Распределение расчетных концентраций фосфора в ломе при содержании фосфора в окатышах 0,061 %

После определения содержания фосфора в ломе целесообразно рассмотреть зависимость концентрации фосфора в полупродукте от доли лома в шихте. Указанная зависимость представлена на рисунке 3.4.

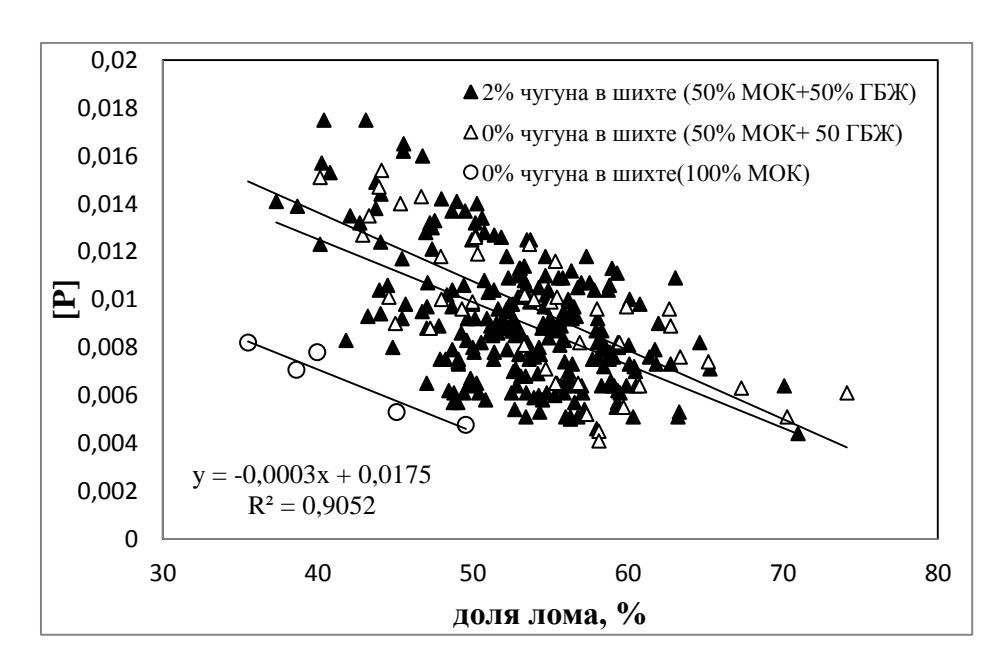


Рисунок 3.4 – Зависимость содержания фосфора в жидком полупродукте от доли лома в шихте

Из рисунка 3.4 видно, что повышение доли лома в шихте от 37 до 72 % сопровождается снижением концентрации фосфора примерно с 0,015 до 0,005 %. Из данной зависимости следует, что для получения полупродукта с пониженным содержанием фосфора целесообразно увеличивать долю лома в шихте. Отметим, что этот вывод не является очевидным; в литературе [44, 49] содержатся сведения о том, что снижение доли лома в шихте, замена его металлизованным сырьем должна сопровождаться понижением концентрации фосфора в металле. В связи с этим необходимо более детально изучить процесс дефосфорации металлической ванны при использовании в шихте ДСП металлизованного сырья и лома.

Определение концентрации фосфора в ломе (0,036 %) позволяет составить баланс по фосфору для каждой из 183-х плавок. Примеры такого баланса для плавок, в которых производили непрерывную присадку только металлизованных окатышей (100 т) и только горячебрикетированного железа (90 т) приведены, соответственно, в таблицах 3.1 и 3.2. Примем, что концентрация фосфора в конечном рафинировочном вспененном шлаке в среднем равна 0,27 %. Масса этого шлака может быть оценена следующим образом. Промышленный опыт скачивания шлака из металлургических агрегатов показывает, что удалить шлак без потерь металла удается только в том случае, если толщина остающегося шлака составляет более 2 см. Примем, что толщина оставшегося в печи рафинировочного вспененного шлака

равна 2 см. Плотность невспененного шлака можно принять равной $\rho=3$ г/см³ [63, 55]. Учтем, что скачиваемый шлак является вспененным. Степень вспенивания шлака при плавке металлизованных окатышей зависит от основности и окисленности шлака; средняя основность и окисленность изучаемых шлаков равна 2,5...3 и 25...30 % соответственно. По данным [64] степень вспенивания такого шлака в среднем составляет $\Delta h/h_0=3$,5. Тогда относительное увеличение объема шлака после вспенивания $\Delta V/V_0=\Delta h/h_0=3$,5; следовательно объем шлака после вспенивания будет равен $V=V_0+\Delta V=V_0+3.5V_0$. Если $V_0=1cM^3$, то V=4,5 cM^3 , и тогда плотность вспененного шлака определяется как $\rho_{scn}=3/4$,5=0,67 г/см³. При диаметре печи d=15,4 м и толщине шлака h=2 см масса его составит $m_{ux}=\pi\cdot d^2\cdot h\cdot \rho_{scn}/4=2458$ кг и масса фосфора, вносимая с остатком рафинировочного шлака равна $2458\cdot0,27/100=6,64$ кг.

Таблица 3.1 - Баланс фосфора при плавке стали в ДСП-220 при условии непрерывной загрузки 100 т металлизованных окатышей

Задано, кг		Масса Р, кг	%	Получено, кг		Масса Р, кг	%
Лом	84700*0,036/100	30,49	21,35	Металл	(180000+30000)*0,0078/100	16,38	12,12
Корзина - 25,2 т МОК+ГБЖ	125200*0,061/100	76,37	53,47	Шлак	32792*0,330/100	108,21	80,10
Непрерывно -100 т МОК							
Чугун	5200*0,4/100	20,8	14,56	Пыль	5025*0,20/100	10,5	7,77
Кокс	4370*0,01/100	0,44	0,31				
Известь	11027*0,043/100	4,74	3,32				
Доломит	1000*0,1/100	1	0,70				
«Болото» предыдущей плавки	30000*0,0078/100	2,34	1,64				
От шлака предыдущей плавки	2460*0,27/100	6,64	4,65				
Итого		142,82	100	Итого		135,09	100
			Невязка		7,73 кг		

Таблица 3.2 - Баланс фосфора при плавке стали в ДСП-220 при условии непрерывной загрузки 90 т горячебрикетированного железа

Задано, кг		Масса Р, кг	%	Получено, кг		Масса Р, кг	%
Лом	112000*0,036/100	40,32	25,44	Металл	(178000+30000)*0,0165/100	34,32	23,63
Корзина – 34,9 т МОК+ГБЖ	124900*0,061/100	76,19	48,07	Шлак	49160*0,2044/100	100,48	69,21
Непрерывно -90 т ГБЖ							
Чугун	5500*0,4/100	22,0	13,88	Пыль	5200*0,20/100	10,40	7,16
Кокс	4540*0,01/100	0,45	0,29				
Известь	16160*0,043/100	6,95	4,38				
Доломит	1000*0,1/100	1	0,63				
«Болото» предыдущей плавки	30000*0,0165/100	4,95	3,12				
От шлака предыдущей плавки	2460*0,27/100	6,64	4,19				
Итого		158,50	100	Итого		145,2	100
				Невязка		13,27 кг	

Из таблиц 3.1 и 3.2 видно, что баланс между приходом и расходом фосфора выполняется с учетом некоторой невязки. Величина этой невязки была оценена для 178-ми плавок с непрерывной присадкой металлизованных окатышей и ГБЖ (50% на 50 %) и 5-ти плавок с непрерывной присадкой МОК. И в том, и в другом случае масса полученного фосфора была примерно на 5 % (5,4 % и 5,8% соответственно) меньше массы фосфора, поступившего с шихтовыми материалами. Эту системную недостачу фосфора в полученных металле, шлаке и пыли можно объяснить переходом некоторого количества фосфора в газовую фазу. О возможности такого явления упоминалось в литературе [89] применительно к производству ферросплавов, а также при присадке кокса на поверхность шлака в окислительный период плавки коррозионностойкой стали. То есть можно считать, что с относительной погрешностью ~ 5 % баланс по фосфору в системе «металл – шлак» соблюдается. Справедливость достаточно точного соблюдения баланса по фосфору иллюстрирует рисунок 3.5, на котором представлено соотношение между массой фосфора, вносимого ломом, металлизованным сырьём, чугуном, коксом, известью, доломитом, «болотом» предыдущей плавки, остатком шлака после выпуска и массой фосфора, содержащегося в металле, шлаке и пыли перед выпуском.

Из таблиц 3.1 и 3.2 следует, что основным источником фосфора в обоих случаях является первородное сырье (окатыши и ГБЖ). Оно вносит в шихту около 50 % фосфора, порядка 20...25 % фосфора вносит лом, 14...15 % приходит из чугуна, 8...10 % могут внести известь и доломит. Представление о том, что основным источником фосфора в шихте является металлизованное сырье, дает рисунок 3.6. Из рисунка 3.6 видно, что при доле металлизованного сырья более 35 % именно оно является основным источником фосфора. При дальнейшем увеличении доли губчатого железа в шихте количество фосфора, вносимого им, превалирует над массой фосфора, вносимого ломом.

Кроме того, из сравнительного анализа таблиц 3.1 и 3.2 следует, что при непрерывной присадке ГБЖ масса фосфора, остающегося в полупродукте, в этом случае составляет 34,32 кг, что примерно в два раза больше, чем при непрерывной загрузке металлизованных окатышей – 16,38 кг. Видно, что при использовании ГБЖ дефосфорация протекает менее полно, чем при использовании металлизованных окатышей.

Представляется, что рост доли губчатого железа в целом (и металлизованных окатышей, и ГБЖ) должен приводить к снижению степени дефосфорации η. Данную величину рассчитывали по формуле

$$\eta = \frac{m_{P,uuxm} - m_{P,Me}}{m_{P,uuxm}} \cdot 100\% \tag{3.7}$$

где $m_{P,uuxm}$ - масса фосфора, вносимого в печь с шихтовыми материалами: лом, металлизованное сырье, чугун, кокс, известь, доломит, «болото» и остаток шлака от предыдущей плавки;

 $m_{P,Me}$ - масса фосфора в полупродукте.

При расчете п было принято, что фосфор из всех шихтовых материалов сначала переходит в металлическую ванну, а затем происходит рафинирование ванны за счет шлака.

Из рисунка 3.7 видно, что действительно при увеличении доли металлизованного сырья степень удаления фосфора резко снижается. Более того, с повышением содержания губчатого железа в шихте падение величины п усиливается. Это говорит о том, что введение высокофосфористого сырья в шихту отрицательно влияет на дефосфорацию не только через увеличение начальной концентрации фосфора, но и за счет влияния на химизм процесса дефосфорации. Особенности этого влияния необходимо изучить более детально, в частности, проанализировать изменение массы шлака, его основности, окисленности и температуры. Отметим, что из рисунка 3.7 видно также, что степень удаления фосфора при непрерывной загрузке металлизованных окатышей и использовании в шихте горячебрикетированного железа и его смеси с окатышами существенно различается. При использовании окатышей дефосфорация протекает гораздо полнее. Например, для 50 % металлизованного сырья в шихте при использовании в составе шихты ГБЖ и смеси ГБЖ с окатышами степень удаления фосфора составляет ~ 83 %; при непрерывной загрузке окатышей – 93 %. Обращает на себя внимание то обстоятельство, что поведение фосфора (степень дефосфорации) при загрузке ГБЖ и смеси ГБЖ с МОК практически идентична. Этот эффект является интересным и требует отдельного анализа.

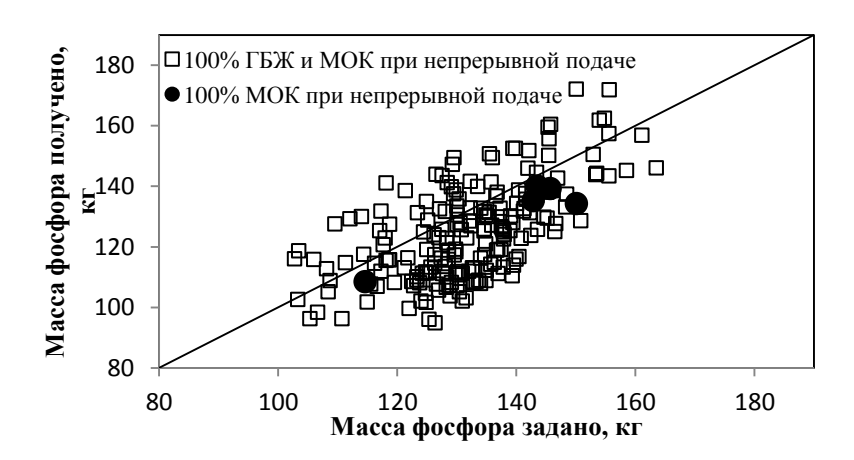


Рисунок 3.5 — Соотношение между массой фосфора, вносимого с ломом, металлизованным сырьём, чугуном, коксом, известью, доломитом, «болотом» предыдущей плавки, и остатком шлака после выпуска и массой фосфора, содержащегося в металле, шлаке и пыли перед выпуском.

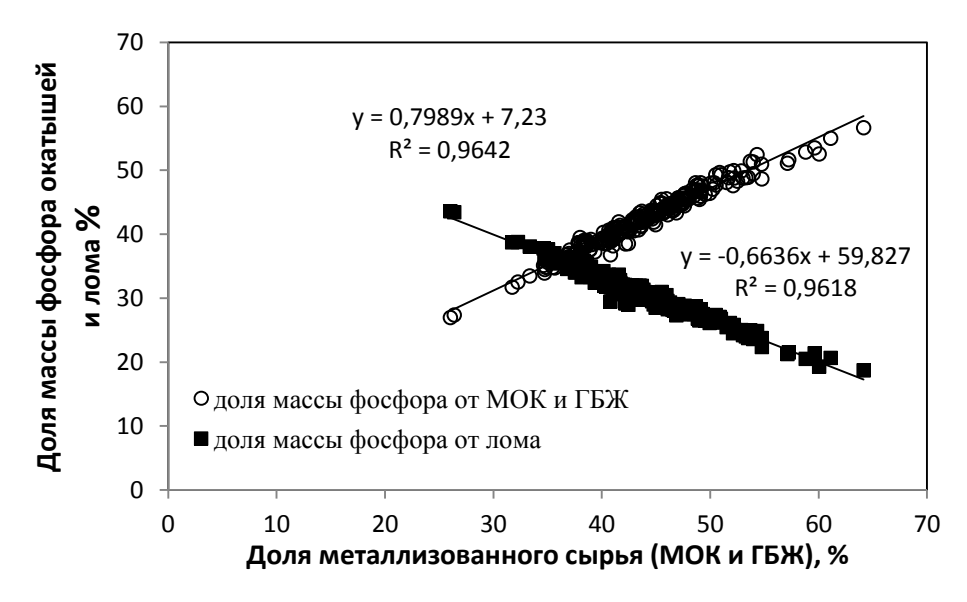


Рисунок 3.6 – Зависимость доли массы фосфора, вносимого металлизованным сырьем (МОК и ГБЖ) и ломом от доли металлизованного сырья в шихте

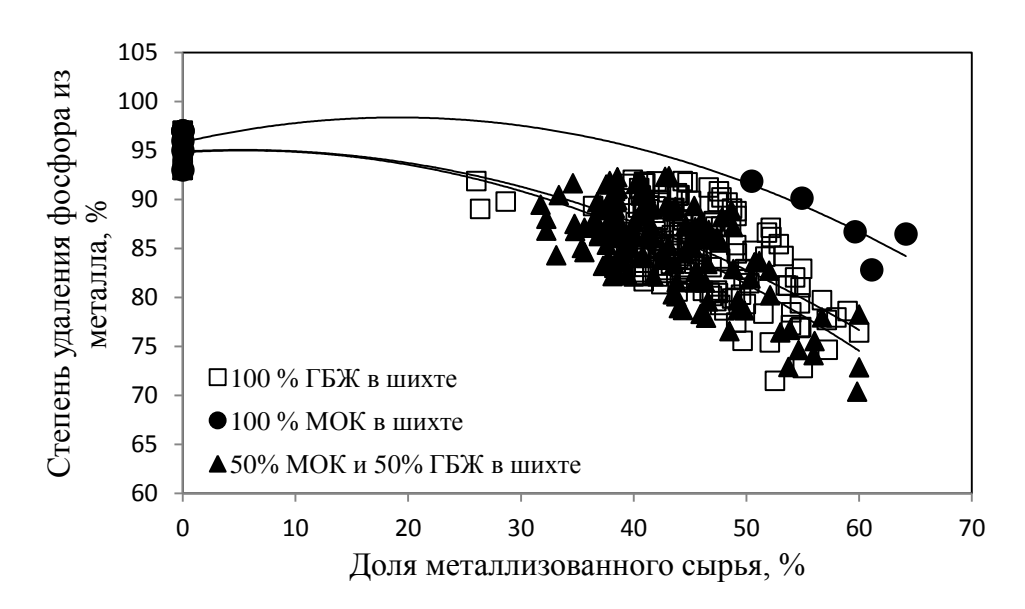


Рисунок 3.7 – Зависимость степени удаления фосфора из металла от доли металлизованного сырья в шихте

3.2 Анализ процесса дефосфорации с использованием методов термодинамики

Обычно окисление фосфора и перевод его в шлак в виде оксидов описывают реакцией [63, 58 и др.]:

$$[P] + 2,5(FeO) = (PO_{2.5}) + 2,5 Fe$$
 $\Delta G^0 = -21442 + 26,52 \cdot T$ Дж/моль (3.8)

Конечную концентрацию фосфора при рафинировании металла окислительным шлаком, содержащим FeO, можно найти, записав систему уравнений:

$$\begin{cases} m_{Me}[P]_{H} + m_{uu}(P)_{H} = m_{Me}[P]_{K} + m_{uu}(P)_{K} \\ L_{\phi} = \frac{(P)_{K}}{[P]_{K}} \end{cases}$$

Первое уравнение отражает рассмотренный выше принцип баланса фосфора в системе «металл-шлак» (3.8). Второе уравнение — это выражение для L_{φ} - фактического коэффициента распределения фосфора между металлом и шлаком. Индексы «н» и «к» соответствуют начальным и конечным состояниям металла и шлака. Массы металла и шлака, так же как и ранее, принимаются постоянными. Решение данной системы уравнений позволяет получить выражение для конечной концентрации фосфора в полупродукте:

$$[P]_{\kappa} = \frac{[P]_{\kappa} + \lambda \cdot (P)_{\kappa}}{1 + \lambda \cdot L_{\phi}}$$
(3.9)

где
$$\lambda = \frac{m_{\scriptscriptstyle U\!M}}{m_{\scriptscriptstyle M\!e}}$$
 - кратность шлака.

Из выражения (3.9) видно, что конечная концентрация фосфора в полупродукте напрямую зависит от содержания фосфора в шихте [Р]н и шлакообразующих (Р)н: чем больше [Р]н и (Р)н, тем выше [Р]к, тем менее эффективно протекает дефосфорация. Как было показано выше, содержание фосфора в шихте растет с увеличением доли металлизованного сырья. Достаточно наглядно это показано на рисунке 3.8, где представлена зависимость массы фосфора, поступающего в шихту отдельно с ломом, металлизованным сырьем и в целом от этих источников. Из рисунка 3.8 видно, что когда доля металлизованного сырья в шихте превышает 35 %, общая масса фосфора начинает существенно возрастать.

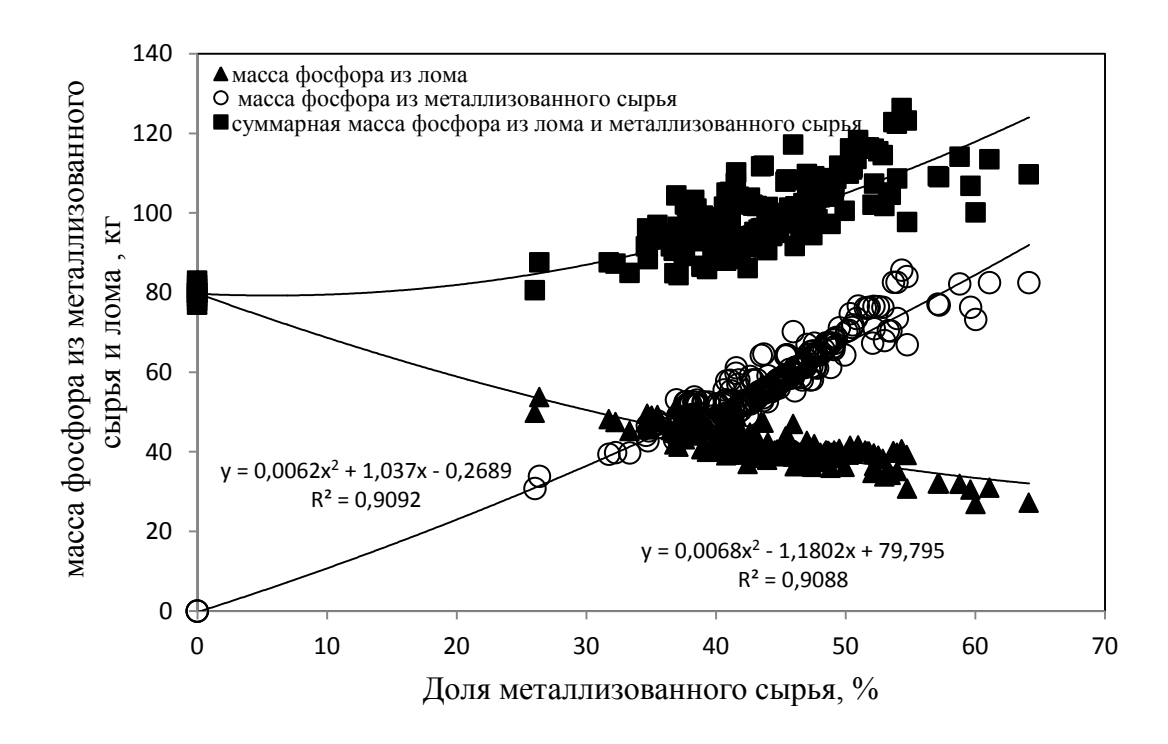


Рисунок 3.8 – Зависимость массы фосфора, поступающего в шихту отдельно с ломом, металлизованным сырьем (металлизованные окатыши и ГБЖ) и в целом от этих источников

Следует отметить, что одновременно с ростом массы фосфора в шихте должна измениться кратность шлака, расход извести и фактический коэффициент распределения фосфора Lф. Соответствующие зависимости представлены на рисунках 3.9, 3.10, 3.11. Для сравнения на всех графиках (рисунки 3.9, 3.10, 3.11) нанесены точки, относящиеся к плавке стали в ДСП без использования железа прямого восстановления (в шихте 100 % лома). Отметим, что масса шлака была рассчитана по формуле (3.4).

На рисунке 3.9 представлена зависимость кратности шлака λ от доли металлизованного сырья в шихте. Из рисунка 3.9 видно, что с увеличением доли окатышей и ГБЖ кратность шлака вначале практически не меняется, а затем, начиная с 35 %, стремительно возрастает до 22% при 60 % металлизованного сырья. Это связано с тем, что до 35 % губчатого железа в шихте массу фосфора и, в значительной степени, процесс дефосфорации определяет содержание фосфора в ломе.

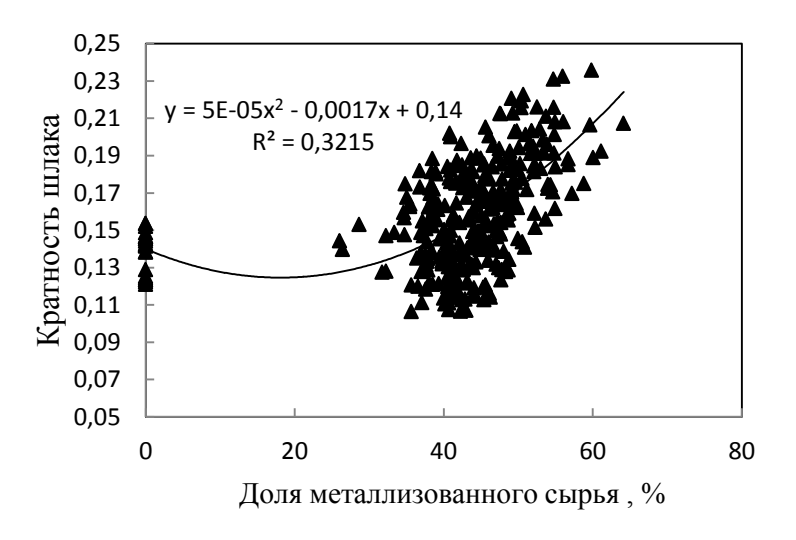


Рисунок 3.9 – Зависимость кратности шлака от доли металлизованного сырья в шихте

При повышенном содержании высокофосфористого губчатого железа в шихте значительно возрастает концентрация фосфора в металле, что должно вызывать рост расхода извести для ошлаковывания P_2O_5 . Это наглядно представлено на рисунке 3.10. Видно, что при плавке стали с использование только лома в шихте удельный расход извести составляет порядка 50 кг/т, а при замене лома в шихте на 60 % металлизованным сырьем расход извести увеличится и составит порядка 80 кг/т. Увеличение массы присаживаемой извести должно улучшать дефосфорацию. Однако, как следует из рисунка 3.11 этого не происходит. Это противоречие можно разрешить с помощью анализа зависимости отношения фактического L_{ϕ} и равновесного L_{ϕ} коэффициентов распределения фосфора от доли металлизованного сырья в шихте (рисунок 3.12).

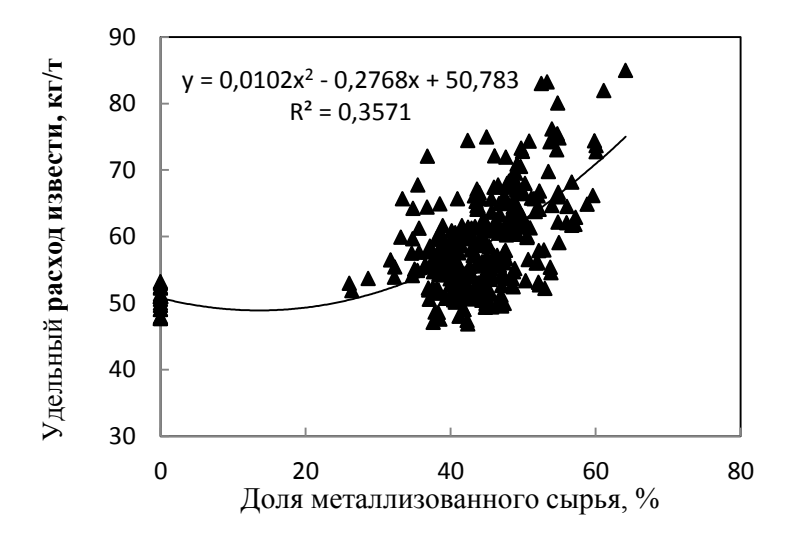


Рисунок 3.10 – Зависимость удельного расхода извести от доли металлизованного сырья в шихте

Из рисунка 3.11 видно, что величина L_{φ} значительно уменьшается при увеличении доли железа прямого восстановления. Видно, что при повышении количества первородной составляющей в шихте от 23 до 67 % величина L_{φ} снижается от 50...75 до 10, то есть примерно в пять раз. Отметим, что при плавке стали на шихте из 100% лома коэффициент распределения фосфора между металлом и шлаком составляет порядка 100. Также из рисунка 3.11 видно, что коэффициент распределения фосфора при непрерывной подаче металлизованных окатышей выше, чем при использовании ГБЖ (загрузка в составе корзин и непрерывно). В данном случае резкое снижение L_{φ} при использовании металлизованного сырья превалирует над положительным влиянием увеличения расхода извести и кратности шлака на дефосфорацию. Причина подобного поведения фактически наблюдаемого коэффициента распределения фосфора не ясна. Некоторую определенность должен внести анализ зависимости отношения фактического коэффициента распределения фосфора L_{φ} к равновесному L_{p} , то есть величины α_{p} можно понимать, как степень достижения равновесия реакции дефосфорации, которая указывает на относительную эффективность удаления фосфора.

Равновесное значение коэффициента распределения фосфора L_p рассчитывали, используя методику [55], основанную на оценке активности оксидов фосфора в шлаке по теории регулярных ионных растворов В.А.Кожеурова [58]. Согласно методике [55] реакцию окисления фосфора записывают в форме [P] + 2,5(FeO) = (PO_{2.5}) + 2,5 Fe, константа равновесия которой имеет вид

$$\lg K = \lg \frac{x_{PO_{2.5}} \cdot \gamma_{PO_{2.5}}}{x_{FeO}^{2.5} \cdot \gamma_{FeO}^{2.5} \cdot [P] \cdot f_P} = \frac{1120}{T} - 1,385,$$
(3.10)

где $x_{PO_{2.5}}, x_{FeO}, \gamma_{PO_{2.5}}, \gamma_{FeO}$ — мольные доли и коэффициенты активности соответствующих оксидов в шлаке;

[P], f_p - концентрация и коэффициент активности фосфора в металле;

Выразим $x_{PO_{25}}$ через концентрацию фосфора в шлаке (% P):

$$x_{PO_{2.5}} = \frac{(\% P)}{31 \cdot \Sigma n},\tag{3.11}$$

где 31- атомная масса фосфора, Σп- сумма молей компонентов шлака в 100г.

Подставим $x_{PO_{2.5}}$ в выражение константы равновесия. После преобразований получим формулу для равновесного коэффициента распределения фосфора

$$L_{P} = \frac{(\%P)}{[\%P]} = \frac{31 \cdot K \cdot f_{P} \cdot x_{FeO}^{2.5} \cdot \gamma_{FeO}^{2.5} \cdot \Sigma n}{\gamma_{PO}}$$
(3.12)

Значения γ_{FeO} и $\gamma_{PO_{75}}$ вычисляли по теории регулярных ионных растворов [58].

$$\lg \gamma_{FeO} \approx \lg \gamma_{Fe} = \frac{1000}{T} [2,18x_{Mn}x_{Si} + 5,9(x_{Ca} + x_{Mg})x_{Si} + 10,5x_{Ca}x_{P}]$$
(3.13)

$$\lg \gamma_{PO_{2.5}} \approx \lg \gamma_{(P)} = \lg \gamma_{Fe} - \frac{10500}{T} x_{Ca},$$
 (3.14)

где x_{Fe} , x_{Ca} , x_{Mn} , x_{Mg} , x_{Si} , x_P -ионные доли соответствующих катионов в шлаке.

На рисунке 3.12 представлена зависимость α_p от доли металлизованного сырья в шихте. Видно, что относительная эффективность дефосфорации также резко падает с увеличением доли металлизованного сырья: от $\alpha_p \approx 1$ при использовании в завалке только лома до $\alpha_p = 0,1...0,4$ при 50...60% металлизованных окатышей и ГБЖ в шихте. То есть процесс дефосфорации при применении металлизованного сырья, содержащего порядка 1,5 % углерода, явно далёк от равновесия, определяемого, в частности, формулой (3.12). И поэтому дефосфорация при плавке металлизованного сырья протекает менее эффективно, чем в ходе плавке лома.

Содержательный анализ процессов, протекающих при дефосфорации, показывает, что здесь одновременно наблюдаются следующие реакции. Переход кислорода из шлака в металл, взаимодействие этого кислорода с углеродом и фосфором, переход образующихся оксидов СО и P_2O_5 в газовую и шлаковую фазу, соответственно. При этом следует отметить, что при плавке лома и металлизованных окатышей должны наблюдаться разнонаправленные потоки кислорода и углерода в системе «металл – шлак».

Когда плавят лом, поток кислорода идет от газовой фазы через шлак к металлу. Поток углерода направлен навстречу. Очевидно, что на границе раздела «металл – шлак» будут наблюдаться пониженные концентрации углерода и, соответственно, повышенные концентрации кислорода. Повышенное содержание кислорода должно привести к тому, что реакция окисления фосфора будет смещена вправо, в сторону образования продуктов реакции – (P_2O_5) .

Противоположная ситуация наблюдается при непрерывной подаче металлизованных окатышей и ГБЖ на шлак. В этом случае углерод, оставшийся после восстановления оксидов железа в окатыше (ГБЖ), постоянно раскисляет металл на границе со шлаком и, очевидно, снижает концентрацию FeO в пограничном слое шлака. Ясно, что здесь потоки кислорода и углерода к границе шлака с металлом направленны параллельно, сверху вниз. Пониженное содержание кислорода в металле в этом случае не обеспечивает должного смещения равновесия реакции дефосфорации в сторону (P_2O_5). Именно поэтому дефосфорация металла при

непрерывной загрузке металлизованного сырья должна протекать менее полно, нежели при плавке лома. Отметим, что при загрузке окатышей в составе корзин в ходе расплавления также может происходить всплытие окатышей из металлической ванны на границу «металл – шлак». То есть, и при порционной загрузке окатышей и ГБЖ может наблюдаться раскисление металла на границе со шлаком и, соответственно, ухудшение условий дефосфорации.

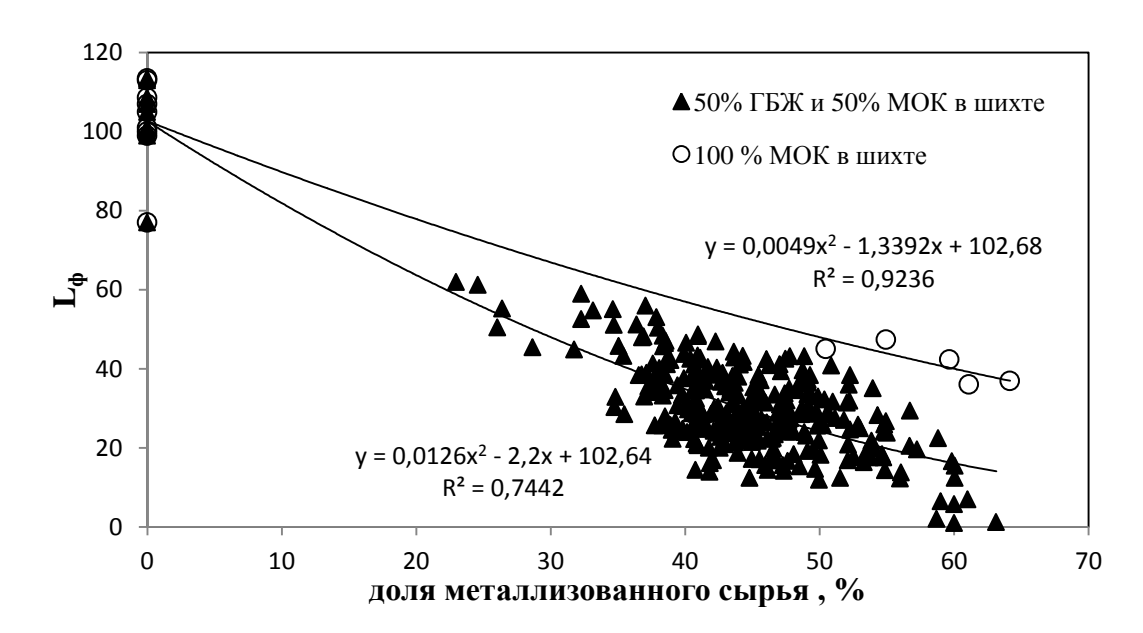


Рисунок 3.11 – Зависимость фактического коэффициента распределения фосфора от доли металлизованных окатышей и ГБЖ в шихте (загрузка корзинами + непрерывная загрузка)

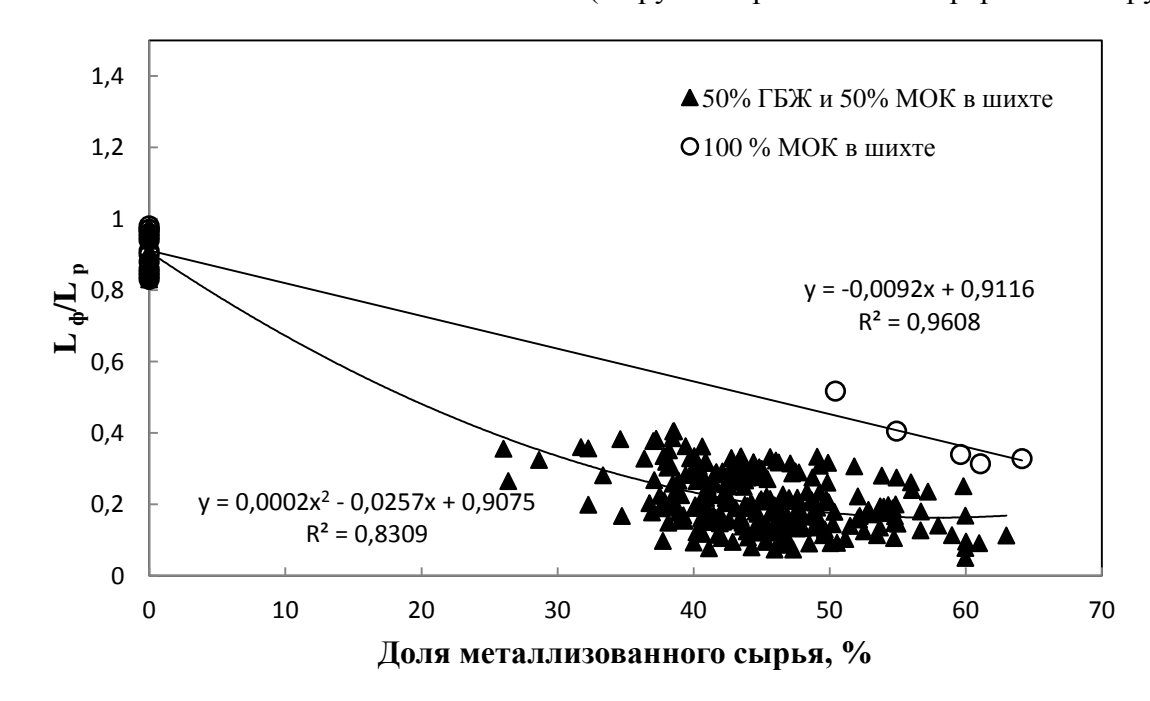


Рисунок 3.12 – Зависимость относительной эффективности процесса дефосфорации Lф/Lp от доли металлизованного сырья в шихте (МОК и ГБЖ)

Процесс значительного недостижения равновесия зафиксирован, однако, его причины остаются неясными. Для того, чтобы понять эти причины, необходим более глубокий анализ процесса.

В рамках, изложенных выше проблем становится ясно, что одним из главных факторов управления процессом дефосфорации является контроль коэффициента распределения между металлом и шлаком. Поэтому целесообразно оценить зависимость фактического L_{φ} и равновесного L_{p} коэффициентов распределения от содержания оксидов железа в шлаке, основности шлака, содержания в нем оксидов магния и температуры. Эти параметры выбраны в связи с тем, что именно эти факторы обычно оказывают наибольшее влияние на процесс дефосфорации [65]. Кроме того, могут влиять масса непрерывно загружаемого металлизованного сырья и скорость его загрузки в ДСП.

На рисунке 3.13 представлены данные, отражающие зависимость фактического Lф и равновесного Lр коэффициентов распределения фосфора от содержания оксидов железа в шлаке перед выпуском полупродукта из печи. В данном случае ограничений по основности не устанавливали, и сюда попали плавки с основностью шлаков $B = CaO/SiO_2$ от 1,8 до 3,7 и температурой от 1620 до 1675°C.

Из рисунков 3.13,a и 3.13, δ видно, что оптимальное содержание FeO в шлаке должно составлять 30%. Именно при этой концентрации FeO наблюдается максимальное значение коэффициента распределения фосфора между металлом и шлаком. Это относится к фактически наблюдаемым и равновесным данным. Сравнение рисунков 3.13,a и 3.13, δ показывает, что фактические значения коэффициента распределения фосфора Lф сильно отличаются от равновесных значений Lp.

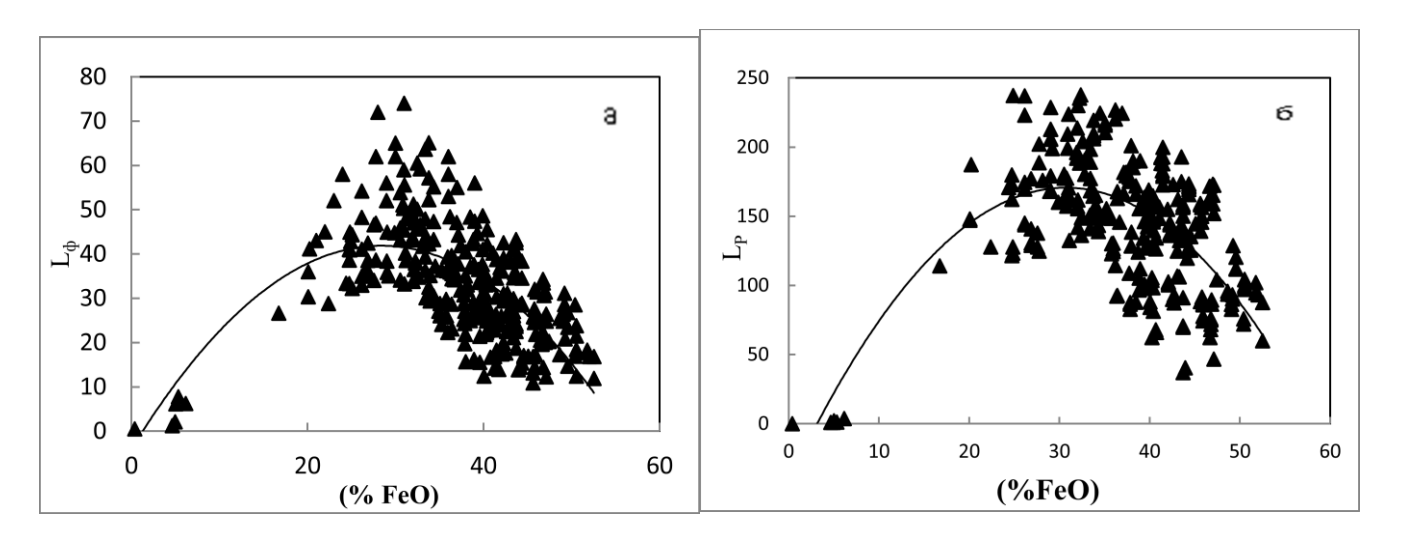


Рисунок 3.13 — Фактический (a) и равновесный (б) коэффициенты распределения фосфора между металлом и шлаком в зависимости от содержания оксида железа в шлаке

Из рисунка 3.14 видно, что при повышенной концентрации оксидов железа в шлаке (40...45%) основность слабо влияет на величину фактического коэффициента распределения фосфора, то есть присаживаемая в этом случае известь расходуется неэффективно. В то же время при умеренном содержании FeO в шлаке (25...30~%) наблюдается значительное влияние основности на величину L_{φ} , которая достигает максимальных значений $L_{\varphi} = 50...75$ при основности $B = CaO/SiO_2 \approx 2,5...3,0$.

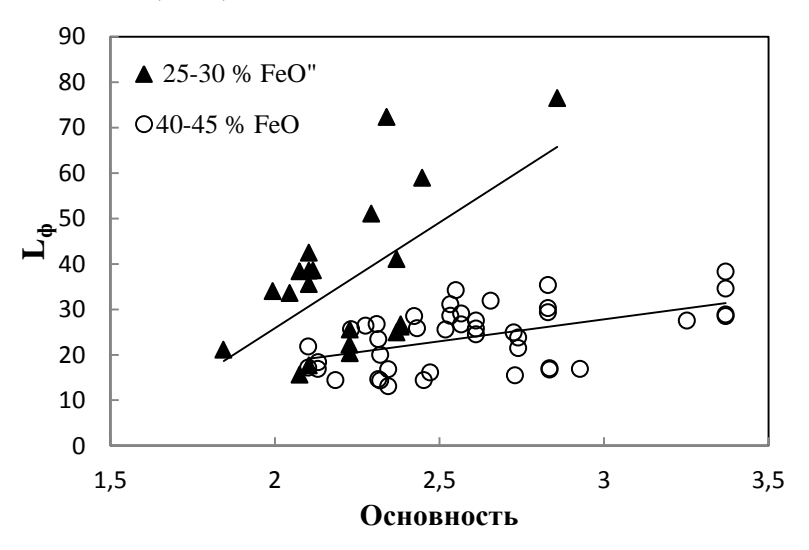


Рисунок 3.14 — Фактический коэффициент распределения фосфора в зависимости от основности шлака при различном содержании FeO в шлаке

На рисунке 3.15 представлена зависимость фактического коэффициента распределения фосфора L_{φ} от содержания оксида магния в шлаке. Видно, что с ростом концентрации MgO в шлаке значительно снижается величина L_{φ} : при 4 % MgO L_{φ} = 40...60, а при 10 % L_{φ} = 10...20. Ясно, что для более полной дефосфорации при плавке металлизованного сырья целесообразно иметь минимальное содержание MgO шлаке-порядка 4%. В то же время необходимо заботиться о стойкости футеровки ДСП, которая обычно падает при снижении содержания MgO в шлаке.

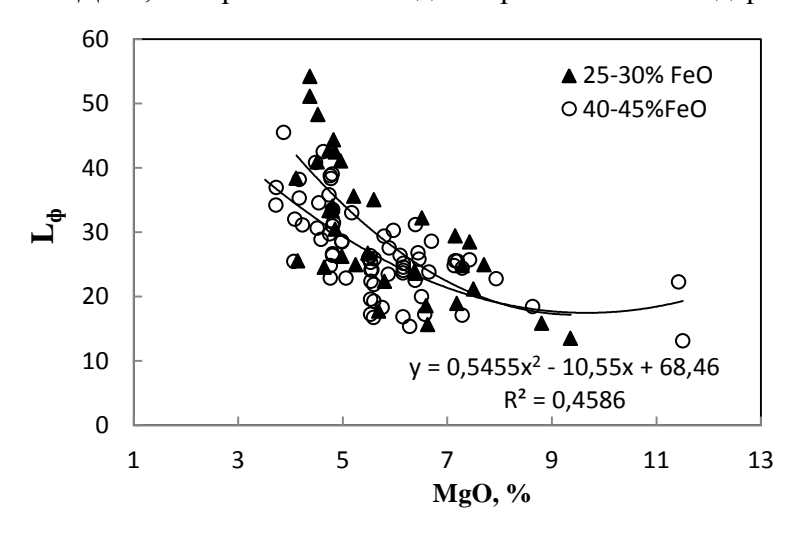


Рисунок 3.15 — Фактический коэффициент распределения фосфора в зависимости от содержания оксида магния в шлаке при различном содержании FeO в шлаке

На рисунке 3.16 дано сравнение экспериментально полученных коэффициентов распределения фосфора L_{φ} с расчетными L_p , которые определены по формуле (3.12) для каждой плавки и отображены на рисунке отдельно соответствующими точками. Из рисунка 3.16 видно, что качественно оба графика (L_{φ} и L_p) аналогичны. При этом L_{φ} примерно в 3...4 раза меньше, чем равновесная величина. Причину этого отличия необходимо исследовать более подробно.

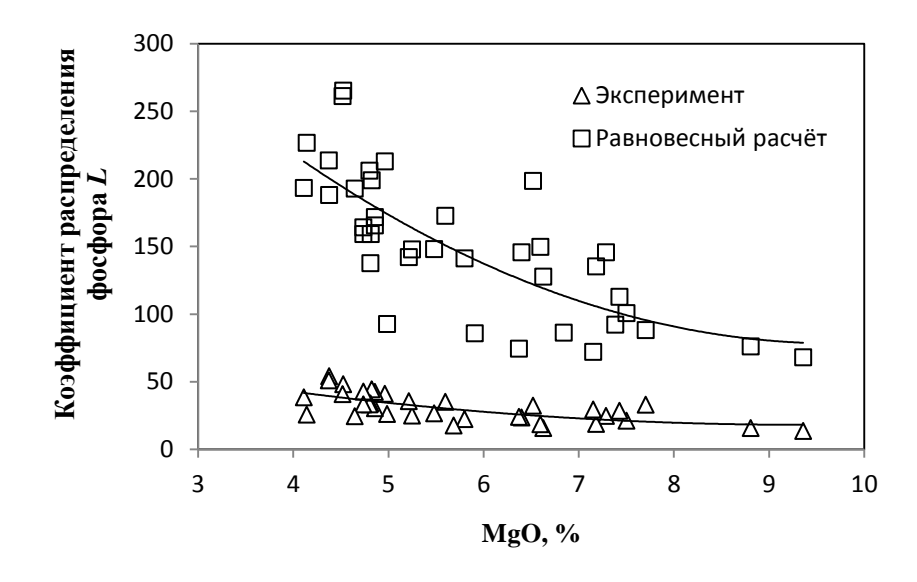


Рисунок 3.16 – Зависимость фактического и равновесного коэффициентов распределения фосфора между металлом и шлаком от содержания MgO в шлаке при 25...30 % (FeO)

На рисунке 3.17 представлена зависимость концентрации MgO в шлаке от температуры и содержания FeO. Видно, что связи (% MgO) с температурой и (% FeO) нет.

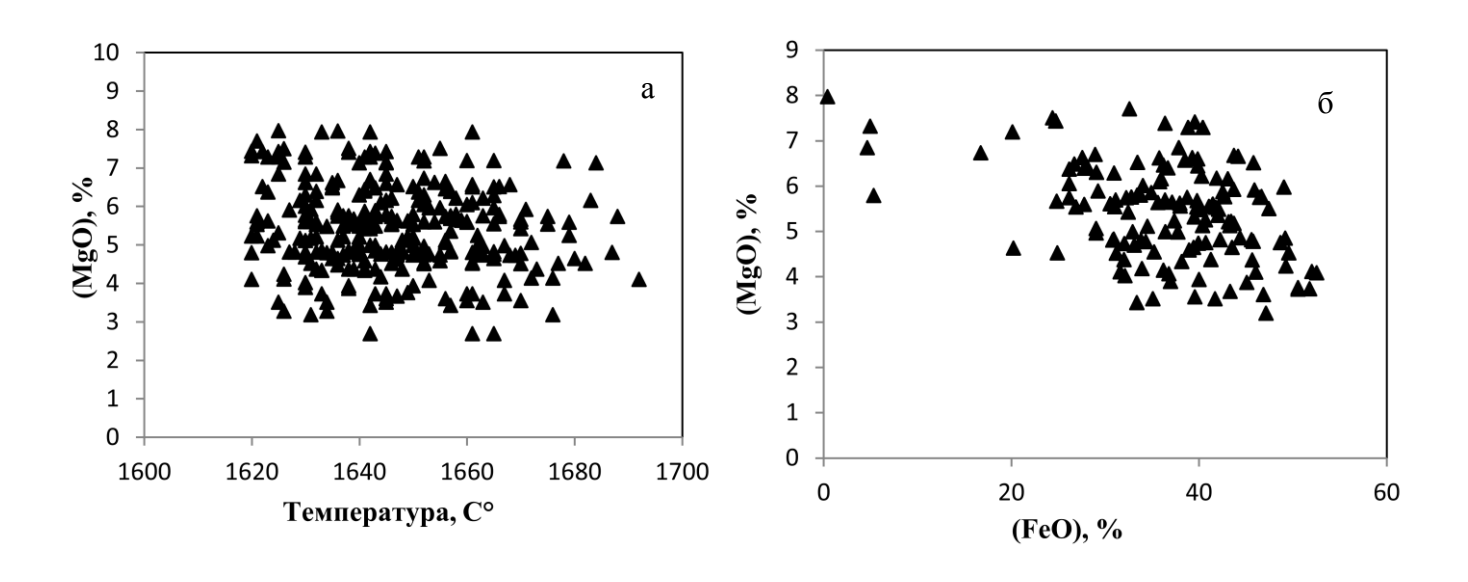


Рисунок 3.17 – Зависимость концентрации MgO в шлаке от температуры (a) и содержания оксидов железа (б)

Из рисунка 3.18 видно, что фактический коэффициент распределения фосфора L_{φ} сильно зависит от температуры. При 1625 °C $L_{\varphi}=60...75$, с повышением температуры до 1660 °C величина L_{φ} снижается до 10...20 и далее уже мало изменяется с ростом температуры. То есть для обеспечения максимальной дефосфорации необходимо иметь минимально возможную температуру, при которой обеспечивается, тем не менее, достаточная скорость плавления металлизованного сырья и минимум затрат, связанных с дальнейшей внепечной обработкой полупродукта. В данном случае можно рекомендовать иметь температуру перед выпуском в интервале 1625...1635 °C.

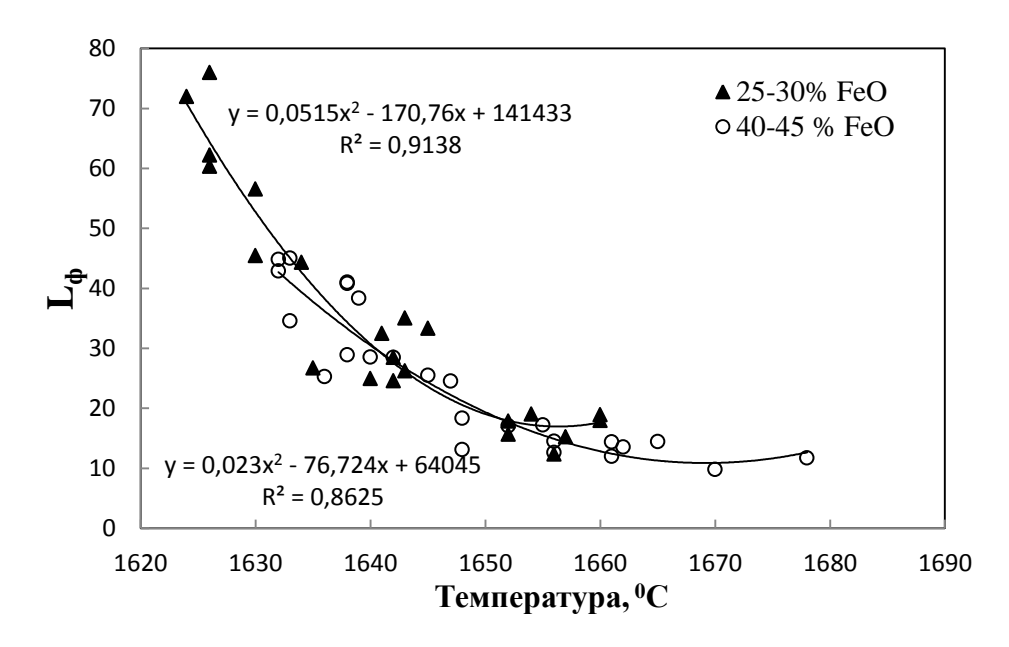


Рисунок 3.18 – Фактический коэффициент распределения фосфора в зависимости от температуры при различном содержании FeO в шлаке

Как было указано выше, анализу подвергались все плавки (183). При этом на процесс дефосфорации одновременно влияют и окисленность, и основность шлака, и температура. Проведенный термодинамический анализ учитывал взаимосвязь этих факторов. Как видно из приведенных рисунков фактические данные достаточно четко коррелируют с результатами термодинамических расчетов. Поэтому выработанные рекомендации являются обоснованными и могут быть использованы для совершенствования технологии плавки металлизованных окатышей и ГБЖ и получения заданных концентраций фосфора.

В литературном обзоре изложена гипотеза о положительном влиянии непрерывной загрузки металлизованного сырья на полноту процесса дефосфорации [44], суть которой заключается в том, что оксиды фосфора, содержащиеся в МОК и ГБЖ, сразу переходят в шлак и, не успев перейти в металл, удаляются со шлаком из печи.

На рисунке 3.19 представлена зависимость коэффициента распределения фосфора L_{ϕ} от массы металлизованного сырья, загружаемого в печь непрерывно. Из рисунков 3.19 и 4.6 видно, что гипотеза о положительном влиянии непрерывной загрузки металлизованного сырья на полноту процесса дефосфорации не подтверждается. Напротив, с повышением массы непрерывно загруженных окатышей и ГБЖ с 10 до 100 т коэффициент распределения L_{ϕ} снижается с 37 до 20, то есть почти в два раза, а концентрация фосфора в полупродукте повышается с 0,004 до 0,015 %.

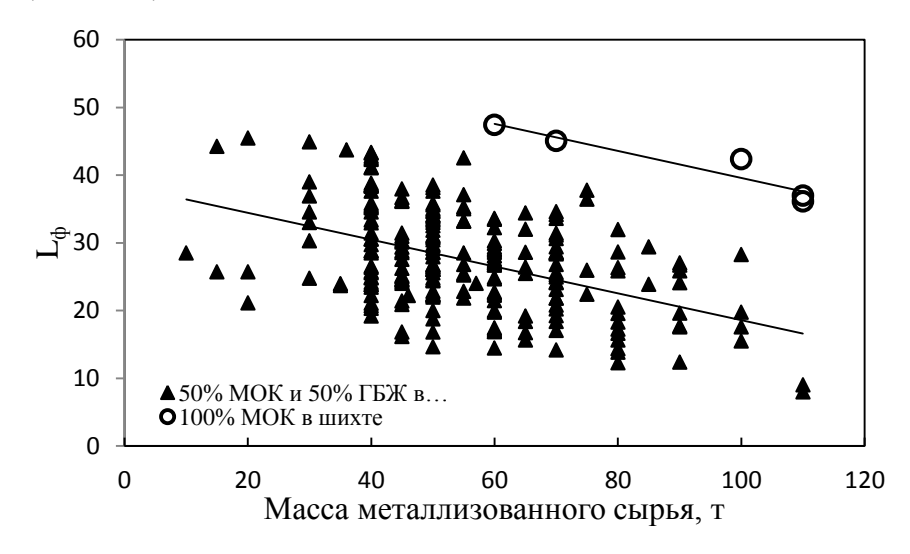


Рисунок 3.19— Фактический коэффициент распределения фосфора в зависимости от массы непрерывно загружаемого металлизованного сырья

Из рисунка 3.20 видно, что повышение скорости загрузки металлизованного сырья в печь также приводит не к повышению, а к снижению величина Lф. При повышении скорости загрузки с 1до 6-ти тонн в минуту Lф снижается с 35 до 15.

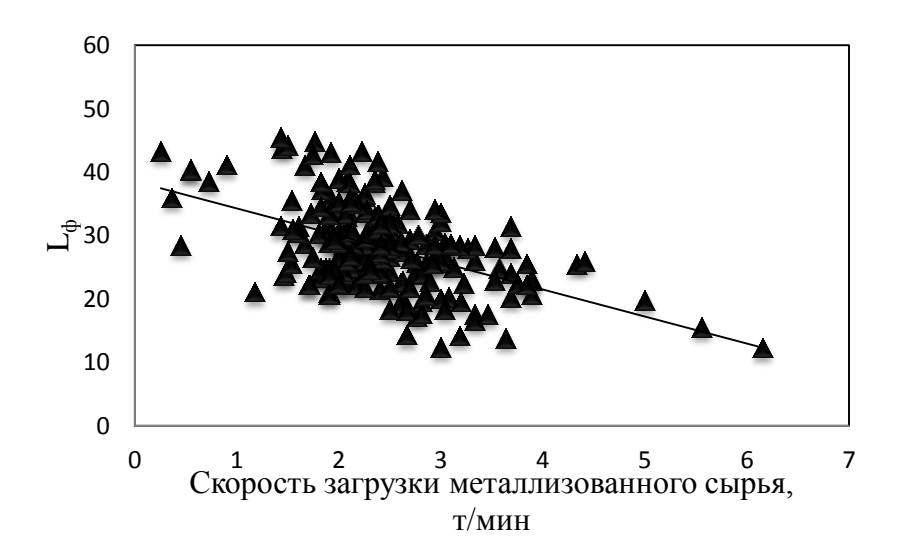


Рисунок 3.20 — Фактический коэффициент распределения фосфора в зависимости от скорости непрерывно загружаемого металлизованного сырья

3.3 Механизм удаления фосфора при плавке окатышей и ГБЖ

Из предыдущего анализа ясно, что обычно применяемое для описания процесса дефосфорации при плавке металлизованного сырья уравнение реакции (3.8), плохо описывает удаление фосфора, так как процесс дефосфорации далек от равновесия. Этот факт был уже отмечен в работе [12]. После установления этого факта исследователи обычно начинают изучать кинетику процесса с тем, чтобы выработать те или иные рекомендации для интенсификации дефосфорации в промышленных условиях. В то же время особенностям механизма протекания реакции при плавке губчатого железа в литературе внимания не уделяется [12, 66]. Однако вполне возможно, что в случае плавления металлизованного сырья механизм дефосфорации является более сложным, многостадийным, нежели при плавке лома в ДСП.

Содержательный анализ возможных стадий процесса дефосфорации позволяет предположить следующую картину.

1. Оксиды железа FeO, содержащиеся в шлаке, диссоциируют, и кислород поступает в металл, находящийся под шлаком [55].

(FeO) = Fe + [O]
$$\Delta G^0 = 121987 + 52,26 \cdot T$$
 Дж/моль; $\lg K = -\frac{6372}{T} + 2,73$ (3.15)

2. На второй стадии кислород, содержащийся в металле, взаимодействует с фосфором с образованием оксидов фосфора (P₂O₅) в шлаке.

[P] +2,5 [O] = (PO_{2,5})
$$\Delta G^0 = -326400 + 157,17 \cdot T$$
Дж/моль; $\lg K = \frac{17050}{T} - 8,21$ (3.16)

3. Параллельно с образованием оксидов фосфора идет выделение СО, и кислород металла в подшлаковом слое расходуется и на эту реакцию.

$$[C] + [O] = CO$$
 $\Delta G^0 = -22400 - 39,7 \cdot T$ Дж/моль; $\lg K = \frac{1168}{T} + 2,07$ (3.17)

В связи с тем, что эти реакции протекают одновременно, и условия их протекания при плавке лома и металлизованного сырья различны, может возникнуть достаточно сложная ситуация, при которой приведенные реакции в различной степени не достигают равновесия. Если учесть, что размеры окатышей и ГБЖ разные, что они отличаются степенью восстановления остаточных оксидов железа при переходе границы «металл — шлак», то эта неравномерность еще более возрастет.

Полнота реакции окисления фосфора [P] +2,5 [O] = $(PO_{2,5})$ при данном содержании фосфора определяется фактической концентрацией кислорода в металле. Чем меньше концентрация кислорода, тем менее полно протекает данная реакция. Уровень содержания кислорода в ванне зависит от полноты протекания питающей реакции (FeO) = Fe + [O] и

реакции окисления углерода. Для оценки соотношения этих процессов на рисунке 3.21 приведена зависимость фактических и равновесных концентраций кислорода от концентрации углерода при плавке металлизованного сырья и лома в ДСП в интервале температур 1626...1660°С. Представленные на рисунке данные получены на плавках, где доля металлизованного сырья составляла 44...60 %, то есть в среднем была равна примерно 50 %. Из рисунка видно, что равновесные со шлаком концентрации кислорода при плавке металлизованного сырья и лома находятся на одном уровне (0,13...0,16 %). В то же время, при одном и том же содержании углерода (например, 0,051 %) фактическое содержание кислорода в ванне при плавке лома составляет примерно 0,11 %, что существенно выше, чем при плавке губчатого железа (0,065 %). Из приведенных цифр становится очевидно, что при прочих равных условиях полнота процесса дефосфорации при плавке МОК и ГБЖ должна быть значительно ниже, чем при плавке лома.

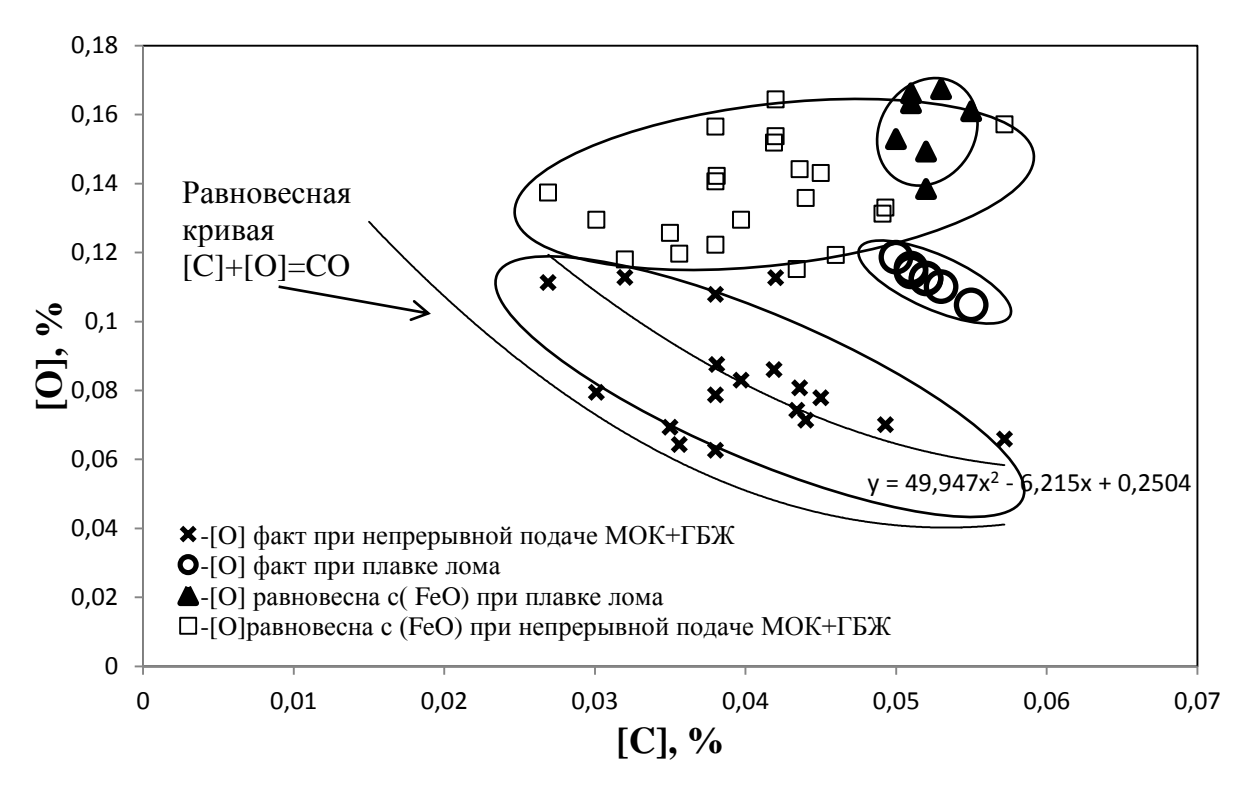


Рисунок 3.21 – Зависимость фактических и равновесных концентраций кислорода от концентрации углерода при плавке металлизованного сырья и лома в ДСП в интервале температур 1626...1660 °C

Запишем реакцию дефосфорации металла [P] +2,5 [O] = (PO_{2,5}). Выражение для константы равновесия этой реакции имеет вид:

$$K = \frac{x_{PO_{2,5}} \cdot \gamma_{PO_{2,5}}}{[P] \cdot f_P \cdot [O]^{2,5} \cdot f_O^{2,5}}$$
(3.18)

Выразим $x_{PO_{2,5}}$ через концентрацию фосфора в шлаке, атомную массу фосфора 31 и сумму молей оксидов (Σ n) в 100 г шлака: $x_{PO_{2,5}} = \frac{(P)}{31 \cdot \Sigma n}$ Тогда коэффициент распределения фосфора между металлом и шлаком L будет равен $L = \frac{(P)}{[P]} = K \cdot 31 \cdot \Sigma n \cdot f_P \cdot [O]^{2,5} \cdot f_O^{2,5} / \gamma_{PO_{2,5}}$.

Примем, что величины $K, \Sigma n, f_P, f_O, \gamma_{PO_{2.5}}$ не изменяются при переходе от плавки лома к плавке металлизованного сырья. Тогда отношение коэффициентов распределения при плавке губчатого железа $L_{\Gamma V\! K}$ и лома $L_{\text{лом}}$ будет равно $\frac{L_{\Gamma V\! K}}{L_{\text{лом}}} = \frac{[O]_{\Gamma V\! K}^{2.5}}{[O]_{\text{лом}}^{2.5}} = \left(\frac{0,065}{0,11}\right)^{2.5} = 0,27$.

Полученное расчетное соотношение $\frac{L_{MOK}}{L_{_{NOM}}} = 0,27$ отвечает фактическим экспериментальным данным, представленным на рисунке 3.12.

Для непрерывной загрузки смеси металлизованных окатышей и ГБЖ получено уравнение зависимости L_{ϕ} от доли губчатого железа в шихте (50 % МОК + 50 % ГБЖ):

$$L_{th} = 0.0126 \cdot c^2 - 2.2 \cdot c + 102.64 \tag{3.19}$$

где c – доля губчатого железа (50 % МОК + 50 % ГБЖ) при загрузке корзинами и непрерывной загрузке, %.

При доле металлизованного сырья 50 % в шихте $L_{\phi}=24$; расчетное равновесное значение $L_{\Gamma Y X}$, полученное из соотношения $\frac{L_{\Gamma Y X}}{L_{_{\!NOM}}}=0,27$, при $L_{_{\!NOM}}=102,6$ равно $L_{\Gamma Y X}=27,7$.

Видно, что фактический коэффициент распределения фосфора между металлом и шлаком L_{ϕ} достаточно близок к равновесному значению $L_{\Gamma Y X}$ при условии, что процесс дефосфорации описывается реакцией [P] +2,5 [O] = (PO_{2,5}) при одновременном использовании фактических концентраций кислорода в металле (то есть при неравновесности по кислороду между шлаком и металлом).

Отметим, что проведение расчетов по уравнению реакции дефосфорации (3.16) является достаточно сложным, потому что каждый раз неизвестна фактическая концентрация кислорода в металле. В принципе, такие оценочные расчеты можно выполнять, приняв, что степень достижения равновесия по кислороду между металлом и шлаком α_o является некоторой постоянной величиной. Величина α_o определяется по формуле:

$$\alpha_O = \frac{[O]_{\phi}}{[O]_{pagh,(FeO)}} \tag{3.20}$$

где $[O]_{\phi}$ - фактическая концентрация кислорода в металле;

 $[O]_{\it pagn,(FeO)}$ - концентрация кислорода в металле, равновесная с содержанием FeO в шлаке.

Величина $[O]_{pash,(FeO)}$ определяется из равновесия реакции (3.15).

Величина α_o в зависимости от концентрации в шлаке FeO представлена на рисунке 3.22. Из рисунка видно, что в первом приближении величина α_o может быть принята независящей от концентрации FeO в шлаке и равной ≈ 0.6 .

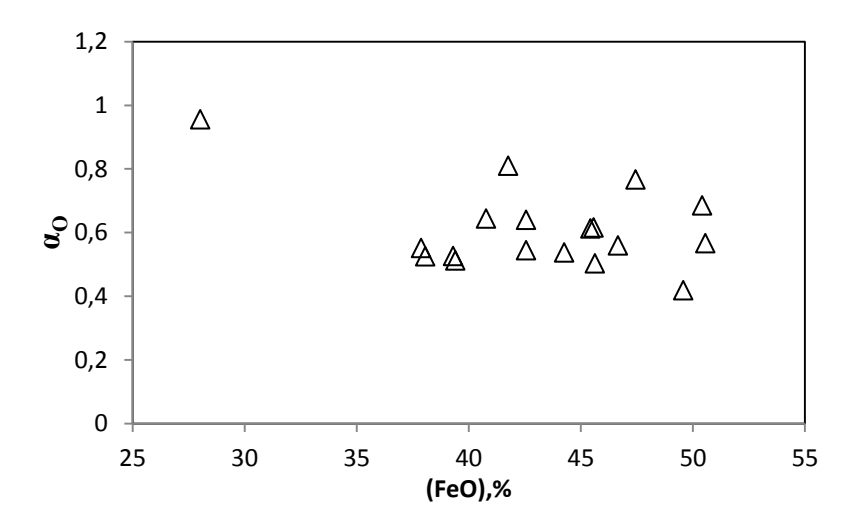


Рисунок 3.22 — Зависимость степени достижения равновесия по кислороду между металлом и шлаком от концентрации оксида железа в шлаке при плавке металлизованного сырья (50 % MOK + 50 % ГБЖ)

Как следует из данных, представленных на рисунке 3.21, при плавке лома величина α_o составляет 0,6...0,9; в среднем равна 0,75, что заметно выше, нежели в случае плавки металлизованного сырья (0,6). Именно поэтому полнота дефосфорации по реакции (P+O=PO_{2.5}) при плавке лома будет выше, чем при плавке губчатого железа.

Удаленность от равновесия реакции обезуглероживания (3.17) (рисунок 3.23) $\alpha_{\rm C}$ оценивали по выражению:

$$\alpha_C = \frac{[O]_{pagh,[C]}}{[O]_{\phi}},\tag{3.21}$$

где $[O]_{{\it pagh},[C]}$ - концентрация кислорода, равновесная с углеродом — реакция (3.17)

Зависимость α_{c} от концентрации углерода в металле представлена на рисунке 3.23

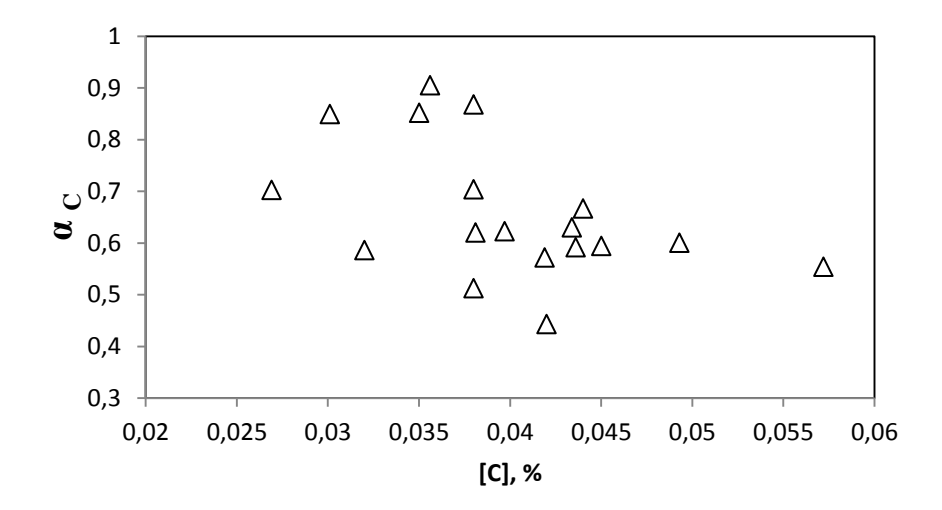


Рисунок 3.23 — Зависимость степени достижения равновесия реакции обезуглероживания (3.17) от концентрации углерода в металле при плавке металлизованного сырья (50 % MOK + 50 % ГБЖ)

Из рисунка 3.23 видно, что разброс значений α_C достаточно велик (от 0,45 до 0,90). С понижением концентрации углерода наблюдается тенденция к росту α_C и приближения ее к единице, то есть реакция обезуглероживания приближается к равновесию. При этом скорость обезуглероживания должна уменьшаться и, соответственно, должна снижаться интенсивность перемешивания металлической ванны.

То обстоятельство, что α_C в ходе плавки окатышей составляет величину порядка 0,5 - 0,6, показывает, что равновесие в системе «металл — шлак» отсутствует. Это означает, что углерод через растворенный кислород взаимодействует с компонентами шлаковой фазы, в частности, с FeO и, возможно, с оксидом фосфора P_2O_5 . Взаимодействие углерода с оксидом фосфора можно рассматривать как реакцию рефосфорации.

Независимость α_{o} от FeO и относительное ее постоянство можно объяснить стационарностью процесса обезуглероживания на границе «металл – шлак». Действительно, как упоминалось выше, эта граница может рассматриваться как некоторый реактор, в который одновременно, параллельно поступают практически постоянные потоки углерода от металлизованного сырья и кислорода, поступающего при продувке через фурмы. Такая схема взаимодействия должна привести к тому, что концентрация углерода в ванне в ходе непрерывной присадки губчатого железа будет постоянной и начнет снижаться в период рафинирования, когда прекращается подача железа прямого восстановления.

Процесс удаления фосфора, таким образом, можно представить состоящим из двух процессов: дефосфорации и рефосфорации. В тех зонах, где в данный момент не плавится окатыш (ГБЖ) или плавление его закончено, идет удаление фосфора по реакции (3.8). А в зонах, где происходит довосстановление окатыша и его плавление, может происходить рефосфорация за счет остаточного углерода и углерода, содержащегося в ванне по реакции (3.22)

$$(PO_{2,5}) + 2,5[C] = [P] + 2,5CO$$
 $\Delta G^0 = 270496 - 58,6 \cdot T$ Дж/моль (3.22)

Зависимость константы равновесия реакции рефосфорации $K_{pe\phi}$ (3.22) от температуры можно получить методом комбинирования реакций (3.16) и (3.17). Тогда логарифм $K_{pe\phi}$ равен

$$\ln K_{pe\phi} = -\frac{32535}{T} + 30,82 \tag{3.23}$$

Запишем выражение для $K_{pe\phi}$:

$$K_{pe\phi} = \frac{[P] \cdot f_P \cdot P_{CO}^{2,5}}{[C]^{2,5} \cdot f_C^{2,5} \cdot x_{PO_2,5} \cdot \gamma_{PO_2,5}}$$
(3.24)

Подставив в данное выражение величину $x_{PO_{2,5}} = \frac{(P)}{31 \cdot \Sigma n}$, после преобразований получим формулу для равновесного коэффициента распределения фосфора между металлом и шлаком в соответствии с реакцией рефосфорации:

$$L_{pe\phi} = \frac{(P)}{[P]} = \frac{31 \cdot f_P \cdot \Sigma n}{K_{pe\phi} \cdot [C]^{2,5} \cdot f_C^{2,5} \cdot \gamma_{PO_{5,5}}}$$
(3.25)

Дополнив полученное выражение для $L_{pe\phi}$ уравнением баланса массы по фосфору в системе «металл – шлак», получим следующую систему уравнений:

$$\begin{cases} m_{Me}[P]_{_{\!\mathit{H}}} + m_{_{\!\mathit{U\!U}^{\!\mathit{T}}}}(P)_{_{\!\mathit{H}}} = m_{Me}[P]_{_{\!\mathit{K}}} + m_{_{\!\mathit{U\!U}^{\!\mathit{T}}}}(P)_{_{\!\mathit{K}}}; \\ \\ L_{pe\phi} = \frac{(P)}{[P]}. \end{cases}$$

Решив данную систему уравнений, получим выражение для расчета концентрации фосфора в металле, равновесного со шлаком, при условии, что равновесие контролируется реакцией рефосфорации:

$$[P] = \frac{[P]_{\scriptscriptstyle H} + \lambda \cdot (P)_{\scriptscriptstyle H}}{1 + \lambda \cdot L_{\scriptscriptstyle pedp}}$$
(3.26)

Отметим, что несмотря на то, что реакции дефосфорации и рефосфорации не достигают равновесия (α_o и α_c не равны единице), предыдущие формулы для фактического коэффициента распределения L отвечают равновесному распределению фосфору, то есть случаю, когда $\alpha_o=1$, $\alpha_c=1$. Получим уравнения, которые отвечают ситуации неполного равновесия.

Из предыдущего анализа ясно, что непосредственно акт дефосфорации может быть описан уравнением, которое будем называть базовым.

$$[P] + 2.5 [O] = (PO_{2.5}).$$

Константа равновесия для базовой реакции описывается уравнением:

$$K_{\delta a3} = \frac{x_{PO_{2,5}} \cdot \gamma_{PO_{2,5}}}{[P] \cdot f_P \cdot [O]^{2,5} \cdot f_O^{2,5}}$$

C учетом $x_{PO_{2.5}} = \frac{(P)}{31 \cdot \Sigma n}$ выражение $K_{\delta a3}$ примет вид:

$$K_{\delta a3} = \frac{(P) \cdot \gamma_{PO_{2,5}}}{[P] \cdot 31 \cdot \sum n \cdot f_P \cdot [O]^{2,5} \cdot f_O^{2,5}},$$

Откуда равновесный коэффициент распределения фосфора между металлом и шлаком равен:

$$L_{p} = \frac{(P)}{[P]} = K_{\text{6a3}} \cdot \frac{31 \cdot \sum n \cdot f_{p} \cdot [O]^{2.5} \cdot f_{O}^{2.5}}{\gamma_{PO_{2.5}}}$$

Теперь выразим концентрацию кислорода в металле [O] в соответствии с той или иной реакцией, которая контролирует его содержание. Если [O] определяет реакция перехода кислорода из шлака в металл, то величину [O] можно вычислить из реакции FeO = Fe + [O]. Соответствующая константа равновесия имеет вид:

$$K_{FeO} = \frac{[O]_{FeO} \cdot f_O}{x_{FeO,p} \cdot \gamma_{FeO}},$$
 (3.27)

Откуда

$$[O]_{FeO,pash} = \frac{K_{FeO} \cdot x_{FeO,p} \cdot \gamma_{FeO}}{f_O}, \tag{3.28}$$

Учтем, что фактическая концентрация кислорода в ванне $[O]_{\varphi}$ меньше $[O]_{FeO,paвн}$ может

быть выражена через степень достижения равновесия α_o :

$$\alpha_O = \frac{[O]_{\phi}}{[O]_{pagh,(FeO)}},,\tag{3.29}$$

Откуда

$$[O]_{\phi} = \alpha_O \cdot [O]_{pagn, FeO} = \alpha_O \cdot \frac{K_{FeO} \cdot x_{FeO} \cdot \gamma_{FeO}}{f_O}$$
(3.30)

Подставим выражение для $[O]_{\phi}$ в уравнение $L=\frac{(P)}{[P]}$, полученное для базовой реакции. При индексации L учтем, что концентрация кислорода [O] определяется через K_{FeO}

$$L_{FeO} = K_{\delta as} \cdot \frac{31 \cdot \sum n \cdot f_P \cdot f_O^{2.5}}{\gamma_{PO_{2.5}}} \cdot \left(\alpha_O \cdot \frac{K_{FeO} \cdot x_{FeO} \cdot \gamma_{FeO}}{f_O} \right)^{2.5}$$
(3.31)

или

$$L_{FeO,\phi} = \alpha_O^{2,5} \cdot K_{FeO}^{2,5} \cdot K_{Ga3} \cdot \frac{31 \cdot \sum n \cdot f_P \cdot x_{FeO}^{2,5} \cdot \gamma_{FeO}^{2,5}}{\gamma_{PO,5}}$$
(3.32)

Если $[O]_{\phi}$ определяется реакцией обезуглероживания [C] + [O] = CO. Константа равновесия для этой реакции имеет вид:

$$K_{co} = \frac{P_{co}}{[C] \cdot f_C \cdot [O] \cdot f_O} \tag{3.33}$$

При $P_{CO} = P_{a_{TM}} = 1$ атм равновесная концентрация кислорода равна:

$$[O]_{C,pagh} = \frac{1}{K_{CO} \cdot [C] \cdot f_C \cdot f_O}$$

$$(3.34)$$

Фактическая концентрация кислорода в ванне может быть выражена через

равновесную [O]_{C,равн} и степень достижения равновесия $\alpha_{C} = \frac{[O]_{\textit{равн.}[C]}}{[O]_{\textit{--}}}$:

$$[O]_{\phi} = \frac{[O]_{pagh,[C]}}{\alpha_C} = \frac{1}{\alpha_C \cdot K_{CO} \cdot [C] \cdot f_C \cdot f_O}$$
(3.35)

Подставим полученное выражение для $[O]_{\varphi}$ в уравнение для $L_{\text{баз.}}$ Тогда

$$L_{C,\phi} = K_{\delta a3} \cdot \frac{31 \cdot \Sigma n \cdot f_P \cdot f_O^{2.5}}{\gamma_{PO_{2.5}}} \cdot \left(\frac{1}{\alpha_C \cdot K_{CO} \cdot [C] \cdot f_C \cdot f_O}\right)^{2.5}$$
(3.36)

То есть

$$L_{C,\phi} = \frac{1}{\alpha_C^{2,5}} \cdot \frac{K_{\delta as}}{K_{CO}^{2,5}} \cdot \frac{31 \cdot \Sigma n \cdot f_P}{\gamma_{PO_2,5} \cdot [C]^{2,5} \cdot f_C^{2,5}}$$
(3.37)

На рисунке 3.24 представлена зависимость фактического коэффициента распределения фосфора между металлом и шлаком по окончании периода рафинирования перед выпуском металла из печи от обратной температуры. Представив эту зависимость в форме $\ln\frac{(P)}{[P]} = \frac{A}{T} + B = \frac{-\Delta H^0/R}{T} + B = \left(\frac{-\Delta H^0}{R} \cdot \frac{1}{T}\right) + B = 32013 \cdot \frac{1}{T} + 13,67 ,$ получим экспериментальное эффективное значение энтальпии $\Delta H^0_{\text{экспер}} = -32013 \cdot 8,314 = -266156$ Дж/моль, описывающей переход фосфора из металла в шлак по схеме [P] = (P). В принципе этот переход может быть описан с использованием реакции перехода кислорода из шлака в металл (3.15) либо реакции обезуглероживания (3.17), устанавливающей уровень концентрации кислорода в металле. Соответственно, в первом случае общая реакция будет иметь вид [P] + 2,5(FeO) = (PO_{2,5}) + Fe. Во втором случае (PO_{2,5}) + 2,5[C] = [P] + 2,5CO, которую можно интерпретировать как реакцию

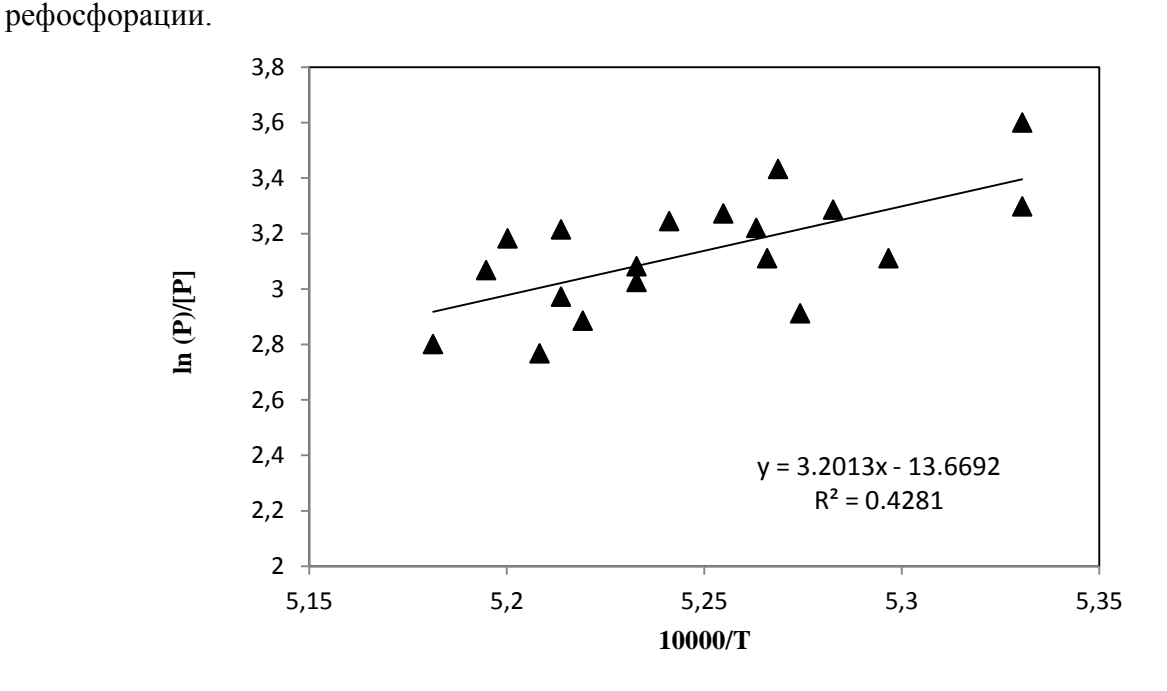


Рисунок 3.24 — Зависимость фактического коэффициента распределения фосфора между металлом и шлаком по окончании периода рафинирования перед выпуском металла из печи от обратной температуры

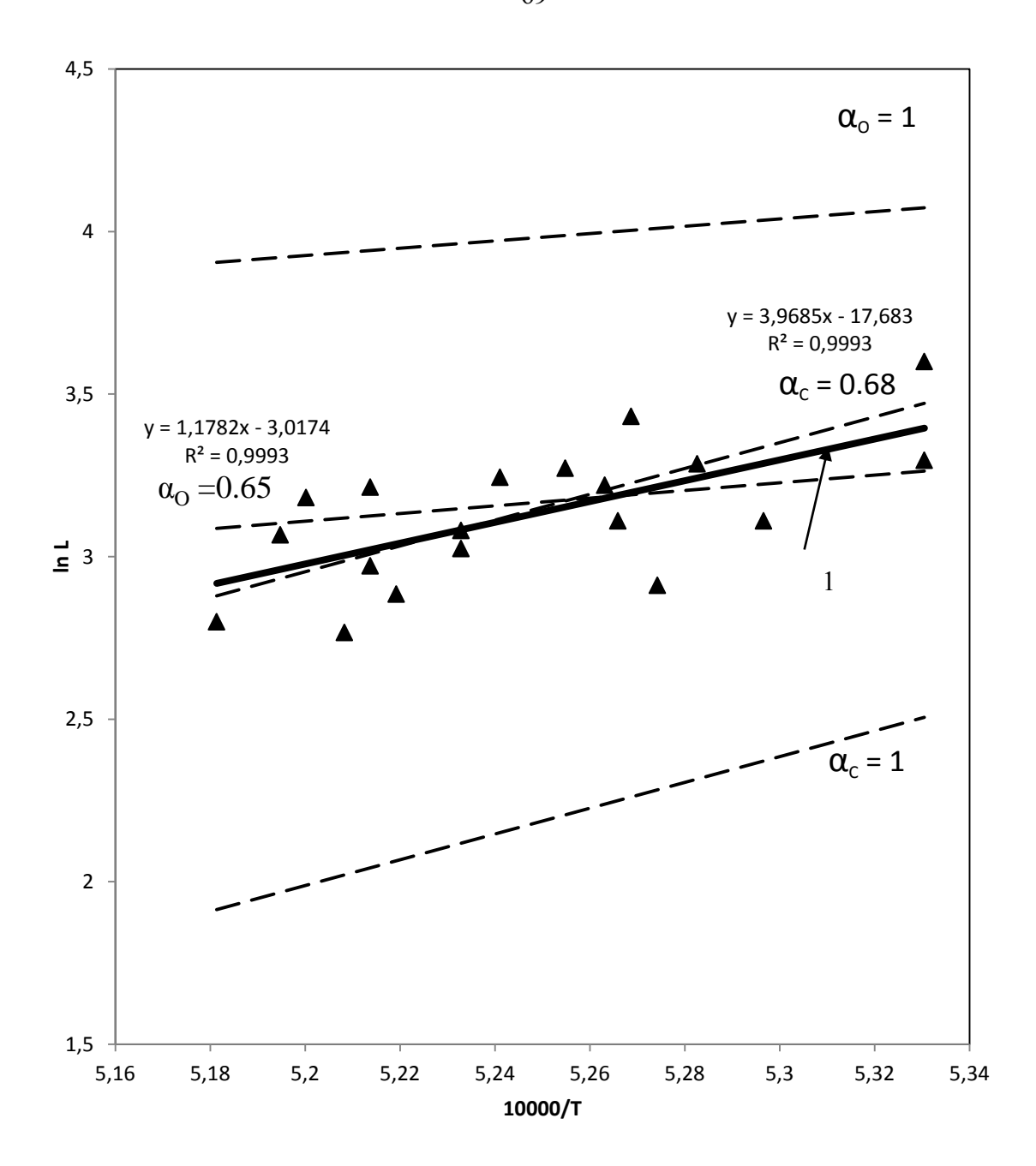


Рисунок 3.25 — Теоретическая зависимость коэффициента распределения L перед выпуском металла из печи от обратной температуры при различных значениях α_0 и α_c . Точки на графике — экспериментальные данные. 1 — линия регрессии, построенная по экспериментальным данным.

На рисунке 3.25 представлен анализ, целью которого было определение реакции, контролирующей процесс дефосфорации в целом. Из рисунка 3.25 видно, что когда процесс характеризуется достаточной поставкой кислорода из шлака (прямая $\alpha_0 = 1$), значения величины L получаются максимальными, значительно превышающими фактические (точки на графике). В том случае, когда концентрация кислорода определяется реакцией обезуглероживания величины L минимальны, они гораздо меньше фактических L. Из сравнения

экспериментальных данных и расчетных равновесных прямых следует, что реакцию [P] + $2,5(\text{FeO}) = (\text{PO}_{2,5})$ + Fe можно рассматривать как ведущую реакцию, обеспечивающую удаление фосфора, а реакцию $(\text{PO}_{2,5})$ + 2,5[C] = [P] + 2,5CO, как контролирующую процесс в целом, определяющую степень дефосфорации. Подтверждением этой схемы взаимодействий является то обстоятельство, что экспериментальная зависимость L от температуры определяется эффективной энтальпией $\Delta H_{\text{экспер}} = -266156$ Дж/моль (≈ 270 кДж/моль), а теоретическая зависимость L_{FeO} и L_{C} (формулы 3.32 и 3.37) от температуры отвечает следующим значениям энтальпии, соответственно $\Delta H_{\text{L,FeO}} = -98213$ Дж/моль(≈ -100 кДж) и $\Delta H_{\text{L,C}} = -330814$ Дж/моль (≈ 331 кДж).

Видно, что не только по уровню L, но и по ее температурной зависимости определяющей реакцией процесса дефосфорации металлической ванны при плавке металлизованного сырья является реакция ($(PO_{2,5}) + 2,5[C] = [P] + 2,5CO$), которую можно интерпретировать, как реакцию рефосфорации.

Указанные значения величин $\Delta H_{L,FeO}^0$ и $\Delta H_{L,C}^0$ получены в результате логарифмирования выражений для $L_{\rm FeO}$ и $L_{\rm C}$ (формулы 3.32, 3.37) и приведения к виду $\ln L = \frac{A}{T} + B$. Зная величину A, можно найти соответствующую энтальпию $\Delta H = -A \cdot R$. При этом коэффициенты активности f_P, f_C при температуре 1873 К рассчитаны с использованием параметров взаимодействия [55]; температурная экстраполяция осуществлена по теории регулярных растворов [55]. Величина коэффициента активности f_O рассчитана при $e_O^0 = 0$ в соответствии с рекомендациями [67]. Температурная зависимость коэффициентов активности $\gamma_{FeO}, \gamma_{PO_{2.5}}$ принято согласно теории регулярных ионных растворов В.А. Кожеурова [58].

Анализ температурной зависимости процесса дефосфорации предполагает необходимость знания влияния температуры на степень достижения равновесия $\alpha_{\rm O}$ и $\alpha_{\rm C}$. Используя экспериментальные данные по содержанию кислорода в металле перед выпуском (Приложение A), полученные в настоящей работе, рассчитали $\alpha_{\rm O}$ и $\alpha_{\rm C}$, отвечающие периоду рафинирования. Зависимость полученных величин от температуры показана на рисунках 3.26, 3.27.

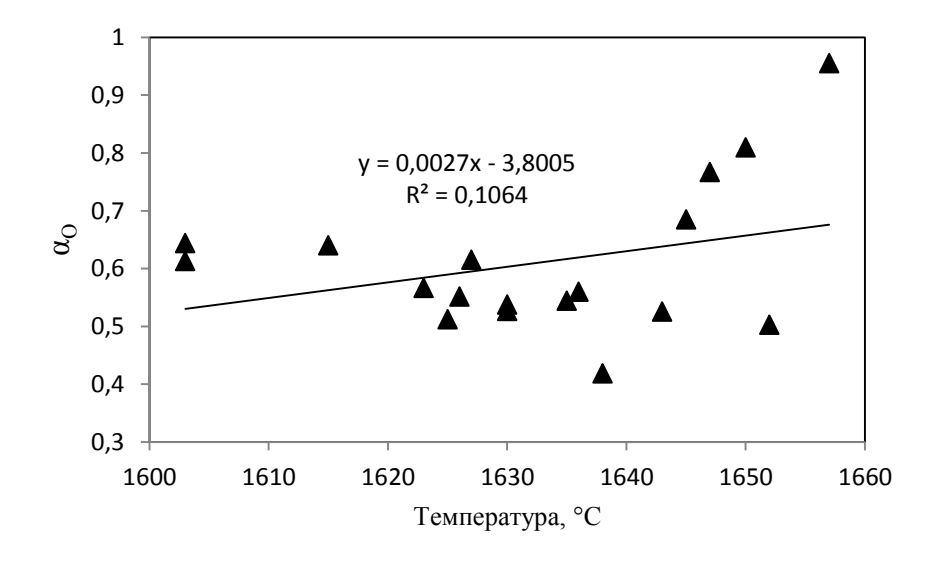


Рисунок 3.26 – Зависимость степени достижения равновесия реакции перехода кислорода из шлака в металл (3.15) от температуры в период рафинирования (перед выпуском плавки)

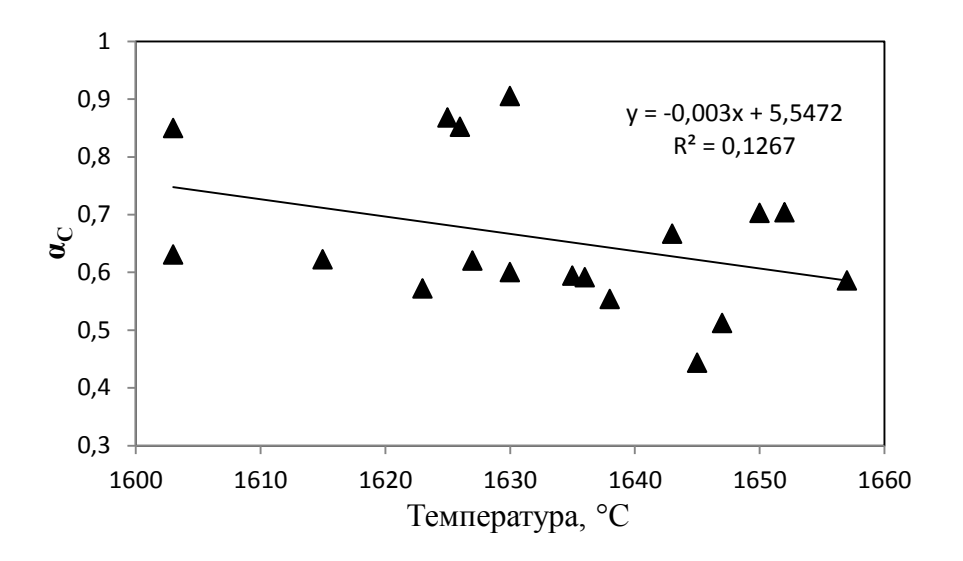


Рисунок 3.27 – Зависимость степени достижения равновесия реакции обезуглероживания (3.17) от температуры в период рафинирования (перед выпуском плавки)

Данные, представленные на рисунках 3.26 и 3.27, подтверждают, что в первом приближении $\alpha_{\rm O}$ и $\alpha_{\rm C}$ можно считать независящими от температуры. Средние значения их равны $\alpha_{\rm O} = 0,65$ и $\alpha_{\rm C} = 0,68$. При анализе данных было обращено внимание на выпадающие точки сильно отличающиеся от линии регрессии: для $\alpha_{\rm O}$ это плавки №17 и №19 и для $\alpha_{\rm C}$ — плавки №11, 14, 15, 16 (приложение A). При этом обстоятельств, позволяющих исключить эти плавки из рассмотрения, не обнаружено.

В связи с тем, что большое влияние на процесс удаления фосфора оказывает реакция обезуглероживания и концентрация углерода, целесообразно проанализировать поведение

углерода в каждом отдельном металлизованном окатыше при его нагреве от практически комнатной температуры до температуры металлической ванны. Состав окатышей с учетом оксидной фазы был пересчитан с данных таблицы 2.3. Как видно из состава основными взаимодействующими в процессе нагрева компонентами будут оксиды железа и углерод. По данным [44,68] в металлизованном сырье остаточные оксиды железа присутствуют в виде закиси железа FeO. В процессе хранения окатышей происходит вторичное окисление, FeO может перейти в форму Fe_3O_4 либо Fe_2O_3 . Расчеты по программе HSC стандартной энергии Гиббса образования FeO, Fe_2O_3 и Fe_3O_4 для 100° С дают следующие значения, соответственно, $\Delta G_{Fe_2O_3}^0 = -480$ кДж/моль, $\Delta G_{Fe_2O_3}^0 = -480$ кДж/моль. Приведенные значения относятся к 1 молю O_2 .

Завод EZZ Flat Steel не имеет собственного производства металлизованных окатышей, и сырье поступает на завод по морю из различных точек мира (Бразилия, Ливия, г. Александрия-Египет). В связи с этим с момента изготовления окатышей до их непосредственного использования проходит достаточно долгое время, около двух – трех месяцев. Учитывая данную особенность, можно допустить, что окатыши прибывают на завод, претерпев процесс вторичного окисления, то есть оксиды железа, входящие в их состав, скорее всего, переходят в форму Fe₃O₄, так как именно этот оксид имеет наибольшую термодинамическую устойчивость по сравнению с другими оксидами железа.

Для расчетов взаимодействия остаточного оксида железа с углеродом 1.67%, содержащимся в окатышах, в интервале температур от 100 до 1700° С использовали программу ГИББС [63]. Согласно сделанным допущениям состав оксида железа отвечает форме Fe_3O_4 . При вводе исходных данных в программу считали, что Fe_3O_4 эквивалентен смеси 30% FeO и 70% Fe_2O_3 . Зависимости концентраций углерода, фосфора, (% FeO), (% CaO), (% SiO₂) и (% P₂O₅) от температуры в отдельном окатыше, для которого принято, что он не взаимодействует ни с металлом, ни со шлаком, ни с газовой фазой, представлены на рисунках 3.28, 3.29, 3.30 и 3.31.

Из рисунков видно, что, начиная с 800° С, получают развитие процессы карботермического восстановления оксидов железа и фосфора. Эти процессы сопровождаются снижением концентрации углерода, FeO и P_2O_5 и, соответственно, повышением содержания фосфора в металлической части окатыша (брикета). То есть, если процессы карботермического восстановления успевают пройти полностью до равновесия, металлический окатыш попадает в жидкий металл практически полностью экстрагировав фосфор первородного сырья. Это означает, что дефосфорация металла при плавке губчатого железа происходит не из-за прямого перехода P_2O_5 окатышей в шлак и удаления с шлаком [44, 69], а в результате взаимодействия высокоосновного шлака со всей металлической ванной ДСП.

Следует обратить внимание на то обстоятельство, что довостановленный в результате нагрева окатыш (1600 – 1700 °C) содержит 0,2 % углерода. То есть попадание таких окатышей на границу металл – шлак должно приводить к раскислению металла в подшлаковом слое, снижению эффективности дефосфорации и повышению конечной концентрации фосфора в металле. Такое понимание механизма дефосфорации лежит в рамках вышеизложенных представлений об этом процессе и хорошо коррелирует с графиком зависимости концентрации фосфора в полупродукте от содержания углерода, на рисунке 3.34. Если допустить, что оксиды железа в окатыше представлены только оксидом FeO, то концентрация углерода в расплавленном окатыше будет составлять 0,45 %; если оксиды отвечают формуле Fe₂O₃, то концентрация углерода равна 0,07 %. Ясно, что в зависимости от продолжительности и условий хранения окатышей степень и полнота вторичного окисления может быть различной. Возможно, именно этим обстоятельство объясняется большой разброс экспериментальных данных по содержанию углерода и соответственно фосфора в полупродукте.

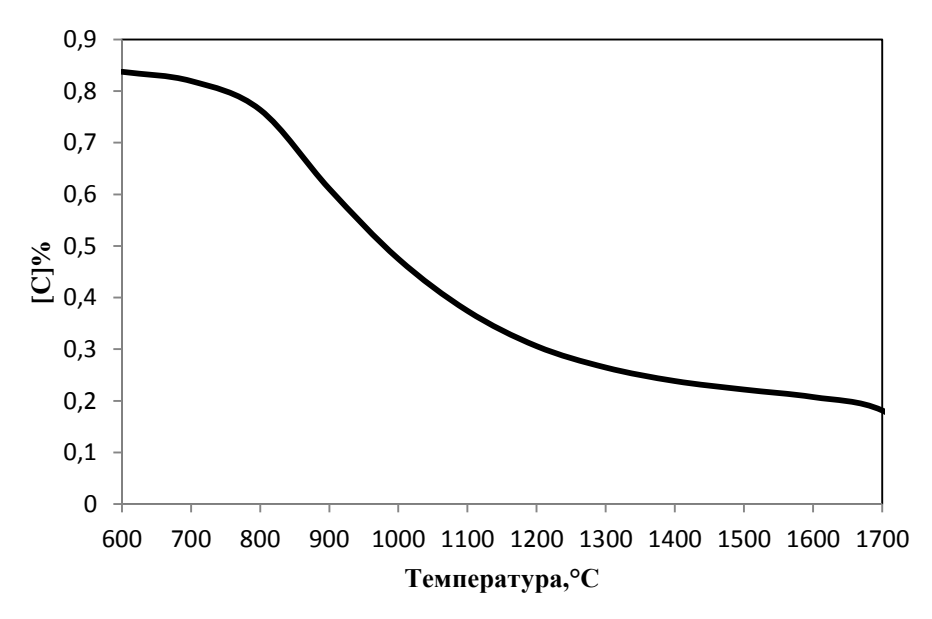


Рисунок 3.28 – Расчётная зависимость концентрации углерода в окатыше (брикете) от температуры

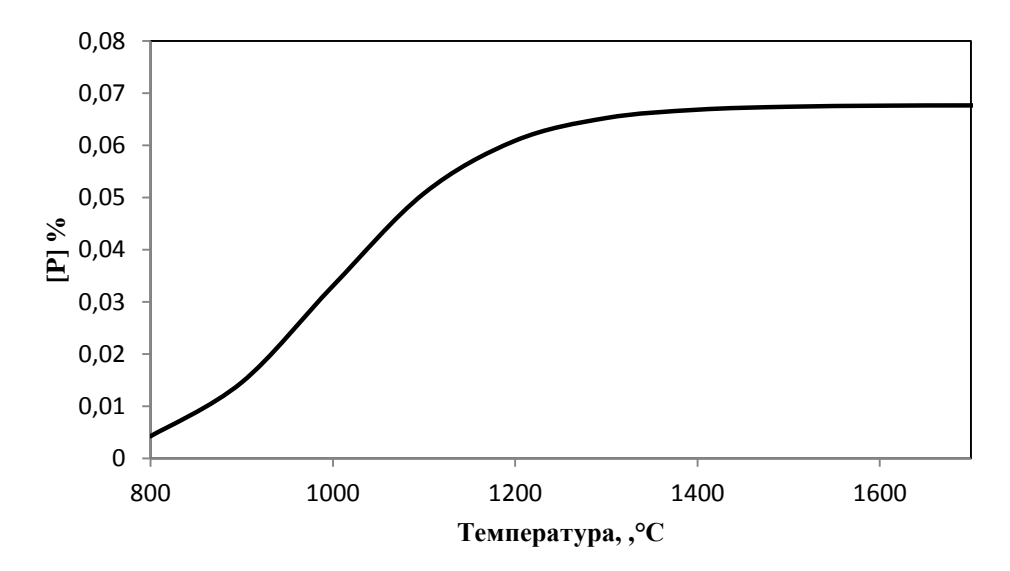


Рисунок 3.29— Расчётная зависимость концентрации фосфора в металлической части окатыша (брикета) от температуры

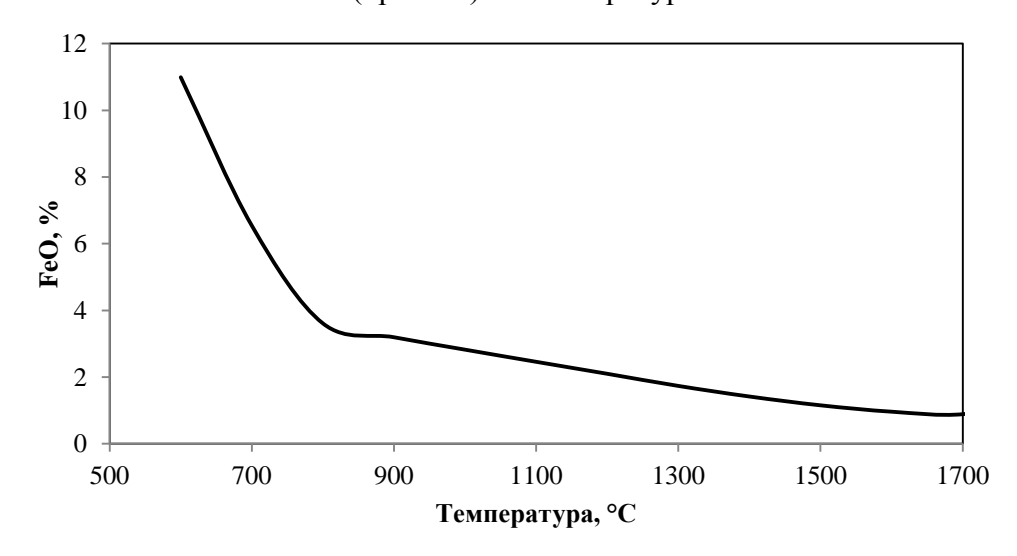


Рисунок 3.30— Расчётная зависимость концентрации монооксида железа в окатыше (брикете) от температуры

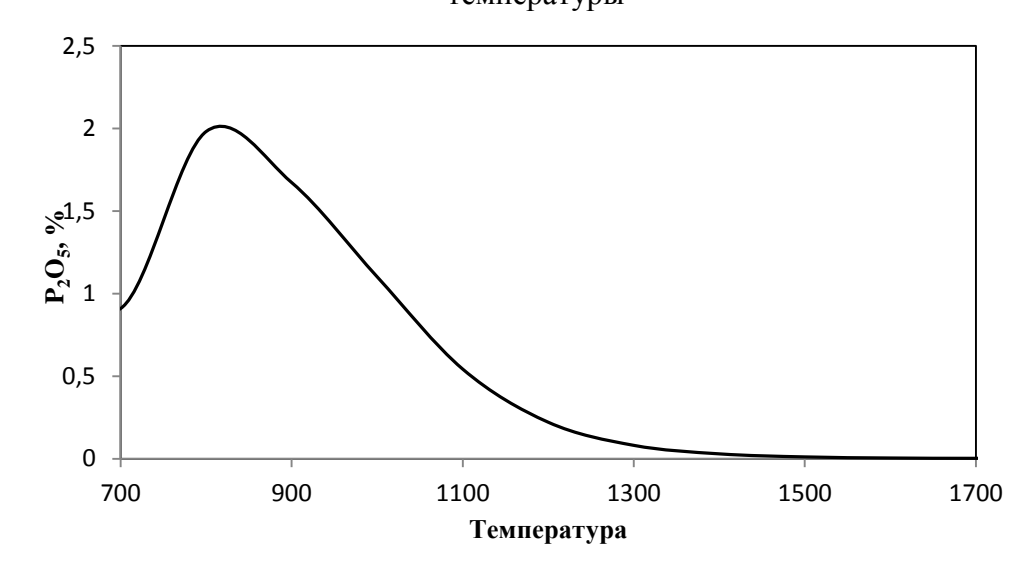


Рисунок 3.31– Расчётная зависимость концентрации P_2O_5 в окатыше (брикете) от температуры

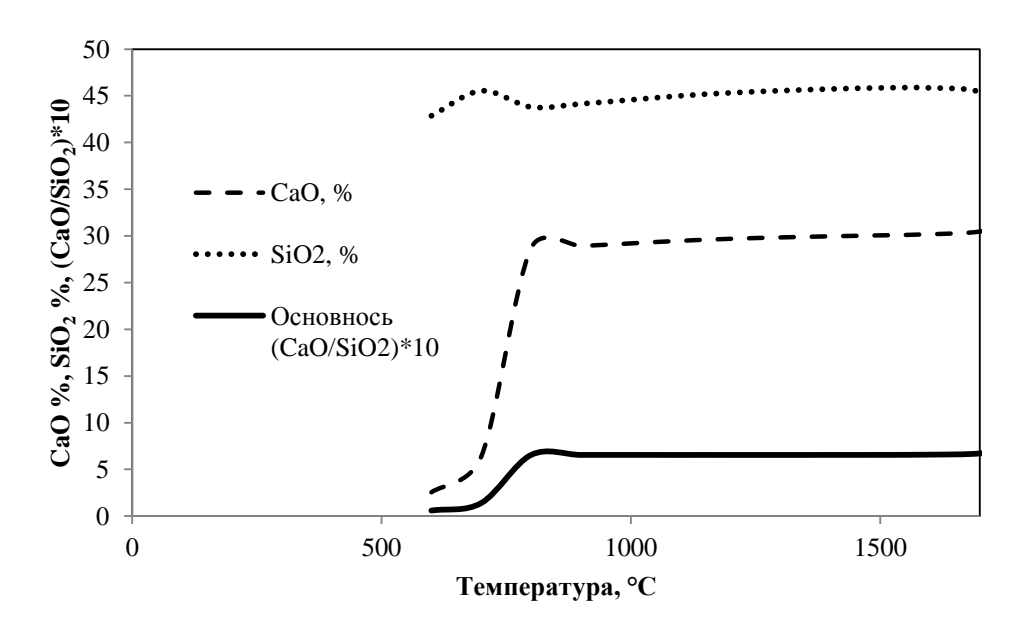


Рисунок 3.32 – Расчётная зависимость концентраций CaO, SiO₂ и основности (CaO/SiO₂) в окатыше от температуры

На рисунке 3.32 представлены расчетные зависимости содержания CaO, SiO2 в шлаке, образующемся при нагреве и плавлении отдельного окатыша, и основности от температуры. Из графика видно, что образующийся шлак является кислым; основность его примерно равна 0,7. Такой шлак не может обеспечить дефосфорацию металлической части окатыша [44, 54, 63].

Из изложенного выше ясно, что в процессе дефосфорации металла при плавке металлизованного сырья реакция обезуглероживания играет важную роль. Она вместе с реакцией дефосфорации зависит от концентрации кислорода в ванне печи, который в свою очередь зависит от активности FeO в шлаке. В связи с этим целесообразно рассмотреть движущие силы соответствующих реакций, протекающих в системе «металл – шлак – газовая фаза». Использовать при этом концентрации кислорода в металле затруднительно, так как в данном случае измерение текущей концентрации кислорода не является обязательной операцией; поэтому удобней использовать содержание FeO в шлаке.

Оксид железа взаимодействует с фосфором, содержащимся в металле по реакции (3.8) 2,5FeO+ [P] =PO_{2,5}+2,5Fe. При заданных фактических концентрациях реагирующих веществ изменение энергии Гиббса при протекании реакции до равновесия равно

$$\Delta G_{3.8} = \Delta G_{3.8}^{0} + RT \ln K_{\phi a \kappa m} = \Delta G_{3.8}^{0} + RT \ln \left(\frac{x_{PO_{2.5}} \cdot \gamma_{PO_{2.5}} \cdot a_{Fe}}{[P] \cdot f_{P} \cdot x_{FeO}^{2.5} \cdot \gamma_{FeO}^{2.5}} \right)$$
(3.38)

Значение коэффициента активности f_P при температуре 1873 К определяли с использованием параметров взаимодействия [55, 63]. Температурную зависимость f_P рассчитывали по теории регулярных растворов. Коэффициент активности γ_{FeO} и $\gamma_{PO_{2.5}}$

вычисляли по теории регулярных ионных растворов В.А. Кожеурова [55, 63]. Значения $\Delta G_{3.8}$ рассчитаны с использованием экспериментальных данных о составе шлака, металла и температуре в период рафинирования перед выпуском полупродукта из печи для каждой отдельной плавки. Соответствующие расчетные точки представлены на рисунке 3.33.

Монооксид железа взаимодействует с углеродом, содержащимся в ванне, по реакции

$$FeO_{(x)} + [C] = CO_{(r)} + Fe_{(x)}$$
 $\Delta G_{339}^0 = 98600 - 92, 1 \cdot T$ Дж/моль (3.39)

При заданных фактических концентрациях и давлениях исходных компонентов и продуктов реакции движущая сила (изменение энергии Гиббса) может быть рассчитана по уравнению изотермы Вант-Гоффа:

$$\Delta G_{3.39} = \Delta G_{3.39}^{0} + RT \ln K_{\phi \alpha \kappa m} = \Delta G_{3.39}^{0} + RT \ln \left(\frac{P_{CO} \cdot a_{Fe}}{[C] \cdot f_{C} \cdot x_{FeO} \cdot \gamma_{FeO}} \right)$$
(3.40)

Температурную зависимость коэффициента активности f_C рассчитывали по теории регулярных растворов. Значение f_C при температуре 1873 К определяли с использованием параметров взаимодействия [55, 63]. Коэффициент активности γ_{FeO} вычисляли по теории регулярных ионных растворов В.А. Кожеурова [55, 63]. Значение P_{CO} приняли равным 1,03 атм в связи с тем, что была учтена толщина шлака, принятая равной 6 см. Величина $\Delta G_{3.39}$ рассчитана по составу шлака, металла и температуре в период рафинирования перед выпуском полупродукта из печи. Расчеты приведены для каждой из 21 плавок отдельно, результаты в виде расчетных точек представлены на рисунке 3.33.

Реакцию рефосфорации (3.22) запишем в той же форме $(PO_{2.5}) + 2.5[C] = 2.5CO + [P]$

Изменение энергии Гиббса при протекании реакции рефосфорации за счёт восстановления оксида фосфора шлака содержащимся в ванне углеродом до равновесия равно

$$\Delta G_{3.22} = \Delta G_{3.22}^{0} + RT \ln K_{\phi \alpha \kappa m} = \Delta G_{3.22}^{0} + RT \ln \left(\frac{[P] \cdot f_{P} \cdot p_{CO}^{2.5}}{x_{PO_{2.5}} \cdot [C]^{2.5} \cdot f_{C}^{2.5}} \right)$$
(3.41)

Коэффициенты активности f_P и f_C при температуре 1873 К вычисляли по параметрам взаимодействия [55, 63]. Зависимость f_P и f_C от температуры определяли по теории регулярных растворов. Коэффициент активности $\gamma_{PO_{2,5}}$ вычисляли по теории регулярных ионных растворов В.А. Кожеурова [55, 63]. Значения $\Delta G_{3,22}$ рассчитаны так же, как и $\Delta G_{3,8}$, $\Delta G_{3,39}$ для каждой отдельной плавки. Соответствующие расчетные точки представлены на рисунке 3.33.

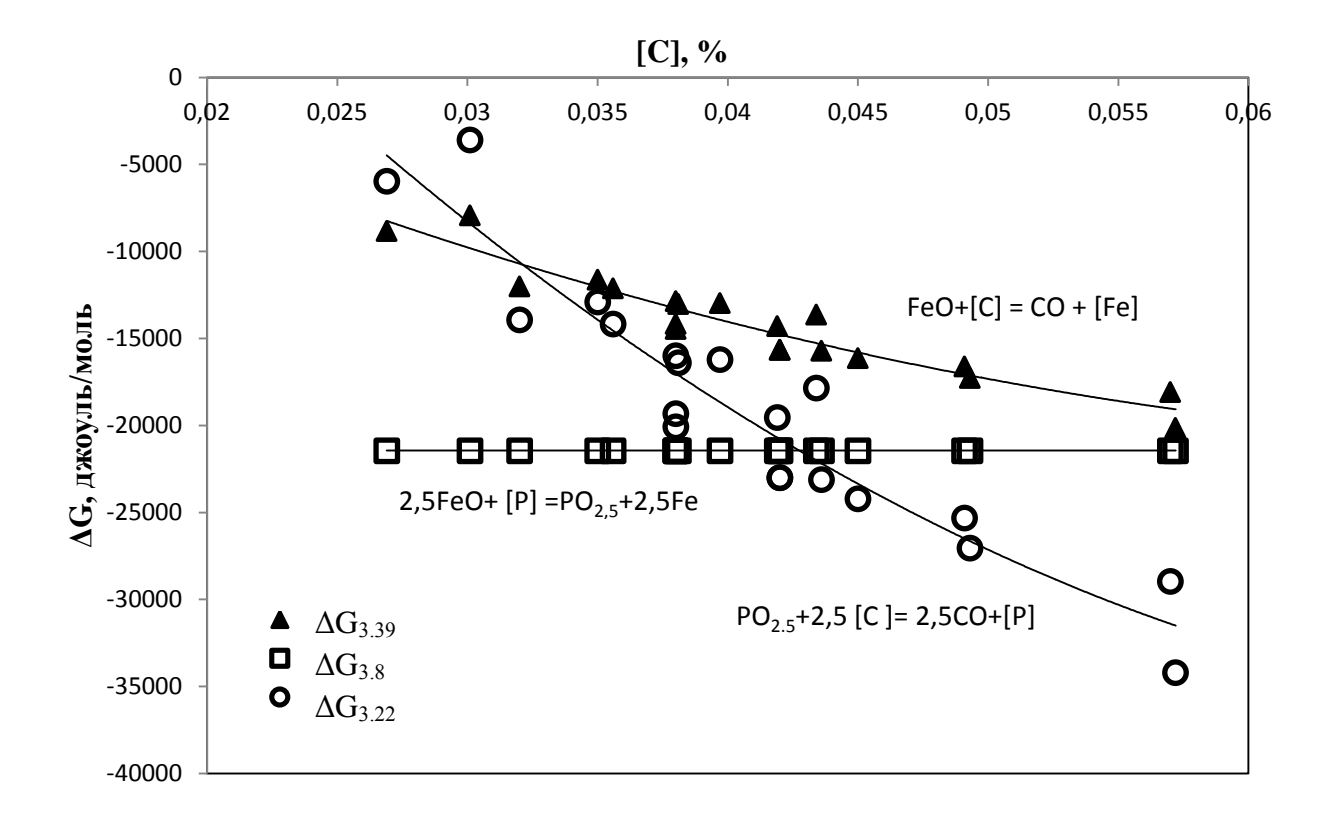


Рисунок 3.33- Изменение энергии Гиббса реакций дефосфорации, обезуглероживания и рефосфорации в зависимости от концентрации углерода в ванне ДСП. Точками на графике показаны результаты расчёта ΔG для каждой отдельной плавки

Из рисунка 3.33 видно, что при концентрации углерода менее 0,043% величина $\Delta G_{3.8}$ реакции дефосфорации становится более отрицательной, чем $\Delta G_{3.39}$ и $\Delta G_{3.22}$. То есть дефосфорацию целесообразно проводить при концентрации углерода в ванне металла 0,043 % и менее, так как при более высоком содержании углерода возможно протекание процесса рефосфорации.

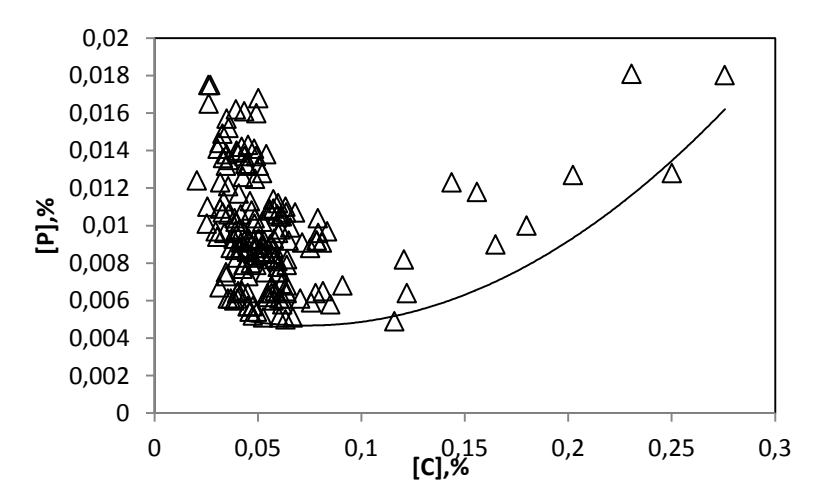


Рисунок 3.34 – Зависимость минимальных концентраций фосфора от содержания углерода в ванне

Из рисунка 3.34 видно, что при повышении концентрации углерода с 0,02 до 0,25 % минимальное содержание фосфора повышается с 0,005 до 0,018 %, то есть более чем в три раза. Рост минимальной концентрации фосфора с повышением содержания углерода можно объяснить, опираясь на данные рисунка 3.33, развитием реакции рефосфорациивосстановлением P_2O_5 шлака растворенным в ванне углеродом.

Обращает на себя внимание значительный разброс точек при низких концентрациях углерода. Этому обстоятельству можно дать два объяснения: первое, при низких концентрациях углерода существуют хорошие термодинамические условия для дефосфорации, однако, ванна в это время перемешивается слабо и замедленный массоперенос фосфора в ванне металла может тормозить удаление фосфора в целом. Второе, при низких концентрациях углерода затрудняется вспенивание шлака [70]. Сталеплавильщики, желая сохранить ситуацию со вспениванием, могут давать повышенное количество кокса на шлак, что может привести к развитию процессов рефосфорации за счёт углерода кокса. На это указывает график, представленный на рисунке 3.35 для концентрации углерода в ванне 0,04 ±0,01%.

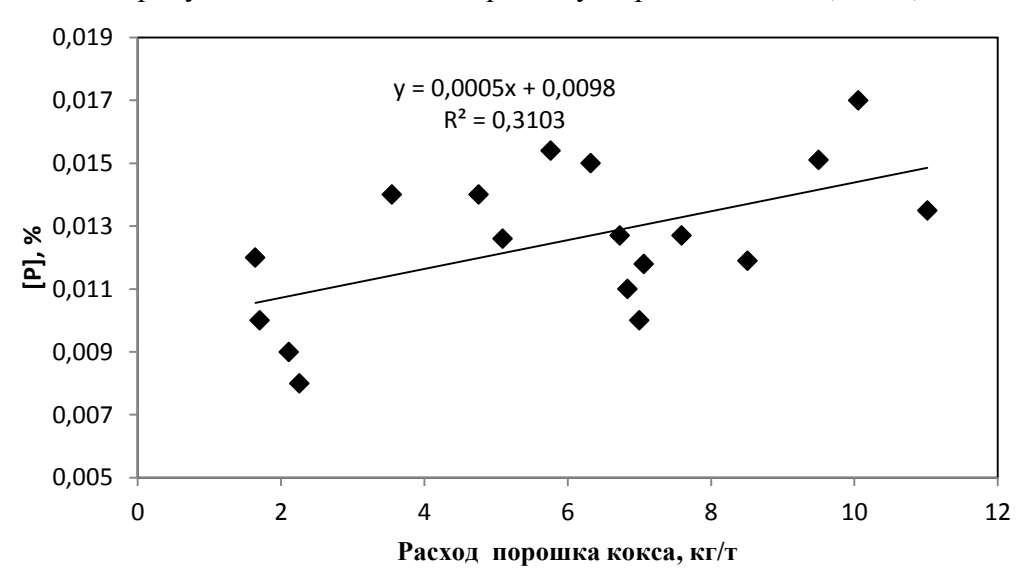


Рисунок 3.35 — Зависимость концентрации фосфора в полупродукте перед выпуском на экспериментальных плавках (21 плавка — приложение A) от удельного расхода порошка кокса при концентрации углерода в металлической ванне 0.04 ± 0.01 % и температуре $1631 \pm 25^{\circ}$ C

Рисунок 3.35 показывает, что с увеличением удельного расхода порошка кокса, концентрация фосфора в полупродукте повышается. Данное обстоятельство подтверждает гипотезу о рефосфорации. Действительно, повышение удельного расхода порошка кокса с 2 до 11 кг/т в период непрерывной подачи приводит к увеличению содержания фосфора с 0,010 до 0,015 %. Это означает, что в заключительную часть плавки, в частности, в период рафинирования нагрев металла нецелесообразно проводить только за счет дуги, так как при

этом необходимо вспенивать шлак и соответственно подавать повышенные расходы кокса, а это как указано выше приводит к рефосфорации (переходу фосфора из шлака в металл). Металл целесообразно нагревать за счет подачи газообразного кислорода, что конечно приводит к сжиганию железа. Отметим что такой метод нагрева (бездуговой) должен обеспечить минимальные концентрации азота, что как раз необходимо для такого вида стали.

Выводы по главе 3

Балансовым анализом шихтовок металлизованного сырья ДСП – 220 было установлено что содержание фосфора в ломе составляет порядка 0,036 %.

Увеличение количества металлизованного сырья в шихте с 26 до 67 % приводит к возрастанию концентрации фосфора в полупродукте с 0.005 до 0.015 %.

Выполнен баланс фосфора при плавке стали в ДСП-220 при условии непрерывной загрузки металлизованных окатышей и горячебрикетированного железа. С относительной погрешностью ~ 5 % баланс по фосфору в системе «металл – шлак» соблюдается.

Балансовым анализом показано, что при доле металлизованного сырья более 35 % оно является основным источником фосфора. При 90...100 т ГБЖ и окатышей они вносят в шихту около 50 % фосфора, порядка 20...25 % фосфора вносит лом, 14...15 % приходит из чугуна, 8...10 % могут внести известь и доломит.

Показано, что при увеличении доли металлизованного сырья в шихте степень удаления фосфора резко снижается. При непрерывной загрузке окатышей степень удаления фосфора выше (93 %), чем при подаче горячебрикетированного железа (или его смеси с окатышами) – 83%.

При плавке стали с использование только лома в шихте удельный расход извести, составляет порядка $50~\rm kr/T$, а при замене лома в шихте на $60~\rm \%$ металлизованным сырьем расход извести увеличивается до $80~\rm kr/T$.

Показано, что при плавке стали на шихте из 100 % лома коэффициент распределения фосфора L_{φ} между металлом и шлаком составляет порядка 100; при повышении количества первородной составляющей в шихте до 67 % величина L_{φ} снижается до 10. Установлено, что при использовании металлизованного сырья отрицательное влияние этого сырья на полноту дефосфорации превалирует над возможным положительным влиянием от увеличения расхода извести и кратности шлака, наблюдающихся при плавке губчатого железа.

Показано, что коэффициент распределения фосфора при непрерывной подаче металлизованных окатышей при 60 % сырья составляет порядка 40, а при использовании смеси 50 % ГБЖ и 50 % МОК (загрузка в составе корзин и непрерывно) около 20.

Содержательный анализ процессов, протекающих при дефосфорации, показывает, что здесь одновременно наблюдаются переход кислорода из шлака в металл, взаимодействие этого кислорода с углеродом и фосфором, переход образующихся оксидов СО и P_2O_5 в газовую и шлаковую фазу соответственно

Показано, что гипотеза о положительном влиянии непрерывной загрузки металлизованного сырья на полноту процесса дефосфорации не подтверждается. Напротив, с

повышением массы непрерывно загруженных окатышей и ГБЖ с 10 до 100 т коэффициент распределения L_{ϕ} снижается с 37 до 20, то есть почти в два раза.

Показано, что повышение скорости загрузки металлизованного сырья в печь приводит не к повышению, а к снижению величина Lф. При повышении скорости загрузки с 1 до 6-ти тонн в минуту Lф снижается с 35 до 15. Этот эффект вполне объясняется с механизмом дефосфорации при плавке металлизованного сырья.

Установлено, что при плавке металлизованного сырья реакция дефосфорации достаточно далека от равновесия; степень достижения равновесия составляет 0,1...0,4. При плавке лома эта величина близка к 1.

Для обеспечения эффективного проведения процесса дефосфорации при плавке металлизованного сырья с повышенным содержанием фосфора необходимо обеспечить следующие условия: содержание оксидов железа в шлаке должно составлять 25...30%; основность шлака-2,5...3,0; содержание MgO в шлаке – 4 %, температура -1625...1635 °C.

Из сравнения экспериментальных и расчетных равновесных данных следует, что реакцию [P] + 2,5(FeO) = (PO2,5) + Fe можно рассматривать как ведущую реакцию, обеспечивающую удаление фосфора, а реакцию рефосфорации (PO2,5) + 2,5[C] = [P] + 2,5CO, как ограничивающую процесс в целом и определяющую степень дефосфорации. Подтверждением этой схемы взаимодействий является то обстоятельство, что экспериментальная эффективная энтальпиия процесса удаления фосфора $\Delta H^0_{\mathfrak{skcnep}} = -266156$ Дж/моль близка к энтальпии реакции рефосфорации $\Delta H_{\mathfrak{pepocpop}} = -330814$ Дж/моль в то время как энтальпия реакции дефосфорации составляет $\Delta H^0_{\mathfrak{L},FeO} = -98213$ Дж/моль.

Из термодинамического анализа процессов довосстановления окатыша при его нагреве и плавлении следует, что процессы карботермического восстановления могут пройти полностью до равновесия и металлический окатыш попадает в жидкий металл, практически полностью экстрагировав в себя фосфор первородного сырья. Дефосфорация металла при плавке губчатого железа происходит таким образом не из-за прямого перехода P_2O_5 из окатышей в шлак, а в результате взаимодействия высокоосновного шлака со всей металлической ванной ДСП.

Показано, что повышение удельного расхода порошка кокса с 2 до 11 кг/т в период непрерывной подачи металлизованного сырья приводит к увеличению содержания фосфора с 0,010 до 0,015 %. Это означает, что в период рафинирования нагрев металла не следует проводить за счет дуги, так как при этом необходимо вспенивать шлак и соответственно подавать повышенные расходы порошка кокса.

Вывод для практики. Проведенный анализ процесса дефосфорации показывает, что при низких температурах этот процесс достаточно близок к равновесию согласно реакции 2,5FeO+P

=(PO_{2,5}) + 2,5Fe, так как при низких температурах затруднено протекание реакции обезуглероживания. При высоких температурах реакция обезуглероживания (в том числе восстановление оксидов фосфора углеродом) получает развитие и протекают процессы рефосфорации. В связи с этим, для получения низких концентраций фосфора в полупродукте, необходимо следующее. Выпускать полупродукт из ДСП с минимально возможной температурой. Нагревать металл перед выпуском как можно быстрее, чтобы не успел пройти процесс рефосфорации. Для снижения рефосфорации перед нагревом необходимо иметь в печи минимально возможное количество шлака (в то же время шлака должно быть достаточно, чтобы защитить металл от насыщения азотом). Нагревать ванну необходимо не за счет дуги, а за счет продувки ванны газообразным кислородом; это ускорит нагрев, снизит рефосфорацию, уменьшит насыщение металла азотом. В рафинировочный период нецелесообразно давать на шлак кокс, так как это приводит к восстановлению фосфора из шлака.

4 АНАЛИЗ ТЕХНОЛОГИИ ВЫПЛАВКИ СТАЛИ С ИСПОЛЬЗОВАНИЕМ В ШИХТЕ МЕТАЛЛИЗОВАННЫХ ОКАТЫШЕЙ И ГБЖ С ПОВЫШЕННЫМ СОДЕРЖАНИЕМ ФОСФОРА

4.1 Зависимость показателей плавки от доли металлизованного сырья в ДСП

Для исследования эффективности использования ГБЖ в сравнении с применением МОК при условии повышенного содержания фосфора в металлизованном сырье проанализировали технологию выплавки стали на металлургическом заводе в Египте EZZ Flat Steel. На этом предприятии с использованием дуговой сталеплавильной печи вместимостью 220 тонн и мощностью 133 МВ·А производится 1,2 млн. т горячекатаного листа толщиной 1 - 12 мм. В качестве шихты используется металлический лом, металлизованные окатыши и горячебрикетированное железо. Жидкий полупродукт получают в дуговой печи и выпускают в ковш 185 т металла, остаток металла в печи (болото) составляет 30...35 т. Для изучения технологии было проведено 126 плавок с непрерывной подачей ГБЖ, 5 плавок- с подачей металлизованных окатышей, на 52 плавоках использовали смесь ГБЖ и окатышей (1:1).

Химический состав губчатого железа (МОК и ГБЖ), применяемого на заводе EZZ Flat Steel, %: 92,61 металлизация; 91,24 Fe общ; 84,5 Fe мет; 1,67 C; 0,061 P; 0,0026 S; 1,9 CaO; 1,0 MgO; 2,9 SiO₂; 0,35 Al₂O₃; 0,10 TiO₂.

Вначале в дуговую сталеплавильную печь (ДСП) загружают две корзины шихты. Шихта состоит в основном из лома; доля металлизованного сырья в шихте, загруженной корзинами, не превышает 30 %. После проплавления этой шихты часть шлака плавления удаляют и через дозатор в своде осуществляют непрерывную загрузку металлизованных окатышей или ГБЖ.

В первую корзину загружают в среднем 78 т лома, 10 т ГБЖ, 10 т МОК, 0-5 т чугуна и 2 т кокса. Через 8 мин после завалки первой корзины и ввода в печь 10 МВт·ч электроэнергии образуется ванна жидкого металла. На ванну через отверстие в своде подают 3 т извести и 0,5 т доломита. Присадка шлакообразующих осуществляется далее непрерывно вплоть до подачи второй корзины. После загрузки первой корзины и включения печи проводят дополнительный подогрев шихты газокислородными горелками. За период плавления первой корзины расход кислорода составляет 1500 м³, природного газа -300 м³, расход порошкообразного кокса -300 кг. Период плавления первой корзины считается законченным после ввода 24 МВт·ч электроэнергии и 1,5 МВт·ч химической энергии.

Во второй корзине находится 42 т лома, 7,5 т ГБЖ, 7,5 т МОК, 3 т извести и 0,5 т доломита. Длительность второго периода плавления (после загрузки второй корзины)

составляет порядка 20 мин. Расход кислорода через кислородные инжекторы в среднем 2000 м³, через газокислородные горелки 200 м³, расход природного газа - 250 м³. Во второй период для вспенивания шлака через три углеродных инжектора подается 200 кг порошкообразного кокса. Второй период считается законченным после ввода 26 МВт·ч электроэнергии и 2 МВт·ч химической энергии.

После завершения второго периода наступает третий, в течение которого в печь через отверстие в своде непрерывно подают до 110 т горячебрикетированного железа или металлизованных окатышей, или их смеси в соотношении 1:1.

Одновременно с губчатым железом в печь через отверстие в своде непрерывно вводят 6 т извести (доломит в этом периоде не вводят). Расход кислорода составляет 3000 м³, порошкообразного кокса - 1300 кг; природный газ в это время не подают. Средняя длительность периода 24 мин. За это время в ДСП вводят 33 МВт·ч электроэнергии и 5 МВт·ч химической энергии. Отметим, что указанные параметры технологии носят приблизительный характер и на реальных плавках довольно сильно варьируют.

В ходе плавки ведется окисление ванны газообразным кислородом с общим расходом от 35 до 40 м^3 /т. Для вспенивания шлака используют присадки кускового кокса (16 - 20 кг/т) в составе шихты, находящейся в первой бадье. Параллельно в ходе плавки на шлак присаживают порошкообразный кокс крупностью 1-3 мм в количестве 8 кг/т.

Удаление шлака осуществляют при наклоне печи дважды: после проплавления двух корзин и после завершения непрерывной загрузки металлизованных материалов. Перед вторым удалением шлака замеряют температуру, отбирают пробы металла и шлака. Затем удаляют шлак и производят выпуск полупродукта в ковш. Анализ технологии выплавки стали с применением в шихте металлизованных окатышей и ГБЖ проводили с использованием полученных таким образом данных о составе металла, шлака и температуре для плавок текущего производства.

На рис. 4.1 представлена зависимость содержания меди, хрома, никеля и олова и на рисунке 2 представлены суммы концентраций этих металлов от доли металлизованного сырья в шихте.

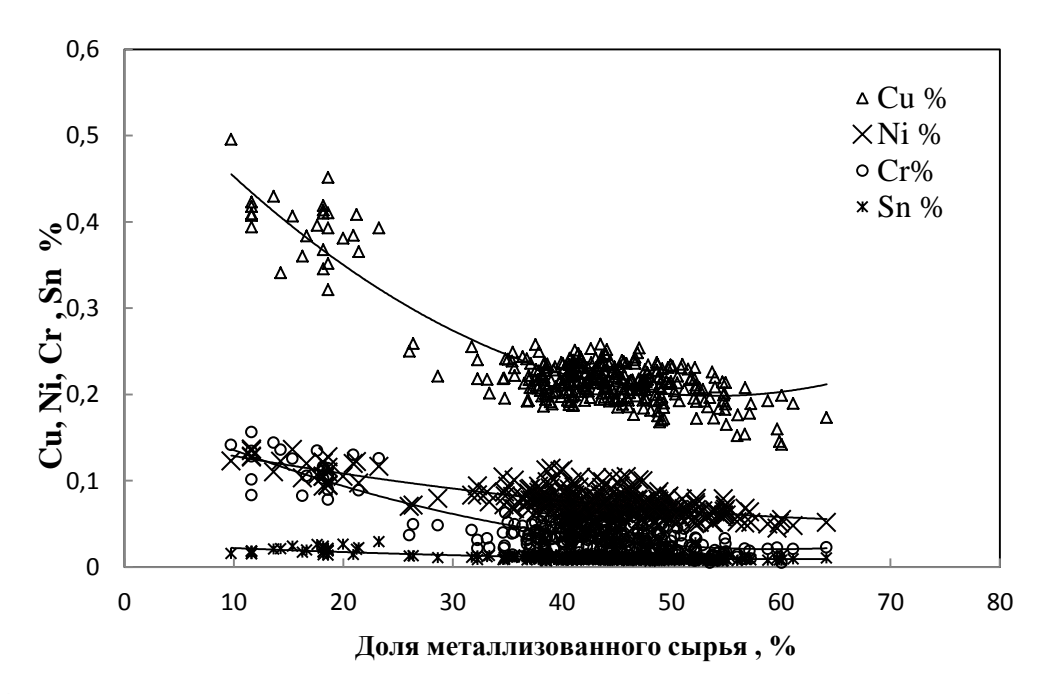


Рисунок 4.1 – Зависимость содержания меди, хрома, никеля и олова от доли металлизованного сырья в шихте (ГБЖ и МОК)

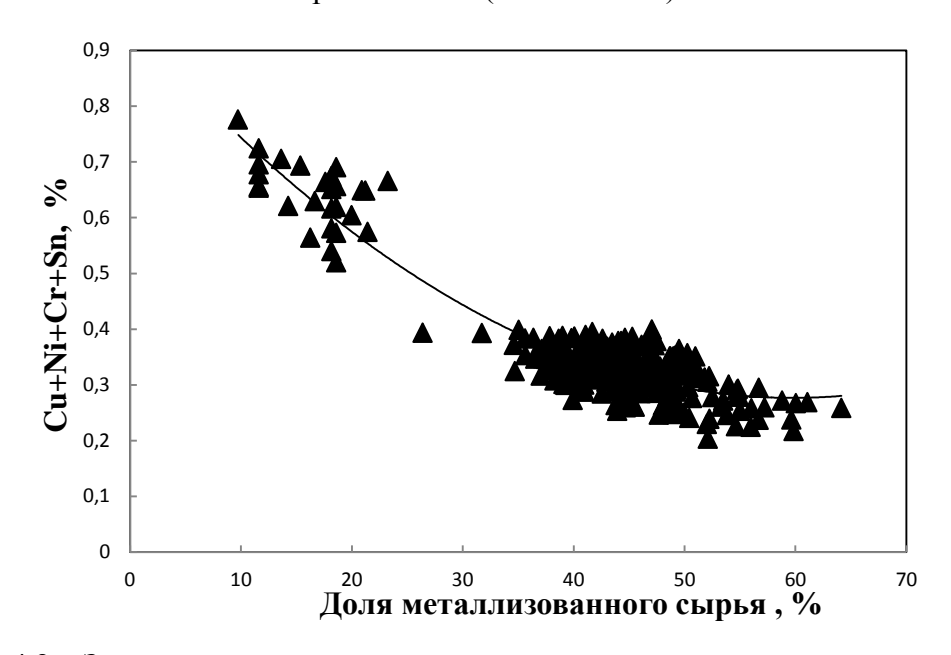


Рисунок 4.2 – Зависимость суммы концентраций меди, хрома, никеля и олова от доли металлизованного сырья в шихте (ГБЖ и МОК)

Из рисунков 4.1 и 4.2 видно, что присадка металлизованного сырья способствует значительному снижению содержанию меди, хрома, никеля и олова в полупродукте. Их общее содержание снижается примерно в три раза (от 0,75 до 0,25 %) при увеличении доли металлизованного сырья от нуля до 60 %. Это подтверждает что, известный положительный эффект от применения металлизованного сырья, связанный с разбавлением металла за счёт присадки в ванну чистого по примесям материала. В то же время из рис. 44 и 45 видно, что с

точки зрения чистоты стали по примесям цветных металлов иметь в шихте более 50 - 60 % металлизованного сырья нецелесообразно.

На рисунках 4.3 и 4.4 представлены зависимости удельного расхода электрической энергии и общей длительности плавки и времени под током от доли металлизованного сырья в шихте соответственно. При построении указанных зависимостей использовали данные для всех плавок; металлизованное сырьё при этом не разделяли на ГБЖ и окатыши.

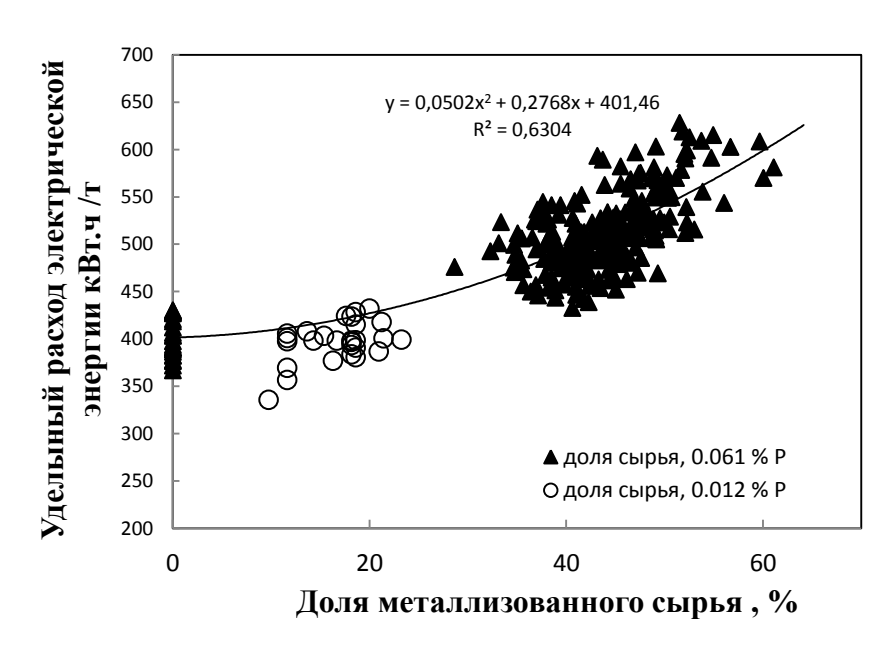


Рисунок 4.3 – Зависимость удельного расхода электрической энергии от доли металлизованного сырья в шихте (ГБЖ и МОК)

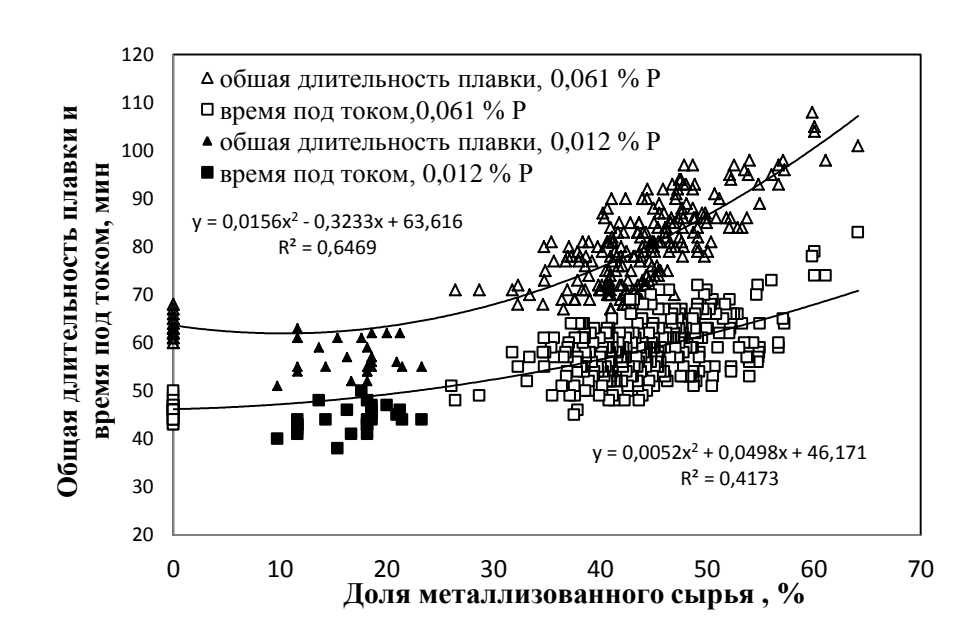


Рисунок 4.4 – Зависимость общей длительности плавки и времени под током от доли металлизованного сырья в шихте (ГБЖ и МОК)

В то же время из рисунков 4.3 и 4.4 видно, что с ростом доли металлизованного сырья в шихте расход электрической энергии, время под током и общее время плавки увеличиваются. При увеличении доли металлизованного сырья от нуля до 60 % расход электрической энергия возрастает от 400 до 600 кВт·ч/т, время под током увеличивается от 46 до 68 минут, общее время плавки также возрастает с 63 до 100 минут. Приведённые зависимости объясняются ростом массы оксидов (FeO, CaO, MgO, SiO₂, Al₂O₃, TiO₂), поступающих в печь при увеличении доли металлизованного сырья в шихте. Кроме этого, дополнительной энергии требует протекание реакции восстановления оксидов железа углеродом, содержащимся в металлизованном сырье [11, 25, 71, 72]

Отметим, что статистическая обработка данных на рисунках 4.3 и 4.4 проведена для высокофосфористого сырья. Поэтому из рисунков 4.3 и 4.4 видно, что при 25- 30 % плавка металлизованного сырья с пониженным содержанием фосфора (0,012%) характеризуется несколько меньшими значениями расхода энергии и времени плавки, нежели плавка с использованием сырья с повышенным содержанием фосфора (0,061 %). Информация о том, что при порционной загрузке в корзины ГБЖ до 30 % несколько снижается расход электроэнергии и длительность расплавления подтверждается данными [5, 25, 48]. Особенности плавки металлизованного сырья с пониженной концентрацией фосфора (0,012 %) на заводе EZZ Flat Steel будут рассмотрены в Главе 5.

На рисунке 4.5 показана зависимость времени под током от массы шихты, загруженной с корзиной № 1, корзиной № 2 и при непрерывной подаче ГБЖ. Отметим,что при изменении массы шихты в корзинах соотношение между компонентами шихты остаётся постоянным. Видно, что для плавления только ГБЖ при непрерывной подаче требуется максимальное количество времени. С понижением содержания металлизованного сырья в шихте до оптимального (20 - 25 %) время под током существенно уменьшается. Данные рисунка 4.5 удобно использовать при подборе состава шихты, обеспечивающей заданное время плавления под током.

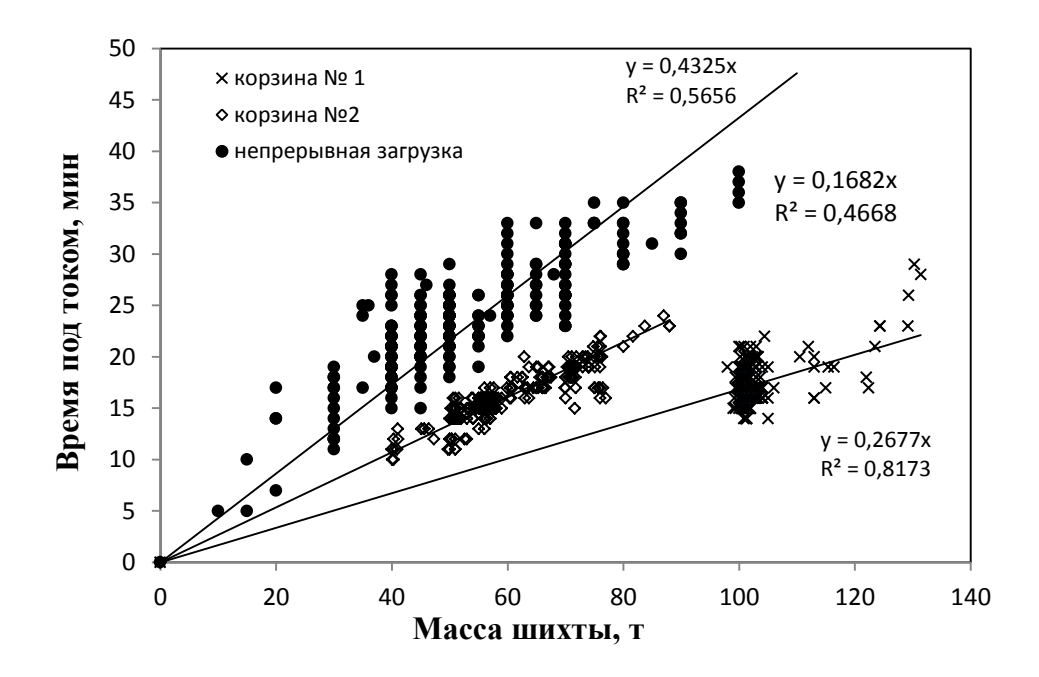


Рисунок 4.5 – Зависимость времени под током от массы шихты, загруженной с корзиной № 1, корзиной № 2, и при непрерывной подаче металлизованного сырья. Корзина № 1 содержит 80% лома и 20 % (МОК+ГБЖ). Корзина № 2 содержит 75 % лома и 25 % (МОК+ГБЖ). При непрерывной подаче используется только ГБЖ (126 плавок)

4.2 Влияние вида металлизованного сырья (ГБЖ или окатыши), загружаемого в печь непрерывно, на содержание фосфора в металле и параметры процесса

Несмотря на то что по физическим свойствам в первую очередь по плотности металлизованные окатыши и ГБЖ различаются – ГБЖ существенно плотнее ($\rho_{\Gamma E Ж} = 5.0 \text{ г/см}^3$) чем МОК ($\rho_{MOK} = 2.8 \text{ г/см}^3$) – сравнение технологических особенностей применение этих материалов для плавки в литературе не приводится. В данной работе делается попытка проследить различия в процессах дефосфорации при применении этих материалов, а также отличие технико-экономических показателей плавки при использовании МОК и ГБЖ. Несмотря на кажущуюся простоту вопроса он имеет большую значимость для технологии плавки и технико-экономических показателей сталеплавильного производства.

На рисунке 4.6 показано влияние вида металлизованного сырья (ГБЖ или окатыши), загружаемого в печь непрерывно на содержание фосфора в жидком полупродукте перед выпуском из ДСП.

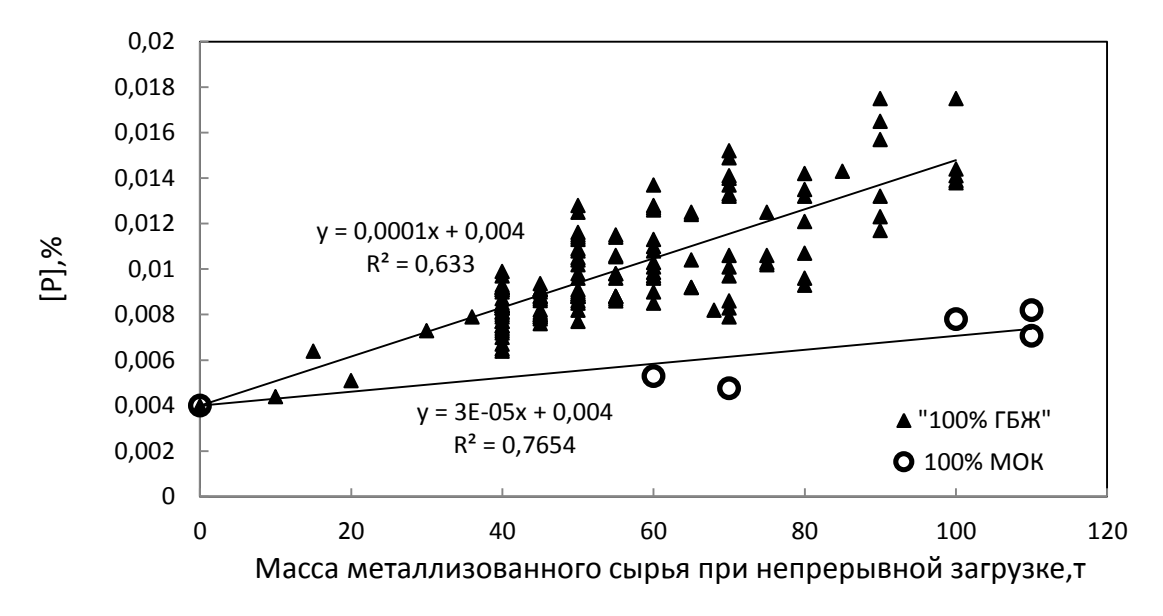


Рисунок 4.6 – Влияние вида металлизованного сырья (ГБЖ или окатыши), загружаемого в печь непрерывно, на содержание фосфора в жидком полупродукте перед выпуском из ДСП

Из рисунка 4.6 видно, что при загрузке металлизованных окатышей в ДСП концентрация фосфора в полупродукте получается примерно в полтора раза ниже, чем при использовании горячебрикетированного железа. Объяснить это можно тем, что при плавке металлизованных окатышей средняя степень достижения равновесия реакции окисления фосфора оказывается довольно высокой и составляет $L_{\varphi}/L_{p, FeO} = 0,45$ (см рис. 3.12 с.54). Это примерно в два раза выше, чем при плавке горячебрикетированного железа, где степень достижения равновесия - 0,22.

На рисунке 4.7 показано влияние вида металлизованного сырья (ГБЖ или окатыши), загружаемого в печь непрерывно, на коэффициент распределения фосфора перед выпуском из ДСП.

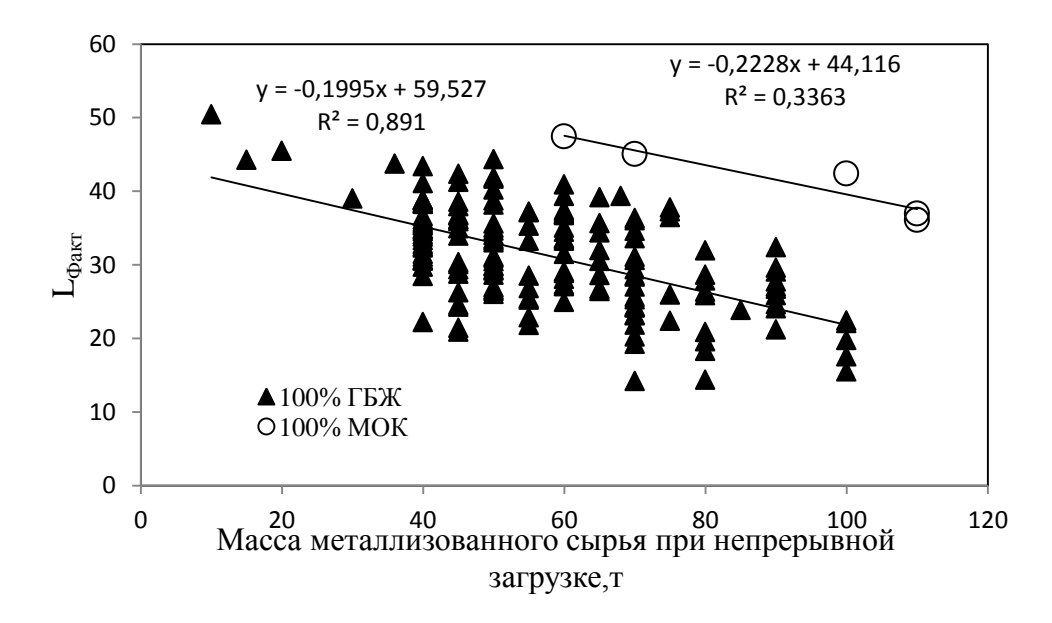


Рисунок 4.7– Влияние вида металлизованного сырья (ГБЖ или окатыши), загружаемого в печь непрерывно, на коэффициент распределения фосфора перед выпуском из ДСП

Из рисунка 4.7 видно, что фактическое значение коэффициента распределения фосфора $L_{\phi a \kappa \tau}$ между шлаком и металлом при использовании окатышей также примерно в полтора раза выше, чем при подаче ГБЖ.

На рисунке 4.8 представлено влияние вида металлизованного сырья (ГБЖ или окатыши), загружаемого в печь непрерывно, на продолжительность плавки под током.

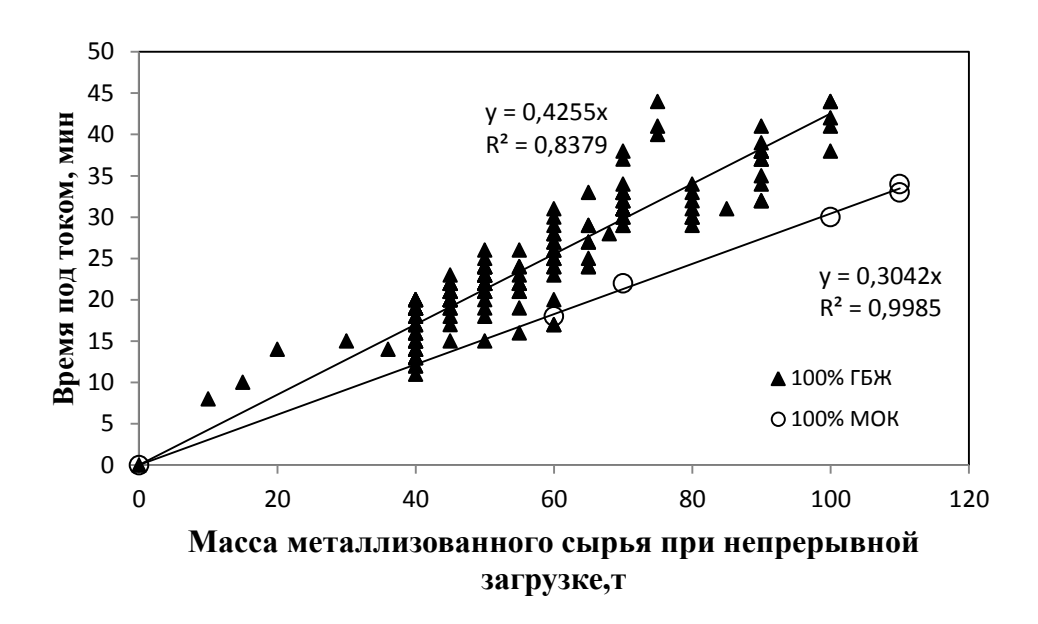


Рисунок 4.8 – Влияние вида металлизованного сырья (ГБЖ или окатыши), загружаемого в печь непрерывно, на продолжительность плавки под током

Из рисунка 4.8 видно, что продолжительность плавления при непрерывной подаче окатышей на 10 - 20 % ниже, чем при непрерывной подаче ГБЖ. Например, при 100т время под током снижается примерно с 40 до 30 минут. Ясно, что при выплавке стали с использованием металлизованных окатышей можно обеспечить более высокую производительность, нежели при использовании ГБЖ. Это можно объяснить тем, что металлизованные окатыши имеют существенно меньший размер и прогреваются и плавятся быстрее, чем ГБЖ [44].

На рисунке 4.9 представлено влияние вида металлизованного сырья (ГБЖ или окатыши), загружаемого в печь непрерывно, на выход годного металла. Линиями изображен термокобалансовый расчет по программе Гиббс. Точки - экспериментальные данные завода EZZ Flat Steel. Выход жидкого металла рассчитывали по формуле:

$$\eta = \frac{m_{\text{Met}} + m_{\text{бол}}}{m_{\text{Met. IIIIXTISI}} + m_{\text{бол}}} 100\%$$
 (4.1)

где т_{мет} - масса металла в сталеразливочном ковше;

тбол – масса болота;

 $m_{\text{мет шихты}}$ — масса металлической шихты.

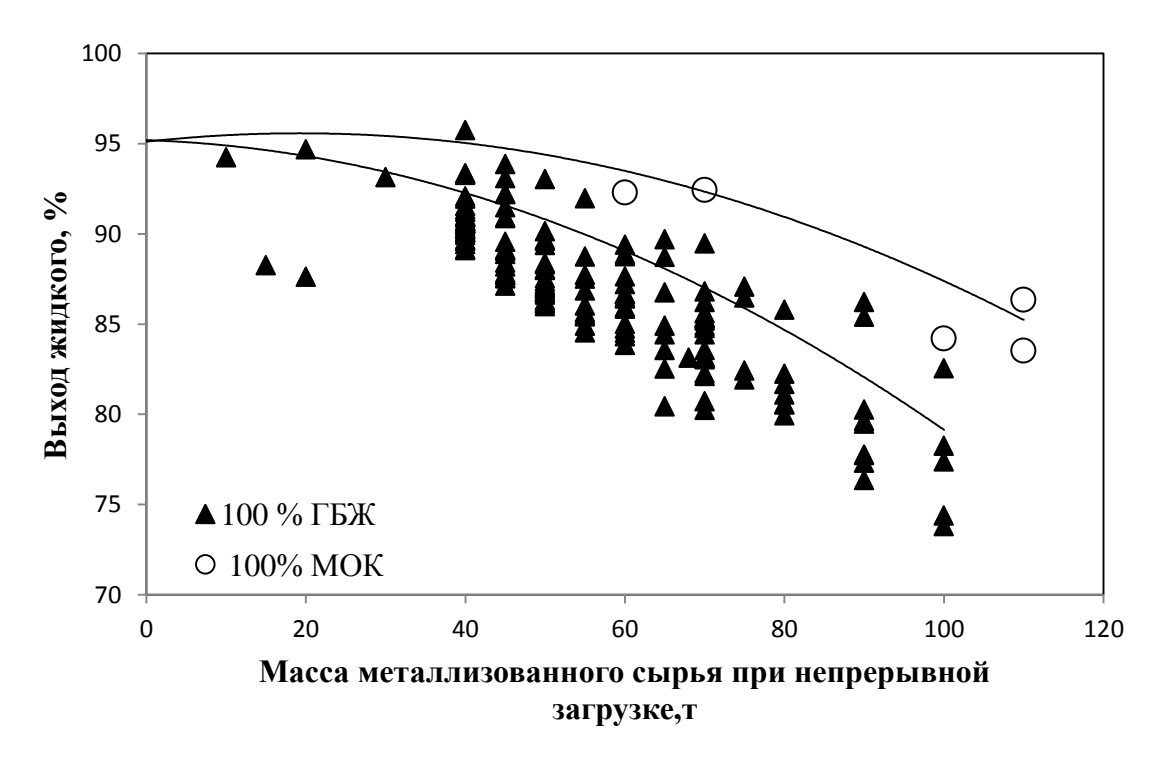


Рисунок 4.9 –Влияние вида металлизованного сырья (ГБЖ или окатыши), загружаемого в печь непрерывно, на выход жидкого металла. Линии – расчет по программе Гиббс. Точки экспериментальные данные завода EZZ Flat Steel.

Из рисунка 4.9 следует, что увеличение массы металлизованного сырья при непрерывной загрузке приводит к значительному снижению выхода жидкого металла. При этом при одной и той же массе (например, 100 т) использование МОК даёт существенно больший выход жидкого металла (88%), чем применение ГБЖ (80 %). В среднем выход годного при использовании МОК на 4 % больше. Это обстоятельство можно объяснить тем, что при использовании ГБЖ расход извести и соответственно масса шлака на 35 % выше (рисунок 4.10) и при высоком содержании FeO в шлаке (до 40 % и выше) потери железа со шлаком значительно возрастают.

Из рисунка 4.9 следует, что максимальный выход жидкого металла отвечает технологии плавки, стали с использованием в шихте 100% металлического лома, с повышением массы металлизованного сырья выход жидкого снижается. В литературе [44] имеются сведения о том, что выход жидкого металла может не изменяться либо даже несколько повышаться. Однако, нужно отметить, что в работе [44] считают, что выход жидкого определяют выход от массы металлического железа, а не от всей массы металлизованного сырья. Ясно, если использовать сильно замусоренный лом, то использование металлизованного сырья может повышать выход жидкого металла. В статье [49] расчет выхода жидкого осуществляется по той же схеме что и в данной работе. При этом наблюдаются близкие цифры по выходу жидкого и также тенденция снижения выхода жидкого с повышением количества металлизованного сырья в шихте.

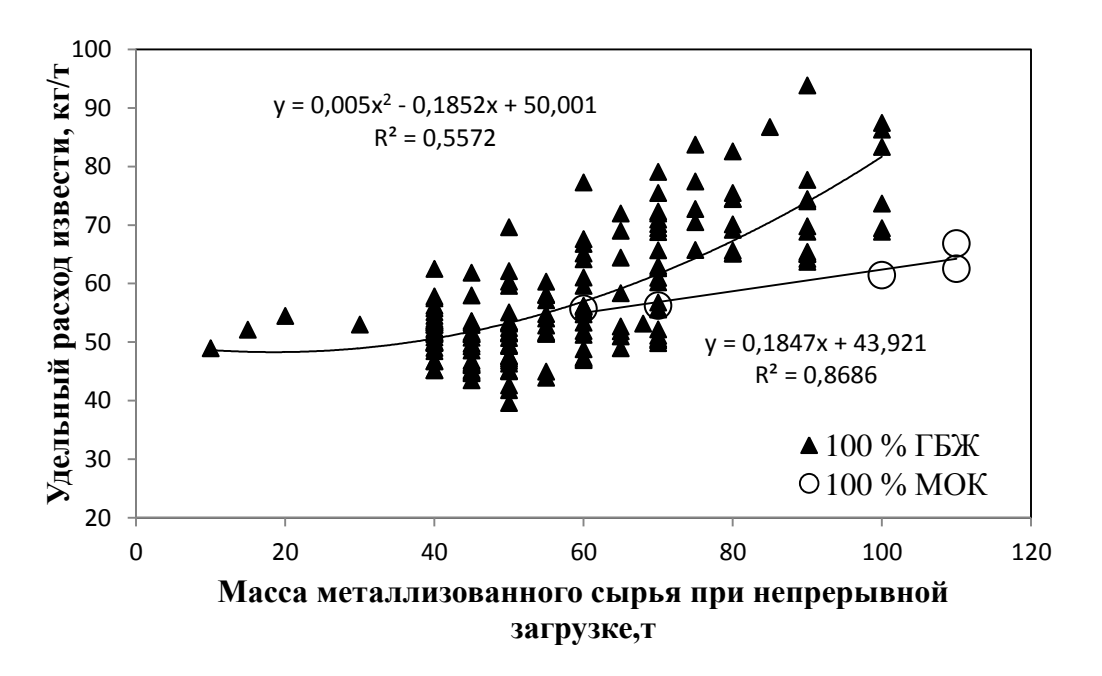


Рисунок 4.10 – Зависимость удельного расхода извести от массы непрерывно загружаемого металлизованного сырья

Из рисунка 4.10 видно, что при непрерывной загрузке металлизованного сырья целесообразно использовать не горячебрикетированное железо, а металлизованные окатыши. Это обеспечивает существенно меньший расход извести. Например, при 100 т металлизованного сырья удельный расход извести при использовании ГБЖ около 85 кг/т, а при использовании МОК примерно 60 кг/т. Именно этим обстоятельством можно объяснить меньшее время под током, соответственно большую скорость плавления МОК (рисунок 4.8).

4.3 Сравнение базовой и новой технологии плавки металлизованного сырья с повышенным содержанием фосфора в дуговой печи ДСП-220

На основе выполненного анализа действующей на заводе EZZ Flat Steel технологии предложена усовершенствованная технология плавки стали в высокомощной ДСП-220 с использованием металлизованного сырья. Предлагаемая технология предполагает использование при непрерывной загрузке только металлизованных окатышей, но не ГБЖ. При необходимости использовать ГБЖ предложено загружать его порционно вместе с ломом в количестве 20 - 25 % от массы шихты в каждой корзине. Основные характеристики усовершенствованной технологии плавки представлены в таблице 4.1 в сравнении с базовой технологией. Из таблицы видно, что по новой технологии при непрерывной загрузке 27% металлизованного сырья (57 т) должно использоваться не ГБЖ, а металлизованные окатыши. ГБЖ целесообразно вводить в состав завалочных корзин, так как в этом случае минимизируется

переход фосфора из ГБЖ в ванну. Отметим, что общее количество металлизованного сырья при переходе от базовой технологии к новой не меняется и составляет 43 % (91 т) от массы шихты.

Анализ практики работы завода EZZ Flat Steel показывает возможность реализации усовершенствованной технологии. По варианту, близкому к предлагаемому, проведено 5 плавок. Показано, что удельный расход электроэнергии снизился с 519 до 485 кВт \cdot ч/т, время под током уменьшилось с 58-66 до 50-55 минут, содержание фосфора в полупродукте снизилось с 0,0082 - 0,016 до 0,0047 - 0,0080 % и выход годного повысился от 87 - 77 до 92 - 83 %.

Таблица 4.1 - Сравнение базовой и новой технологии плавки металлизованного сырья с повышенным содержанием фосфора (0,061% P) в дуговой печи ДСП-220 EZZ Flat Steel, Египет

повышенным содержанием фосфора (Базовая технология				Новая технология				
Масса шихты, т	212								
Количество плавок	126								
шихта	Лом	МОК	ТБЖ	Сумма	Лом	МОК	Жап	Сумма	
Корзина №1, %	37 78 _T	4,5 10т	4,5 10т	46 98т	37 78 _T	4,5 10т	4,5 10т	46 98т	
Корзина №2, %	20 42 _T	3,5 7,5 _T	3,5 7,5 _T	27 57т	20 42 _T	3,5 7,5 _T	3,5 7,5 _T	27 57 _T	
Непрерывная загрузка, %	0	0	27 57 _T	27 57т	0	27 57 _T	0	27 57т	
Сумма, %	57 121т	8 17 _T	35 74 _T	100 212т	57 121т	35 74 _T	8 17т	100 212т	
Полупродукт, [Р] %	0,008	2-0,016	•	•	0,005	- 0,008		•	
Основность	2,51				2,28				
Расход извести, кг/т	45-85				45-62				
Расход кислорода, м ³ /т	38				35,4				
Расход кокса, кг/т	22,35				17,45				
Расход природного газа, м ³ /т	3				3,3				
Расход электроэнергии, кВт*ч/т	520				485				
Время под током, мин	58-66				50-55				
Выход жидкого металла, %	77-87				83-92				

Таблица 4.2 - Сравнение базовой технологии и фактических плавок, проведенных по технологии, близкой к новой

	Базова	Базовая технология				Новая технология			
(P), %	0,061				0,061				
Количество плавок	126	126 5							
Требования к	С	Mn	Si	S	C	Mn	Si	S	
химическому составу	0.055	0,38	0,02	0,004	0,055	0,38	0,02	0,004	
стали (целевое	P	Cu	Ni	Cr	P	Cu	Ni	Cr	
содержание)	0,01	0,10	0,04	0,04	0,01	0,10	0,04	0,04	
	C	Mn	Si	S	C	Mn	Si	S	
Состор но жиноските	0,04	0,03	0,005	0,03	0,04	0,03	0,001	0,05	
Состав полупродукта	P	Cu	Ni	Cr	P	Cu	Ni	Cr	
	0,01	0,10	0,03	0,03	0,007	0,10	0,03	0,03	
	CaO	SiO ₂	FeO	MgO	CaO	SiO ₂	FeO	MgO	
Coord Williams	31,4	12,5	39,0	5,5	30,2	13,2	40,7	4,7	
Состав шлака	Al ₂ O ₃	MnO	P ₂ O ₅	Cr ₂ O ₃	Al ₂ O ₃	MnO	P_2O_5	Cr ₂ O ₃	
	4,7	3,0	0,61	0,73	4,3	4,3	0,74	0,97	

Выводы по главе 4

Выполнен анализ технологии выплавки стали в ДСП-220 с использованием в шихте металлизованных окатышей и ГБЖ с повышенным содержанием фосфора. Показано, что при непрерывной загрузке металлизованного сырья в ДСП целесообразно использовать не горячебрикетированное железо, а металлизованные окатыши. Это обеспечивает получение более низких (примерно в полтора раза) концентраций фосфора в полупродукте. Время под током при непрерывной загрузке окатышей также на 10-20 % меньше, чем при подаче ГБЖ.

При увеличении в шихте доли металлизованного сырья (50% ГБЖ+50% МОК) с повышенным содержанием фосфора от нуля до 60% расход электрической энергия возрастает от 400 до 600 кВт \cdot ч/т, время под током увеличивается от 46 до 68 минут, общее время плавки тоже возрастает с 63 до 100 минут.

Плавка металлизованного сырья с пониженным содержанием фосфора (0,012%) характеризуется близкими значениями расхода энергии и времени плавки. Показано, что применение металлизованного сырья при выплавке стали обеспечивает значительное снижение концентрации меди, хрома, никеля и олова. Их общее количество снижается примерно в три раза (от 0,75 до 0,25 %) вне зависимости от содержания фосфора.

Предложена усовершенствованная технология плавки стали в высокомощной ДСП-220 с использованием металлизованного сырья. Технология предполагает применение при непрерывной загрузке только металлизованных окатышей. При необходимости использовать ГБЖ предложено загружать его порционно вместе с ломом в количестве 20 - 25 % от массы шихты в каждой корзине. Анализ практики работы завода EZZ Flat Steel показывает возможность реализации усовершенствованной технологии. По варианту близкому к предлагаемому проведено 5 плавок. Показано, что содержание фосфора в полупродукте снизилось с 0,0160 - 0,0082 до 0,0080 - 0,005 %, удельный расход электроэнергии уменьшился с 519 до 485 кВт·ч/т, время под током - с 58 - 66 до 50 - 55 минут и выход годного повысился на 4 %.

5 АНАЛИЗ ПРОЦЕССА ДЕФОСФОРАЦИИ ПРИ ВЫПЛАВКЕ СТАЛИ ИЗ МЕТАЛЛИЗОВАННОГО СЫРЬЯ С НИЗКИМ СОДЕРЖАНИЕМ ФОСФОРА

В Главе 3 было показано, что при плавке металлизованного сырья с повышенным содержанием фосфора роль ведущей реакции в процессе дефосфорации играет реакция окисления фосфора и перевод его оксидов в высокоосновный, высокоокисленный шлак, в котором он связывается в фосфаты кальция согласно химической теории шлаков. В то же время было обнаружено, что при этом получает развитие и обратный процесс – рефосфорация. В значительной степени это происходит из-за высокого содержания углерода в губчатом железе и, соответственно, в металле подшлакового слоя, куда попадает окатыш или брикет после загрузки шихты на жидкую ванну.

Обычно в металлургической практике применяют окатыши и ГБЖ с пониженным содержанием фосфора - около 0,01 %. Это достаточно низкая концентрация и, если доля металлизованного сырья в шихте составляет порядка 70 - 80 %, как на Оскольском электрометаллургическом комбинате (ОЭМК) [11], то получение низкофосфористого жидкого полупродукта, в принципе, не представляет сложностей. В то же время особенности процесса дефосфорации для этого случая практически не отражены в литературе. Имеются лишь единичные публикации по этому вопросу [66]. В этих публикациях указывается на опасность процесса рефосфорации при получении низких концентраций фосфора в металле. Однако количественных характеристик и анализа данного процесса не приводится. Поэтому в Главе 5 предпринята проанализировать процесс дефосфорации низкофосфористого попытка металлизованного сырья и провести сравнение особенностей этого процесса при плавке сырья с высоким и низким содержанием фосфора.

В таблице 5.1 приведены требования к химическому составу строительной стали Е400H, %

Таблица 5.1 - Требования к химическому составу стали Е400Н, %

	C	Si	Mn	P	S	Cu	Cr	Ni	Al _{общ}	N
мин.	0,25	0.09	0.50	0	0	0	0	0	0	0
макс.	0,29	0,15	0,60	0,030	0,025	0,35	0,15	0,20	0,003	0,011
цель	0,26	0,11	0,52	0,020	0,020		0,10	0,15		

Плавки проводили в ДСП-220 с использованием в шихте металлического лома и горячебрикетированного железа, всего проведено 25 плавок. На этих плавках доля ГБЖ в шихте в среднем не превышала 25 %. Шихту загружали тремя корзинами. В первой корзине масса лома составляла 80 тонн, масса ГБЖ – 20 тонн. Во второй корзине масса лома – 50 тонн, масса ГБЖ – 20 тонн. В третьей корзине масса лома – 30 тонн, ГБЖ – 10 тонн. После проплавления

шихты, загруженной тремя корзинами, производят удаление шлака (первое удаление шлака). Затем наступает период рафинирования, в ходе которого нагревают металл до заданной температуры за счёт дуги и продувки металла кислородом с расходом от 1000 до 2000 м³ и частично удаляют шлак (второе удаление шлака).

В таблицах 5.2 и 5.3 приведены средние значения температуры, состава металла и шлака перед выпуском из ДСП.

Таблица 5.2 - Средний значения температуры и состава металла перед выпуском, %

С	Mn	S	P	Cu	Cr	Ni	Sn	Si	T
0,15	0,71	0,047	0,017	0,39	0,11	0,12	0,02	0,017	1652

Таблица 5.3 - Средний составы шлака перед выпуском, %

CaO	SiO ₂	FeO	MgO	Al_2O_3	MnO	Cr ₂ O ₃	P_2O_5	TiO ₂
34,31	22,77	20,17	8,21	10,05	2,467	0,99	0,49	0,56

5.1 Влияние доли ГБЖ на содержание фосфора в металле и шлаке

Проведем балансовый анализ поведения фосфора при плавке ГБЖ с содержанием фосфора 0,012 % в составе шихты ДСП-220. Допустим, что концентрация фосфора в полупродукте определяется только содержанием фосфора в ломе (0,036 % - см. Глава 3) и в ГБЖ (0,012 %), то есть процессом дефосфорации пренебрежем и будем считать, что происходит только разбавление шихты по фосфору за счет низкофосфористых брикетов. Тогда концентрация фосфора в шихте $[P]_{\mu}$ и, соответственно, в стали будет равна

$$[P]_{H} = Z_{ROM} \cdot [P]_{ROM} + Z_{\Gamma E \mathcal{K}} \cdot [P]_{\Gamma E \mathcal{K}}$$

$$(5.1)$$

где $Z_{\text{лом}}, Z_{\text{ГБЖ}}$ – доля лома и ГБЖ в шихте соответственно.

Тогда после подстановки в уравнение $[P]_{\text{лом}} = 0,036 \%$ и $[P]_{\text{ГБЖ}} = 0,012 \%$ и учета $Z_{\text{лом}} = 1$ - $Z_{\text{ГБЖ}}$ получим

$$[P]_{H} = (1 - Z_{IDK}) \cdot 0.036 + Z_{IDK} \cdot 0.012,$$
 (5.2)

откуда содержание фосфора в шихте и полупродукте $[P]_{\kappa}$ без учета процесса дефосфорации будет равно

$$[P]_{H} = [P]_{K} = 0.036 - 0.024 \cdot Z_{IBK}$$
(5.3)

На рисунке 5.1 представлена зависимость содержания фосфора в жидком полупродукте перед выпуском из печи от доли горячебрикетированного железа в шихте. Из рисунка видно, что при плавке низкофосфористого сырья наблюдается большой разброс концентраций фосфора в полупродукте: от 0,005 до 0,03 %. Максимальные экспериментальные значения близки к прямой разбавления по фосфору - уравнение (5.3). Согласно нормативным

техническим документам максимальная концентрация фосфора в получаемой таким образом стали не должна превышать 0,03 % (таблица5.1).

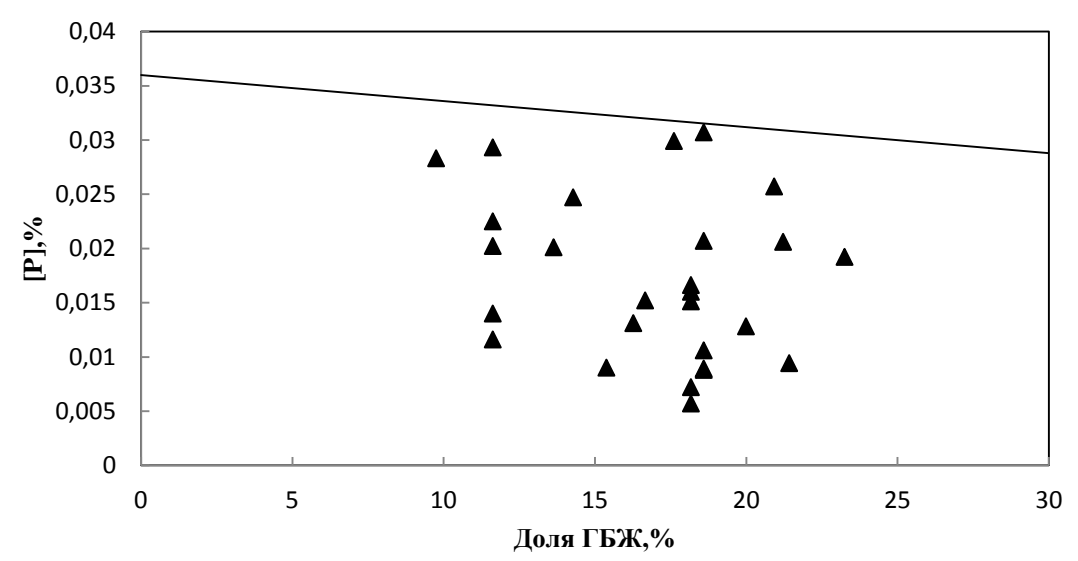


Рисунок 5.1 – Содержание фосфора в жидком полупродукте перед выпуском из ДСП в зависимости от доли ГБЖ в шихте. Точки на графике – экспериментальные данные. Линия отвечает уравнению (5.3)

Степень удаления фосфора в это случае также отличается большим разбросом- от 10 до 80 % (рисунок 5.2). Отметим, что при отсутствии ГБЖ в шихте степень дефосфорации составляет 90-95%.

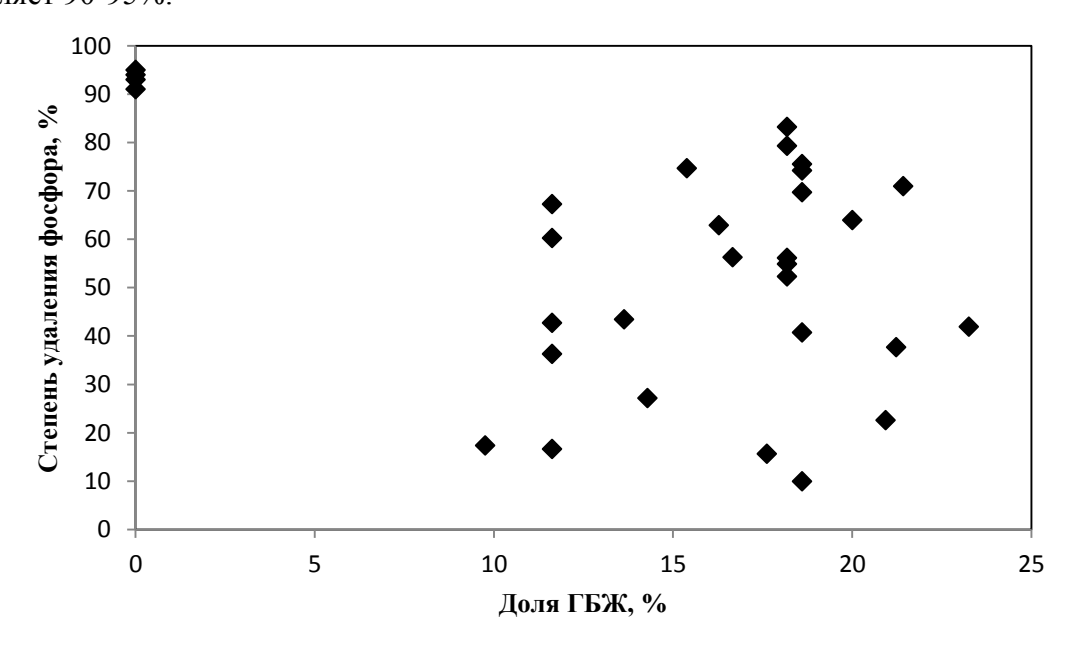


Рисунок 5.2 – Зависимость степени удаления фосфора от доли ГБЖ в шихте

В принципе можно представить, что фосфор распределяется сразу между тремя фазами: металл, шлак и газ. Именно этим обстоятельством вызван такой разброс данных. Для того,

чтобы выяснить этот вопрос, выполнили баланс по фосфору для всех плавок. Пример баланса для одной из плавок приведен в таблице 5.4.

Таблица 5.4 - Материальный баланс по фосфору для плавки с 11,6 % ГБЖ в шихте

Задано, кг		Масса Р, кг	%	Получено, кг		Масса Р, кг	%
Лом	190000*0,036/100	68,4	71,57	Металл	(190000+30000)*	30, 8	30,97
					0,014/100		
ГБЖ	25000*0,012/100	3	3,14	Шлак	33440*0,189/100	63,13	63,49
Кокс	3014*0,01/100	0,301	0,315	Пыль	5500*0,1/100	5,5	5,53
Известь	11000*0,043/100	4,73	4,95				
Доломит	1000*0,1/100	1	1,05				
«Болото»	30000*0,014/100	4,2	4,39				
предыдущей							
плавки							
От шлака	7380*0,189/100	13,95	14, 58				
предыдущей							
плавки							
Итого		95,57	100	Итого		99,43	100
			Невязка		3,86 кг		

Из таблицы 5.4 видно, что основная часть фосфора поступает в ванну из лома (71,57 %) и шлака предыдущей плавки (14,58 %). В продуктах плавки основная часть фосфора содержится в шлаке (63,49 %) и металле (30,97 %).

Такого рода балансы сделаны для каждой плавки. Сводка результатов баланса по фосфору для всех плавок приведена на рисунке 5.3. Из рисунка видно, что фосфор действительно распределяется между металлом и шлаком и не удаляется в газовую фазу. Погрешность баланса не превышает ± 20...25 %. Этот разброс можно объяснить нестабильностью состава лома и колебанием массы шлака, остающегося в печи после выпуска. Вывод о том, что фосфор не удаляется в газовую фазу в значительном количестве, подтверждается и тем что, точки располагаются на рисунке 5.3 по обе стороны от диагонали, то есть отсутствует некое системное отклонение, которое можно было бы связать с переходом фосфора в газовую фазу. В связи с этим дальнейший анализ поведения фосфора будем проводить, исходя из условия, что фосфор перераспределяется только в системе «металл — шлак». Проанализируем зависимости коэффициента распределения фосфора от основных параметров плавки, влияющих на процесс дефосфорации.

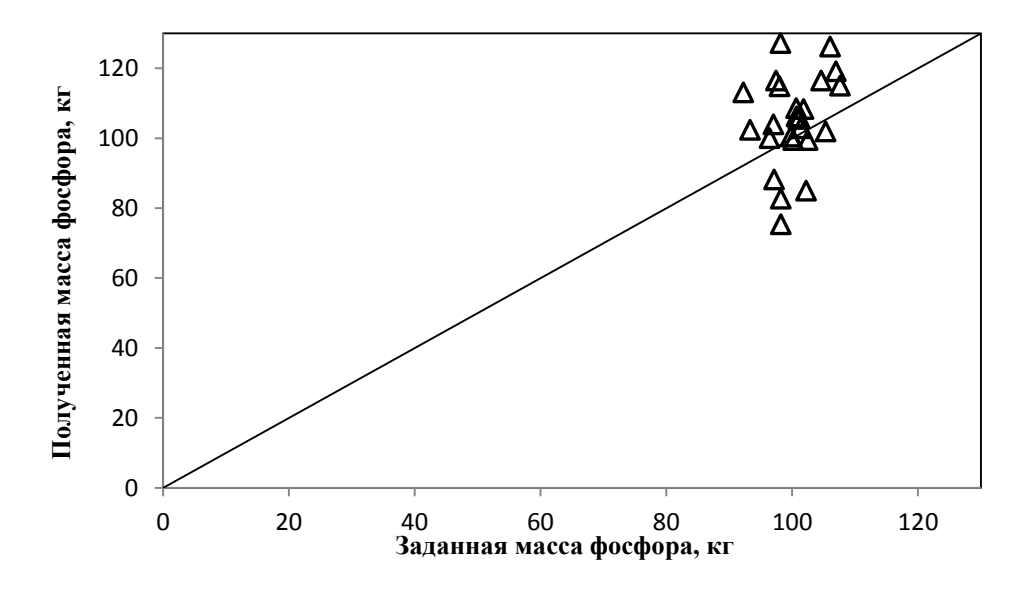


Рисунок 5.3 – Балансовое соотношение между массами заданного и полученного на плавке в ДСП-220 фосфора при условии, что он распределяется между металлом и шлаком и не удаляется в газовую фазу

На рисунке 5.4 показана зависимость содержания оксида фосфора в шлаке перед выпуском из ДСП от доли ГБЖ в шихте. Из рисунка 5.4 видно, что содержание оксида фосфора в шлаке перед выпуском из ДСП практически не зависит от доли ГБЖ в шихте. Если принять что содержание фосфора в ломе остается таким же, как при плавке низкофосфористых окатышей и ГБЖ (0,036%), то проблема должна состоять в нестабильности процесса дефосфорации.

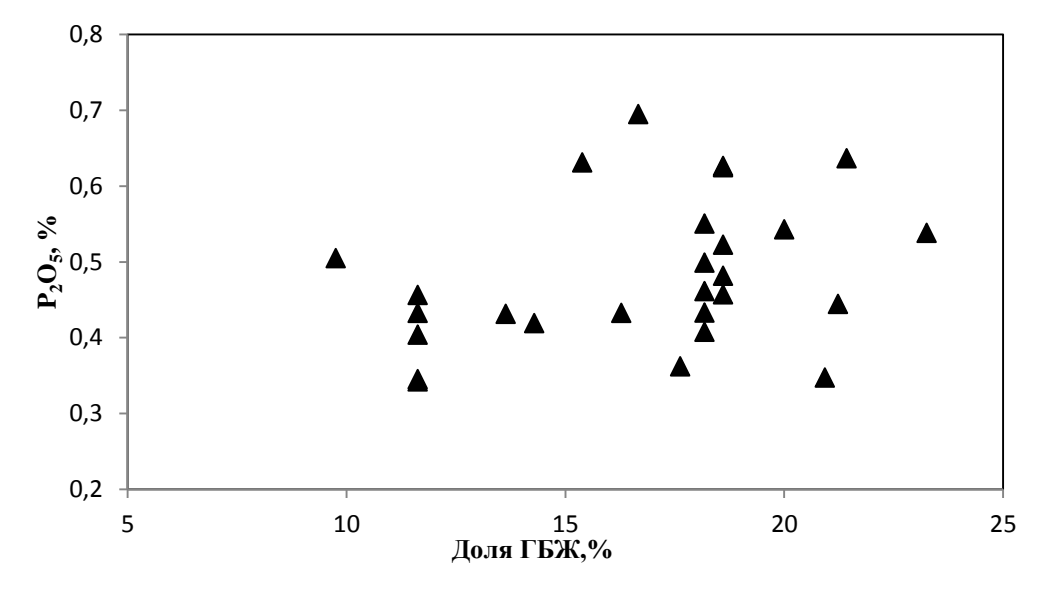


Рисунок 5.4— Содержание оксида фосфора в шлаке перед выпуском из ДСП в зависимости от доли ГБЖ в шихте

5.2 Анализ процесса дефосфорации при плавлении ГБЖ с низким содержанием фосфора

График зависимости фактического коэффициента распределения фосфора L_{φ} от доли ГБЖ в шихте (рисунок 5.5) показывает, что при увеличении доли ГБЖ от 0 до 10 % коэффициент распределения фосфора снижается со 100 до примерно 20 и далее практически не меняется. При этом разброс значений L_{φ} остаётся достаточно большим. Это подтверждает, что распределение фосфора между металлом и шлаком весьма нестабильно. Действительно величина L_{φ} колеблется от 5 до 30 при практически одной и той же доле ГБЖ (18%). То есть коэффициент распределения фосфора не является даже кажущейся константой, так как L_{φ} изменяется в 5 раз. Это делает необходимым поиск комплексного инварианта (характеристики), который учитывал бы влияние основных факторов плавки (состав шлака, металла, основность и температура)

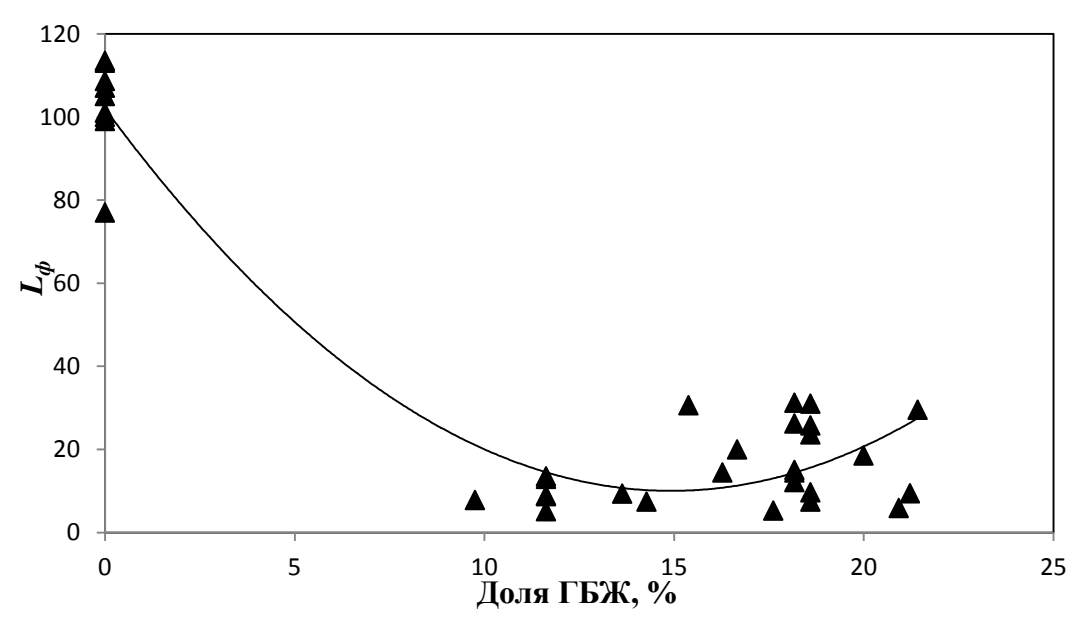


Рисунок 5.5— Фактический коэффициент распределения фосфора в зависимости от доли ГБЖ в шихте

Одним из таких инвариантов может быть равновесный коэффициент распределения фосфора между металлом и шлаком. Как показано в главе 3 эта величина зависит от окисленности, основности и температуры. На рисунке 5.6 представлена зависимость равновесного коэффициента распределения фосфора от доли ГБЖ в шихте, рассчитанная по уравнению 3.10 - 3.14 главы 3

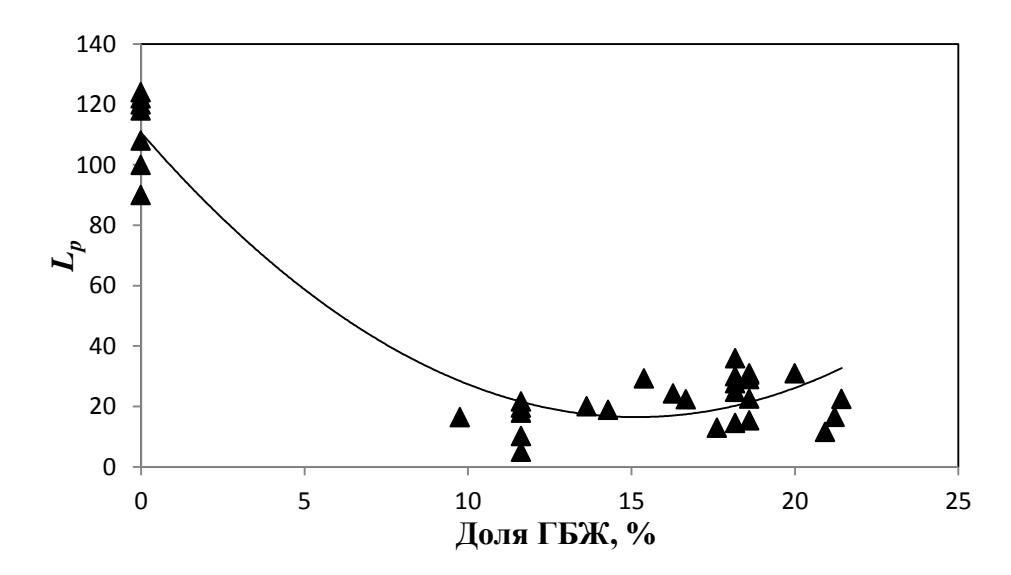


Рисунок 5.6 – Равновесный коэффициент распределения фосфора в зависимости от доли ГБЖ в шихте

Из рисунка 5.6 видно, что величина $L_{\text{равн}}$ снижается при введении ГБЖ в состав шихты и варьирует от 5 до 40 то есть почти на порядок. Это означает, что реальный процесс плавки и дефосфорации низкофосфористых ГБЖ нестабилен и протекает неоптимальном режиме. В этом случае устойчивым фактором управления концентрацией фосфора остается разбавление фосфора за счет присадки низкофосфористого ГБЖ. Химизм процесса из рисунка 5.6 не проявляется. Отметим, тем не менее, что в первом приближении наблюдается определенная корреляция между фактическими и равновесными значениями коэффициента распределения фосфора (рисунок 5.7).

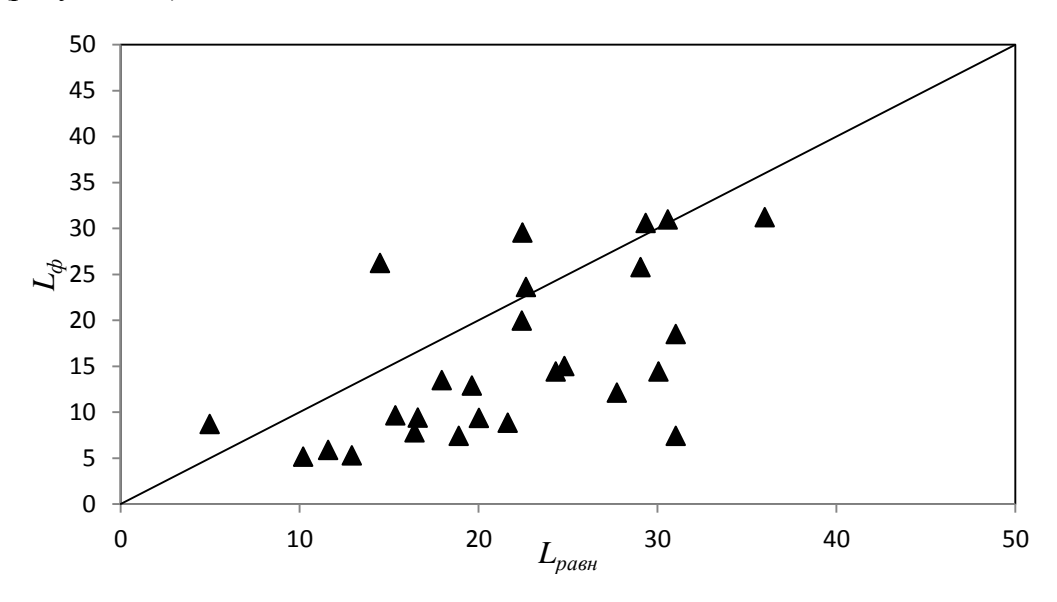


Рисунок 5.7— Соотношение между фактическими и равновесными значениями коэффициентов распределения фосфора

Отношение фактического значения к равновесному в определенной степени характеризует степень достижения равновесия реакции дефосфорации $(2,5\text{FeO}_{(\pi)}+[P]=\text{PO}_{2.5}+\text{Fe}_{(\pi)})$. Это отношение в зависимости от доли ГБЖ представлено на рисунке 5.8.

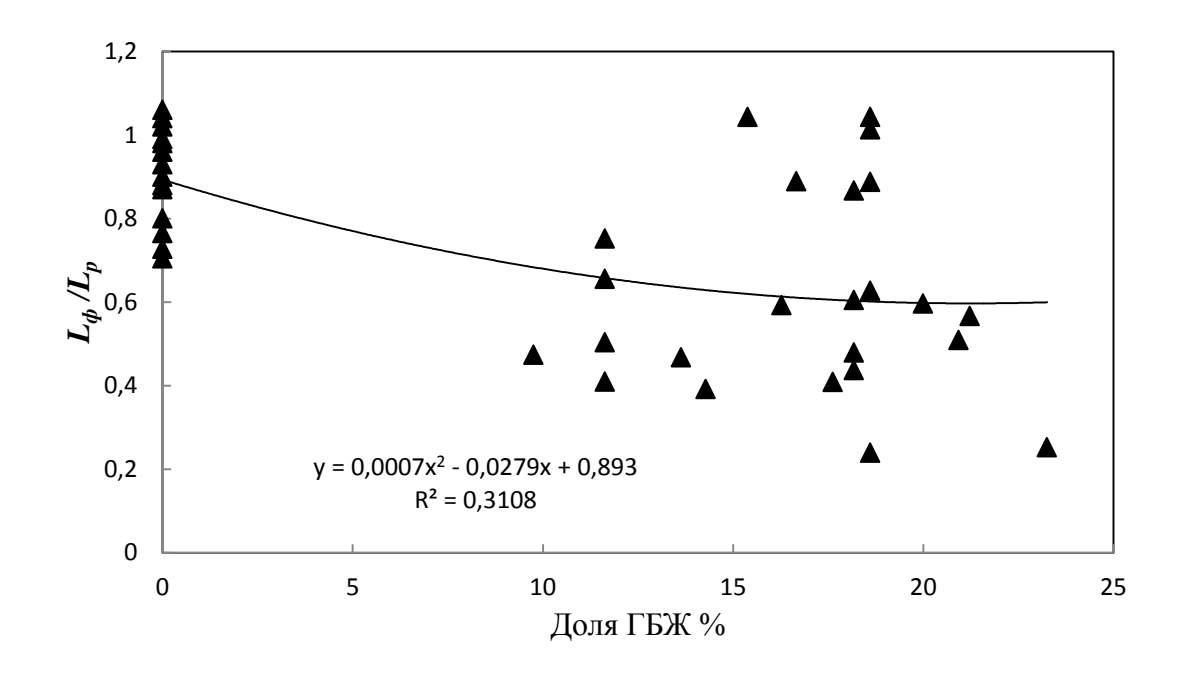


Рисунок 5.8 – Зависимость степени достижения равновесия реакции дефосфорации (5.7) от доли ГБЖ в шихте

Из рисунка 5.8 видно, что при плавке лома степень достижения равновесия Lф/Lp близка к единице, то есть в этом случае процесс дефосфорации достаточно близок к равновесию. Это классический вариант описания процесса дефосфорации [55], при котором процессы рефосфорации, происходящие в той или иной форме, не учитываются. Видно, что применительно к лому степень достижения равновесия является не просто высокой величиной, но и обладает достаточной стабильностью. Этого нельзя сказать применительно к плавке шихты с использованием ГБЖ, загружаемого в корзину. Видно, что в этом случае степень достижения равновесия Lф/Lp колеблется в интервале от 0,2 до 1,0. Рисунок 5.8 в очередной раз показывает, что процесс дефосфорации крайне нестабилен в данном случае.

Дефосфорация металла протекает за счет того, что фосфор переходит из металла в шлак. В связи с этим представляет интерес изучить зависимость кратности шлака от содержания ГБЖ в шихте (рисунок 5.9). Массу шлака оценивали по массе загруженной в печь извести уравнение (3.4).

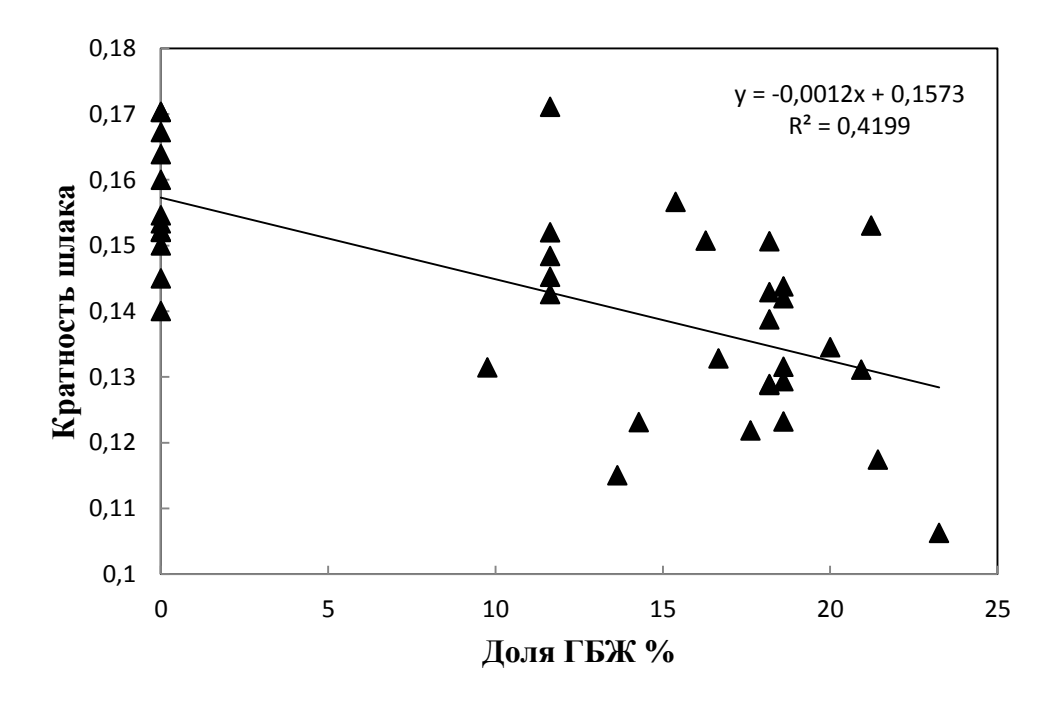


Рисунок 5.9– Зависимость кратности шлака от доли ГБЖ в шихте

Как видно из рисунка 5.9, действующая на предприятии EZZ Flat Steel технология характеризуется снижением кратности шлака. Эта зависимость отличается от обычно наблюдаемых закономерностей (глава 3). Очевидно, технологи завода для получения требуемого содержания фосфора делают основную ставку на разбавление лома чистым по фосфору ГБЖ, а не на развитие дефосфорации шлаком. В связи с этим целесообразно оценить возможности действующей технологии с целью ее усовершенствования. Ясно, что необходимо проанализировать влияние состава шлака, металла и температуры на фактическую величину коэффициента распределения найденным фосфора, затем дать зависимостям термодинамическую трактовку. Конечной целью такого анализа является разработка технологических рекомендаций, внедрение которых должно обеспечить пониженную и стабильную концентрацию фосфора в полупродукте.

На рисунке 5.10 изображена зависимость фактического коэффициента распределения фосфора от кратности шлака. Видно, что фактический коэффициент распределения фосфора не зависит от кратности шлака. Это может быть связано с разным химическим составом шлака.

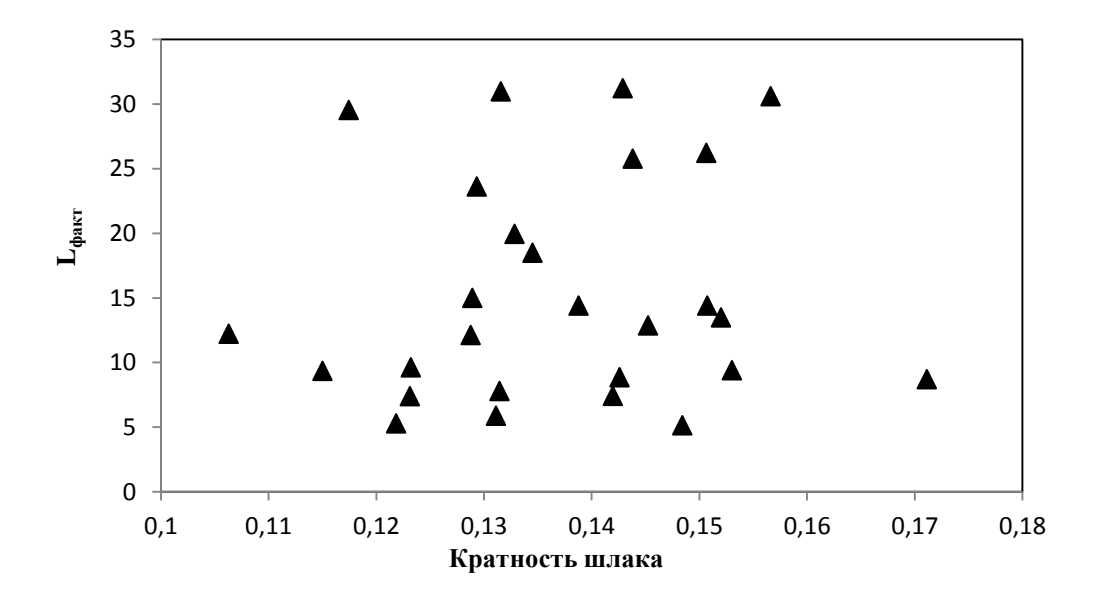


Рисунок 5.10 – Зависимость фактического коэффициента распределения фосфора от кратности шлака

Как видно из рисунка 5.11 значение L_{факт} зависит от содержания монооксида железа в шлаке. С повышением концентрации FeO в шлаке коэффициент распределения фосфора растет, что отвечает общему представлению о факторах дефосфорации металла шлаком и подтверждается расчетами равновесного коэффициента распределение фосфора (соответствующий график приведен на рисунке 5.12). Отметим, что фактическое содержание FeO в шлаке зависит от концентрации углерода в ванне (рисунок 5.13). Шлак при этом является сильно окислительным. Это следует из того, что экспериментальные точки лежат достаточно высоко над кривой на графике, показывающей зависимость равновесного содержания FeO в шлаке от концентрации углерода в металле.

Тот же известный характер носит зависимость фактического коэффициента распределения фосфора от основности шлака (рисунок 5.14). Равновесные данные рисунка 5.15, на котором представлены результаты расчета равновесного коэффициента L, подтверждают зависимости на рисунке 5.14.

Согласно общим представлениям величина $L_{\phi a \kappa \tau}$ должна понижаться с повышением температуры, однако, из данных, представленных на рисунке 5.16, это не следует. Видно, что фактический коэффициент распределения фосфора не зависит от температуры.

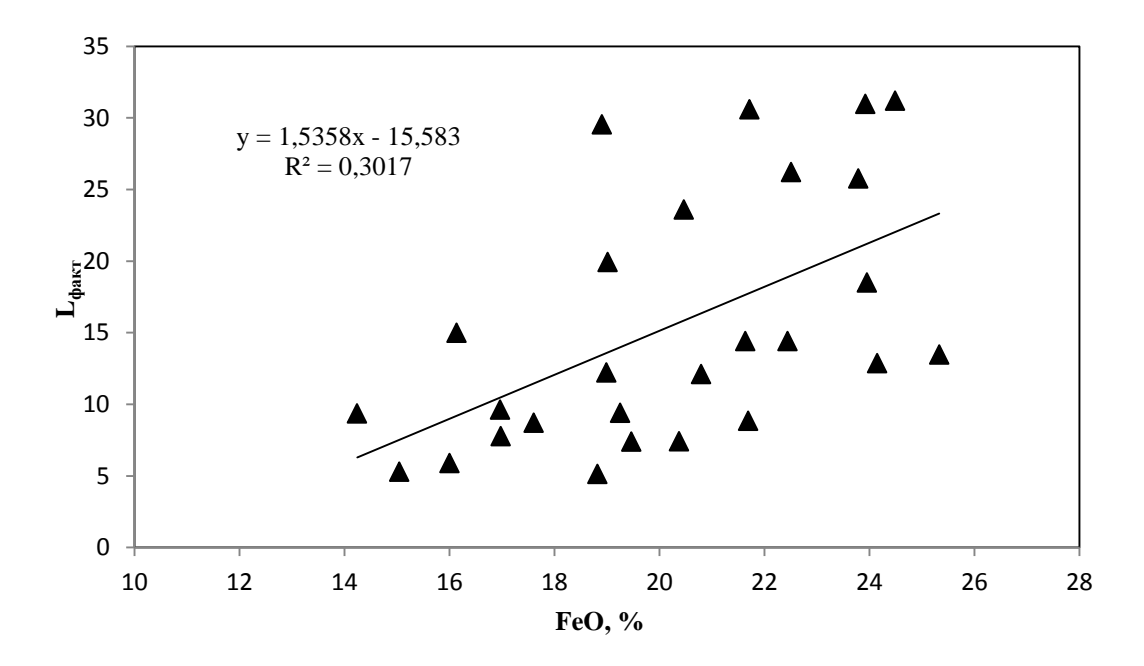


Рисунок 5.11 – Зависимость фактического коэффициента распределения фосфора от содержания монооксида железа в шлаке

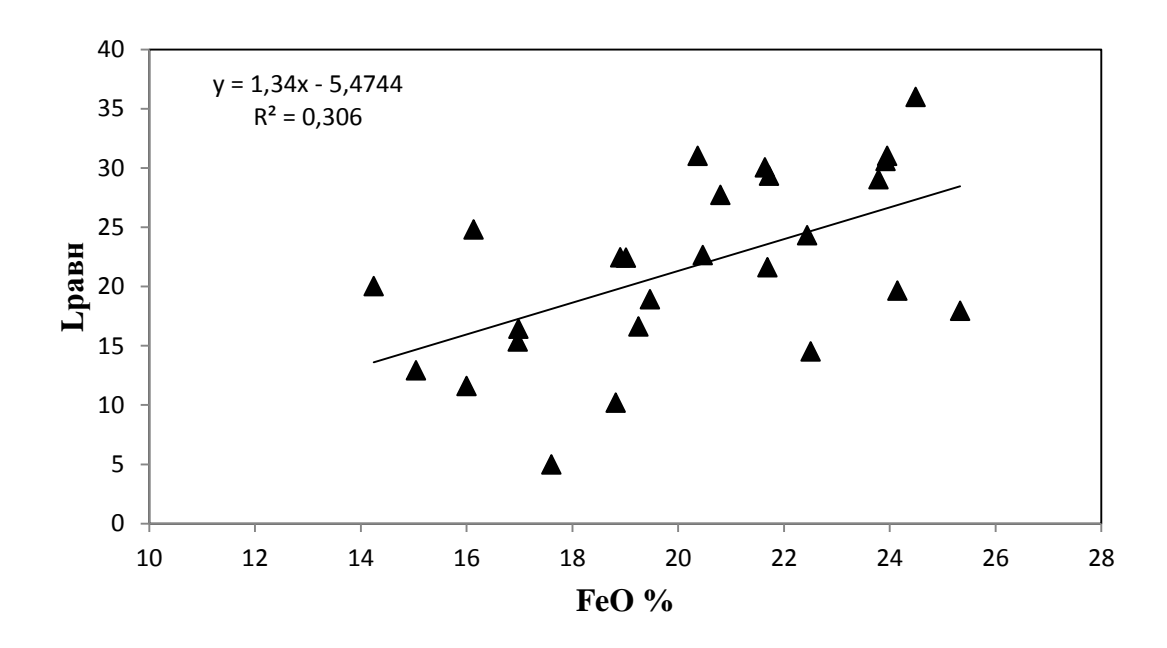


Рисунок 5.12 – Равновесный коэффициент распределения фосфора в зависимости от содержания оксида железа в шлаке

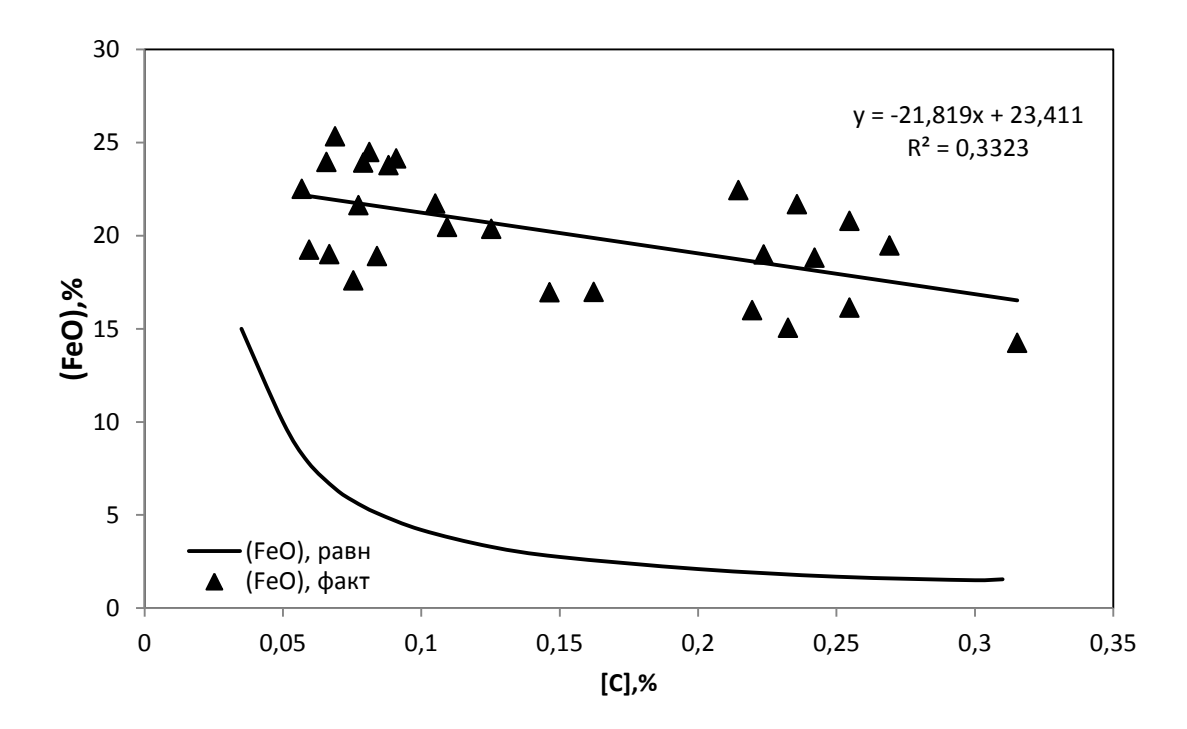


Рисунок 5.13 – Зависимость содержания оксида железа в шлаке от концентрации углерода в полупродукте

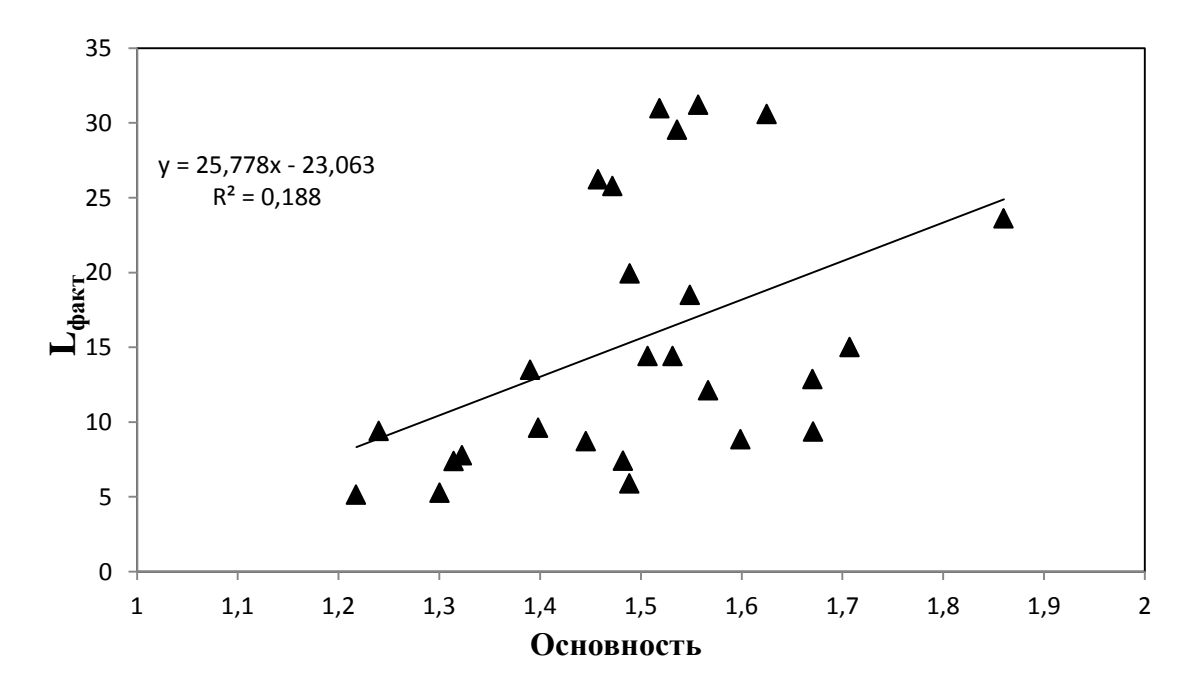


Рисунок 5.14 — Зависимость фактического коэффициента распределения фосфора от основности шлака

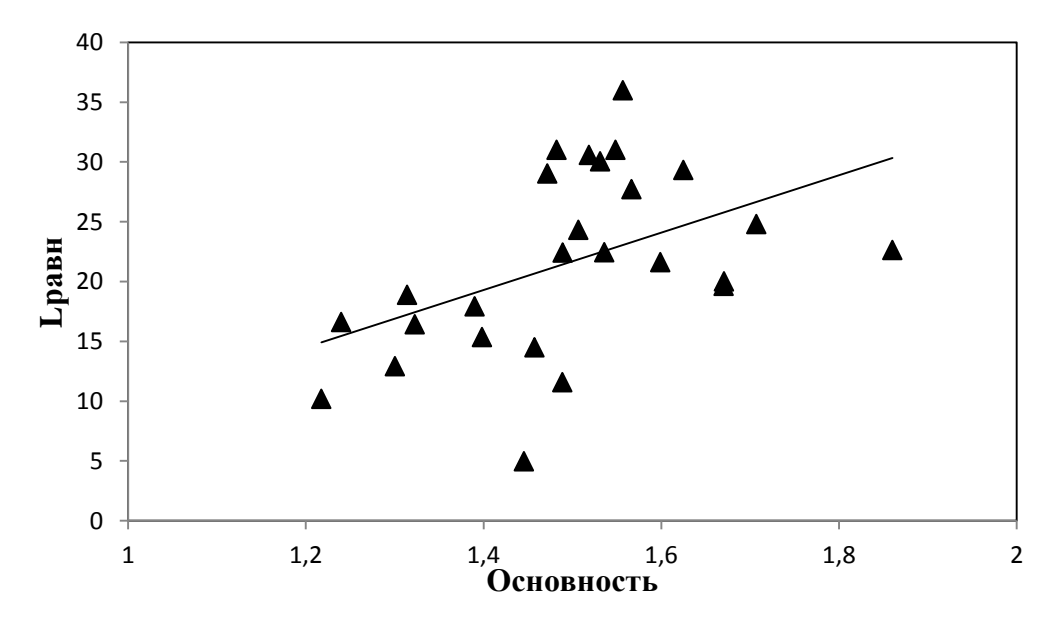


Рисунок 5.15 – Зависимость равновесного коэффициента распределения фосфора от основности шлака

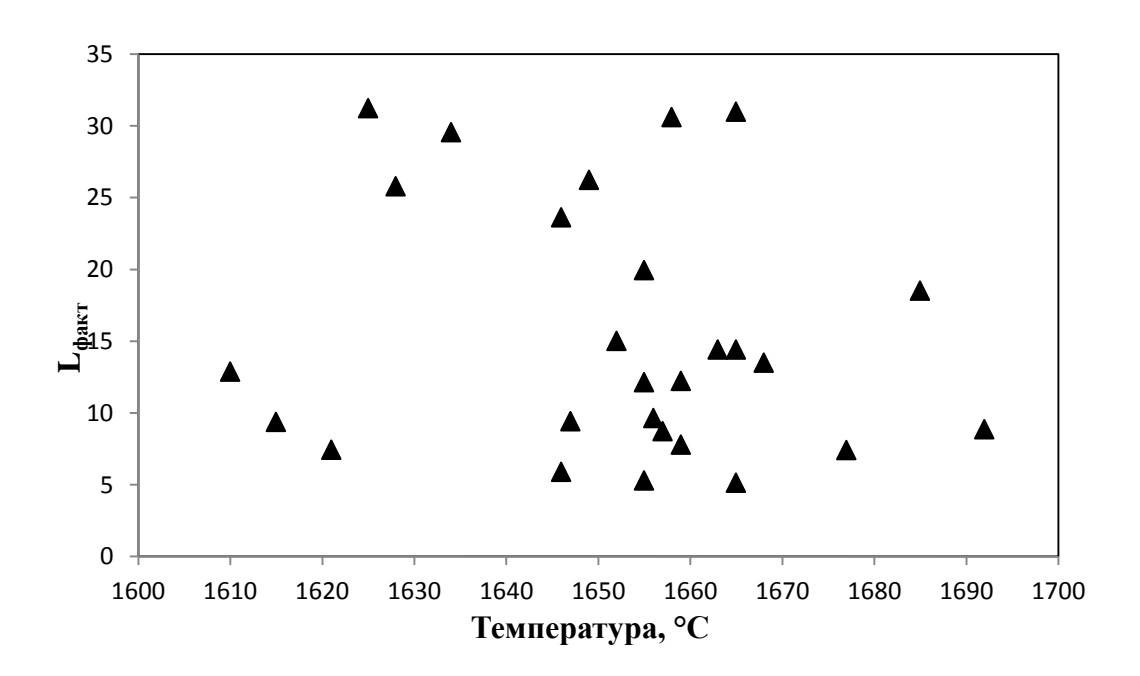


Рисунок 5.16 – Зависимость фактического коэффициента распределения фосфора от температуры ванны

В главе 3 было показано значительное влияние содержания углерода в ванне на концентрацию фосфора в металле и на значение $L_{\phi a \kappa \tau}$. Из рисунка 5.18 видно, что и в случае плавки низкофосфористого горячебрикетированного железа эта закономерность соблюдается — с повышением концентрации углерода в ванне величина $L_{\phi a \kappa \tau}$ снижается. В то же время из рисунков 5.17 и других приведённых зависимостей нельзя сделать выводы о химизме (механизме) процесса дефосфорации в присутствии углерода в ванне печи и об оптимальной концентрации углерода, которая будет обеспечивать максимальное удаление фосфора.

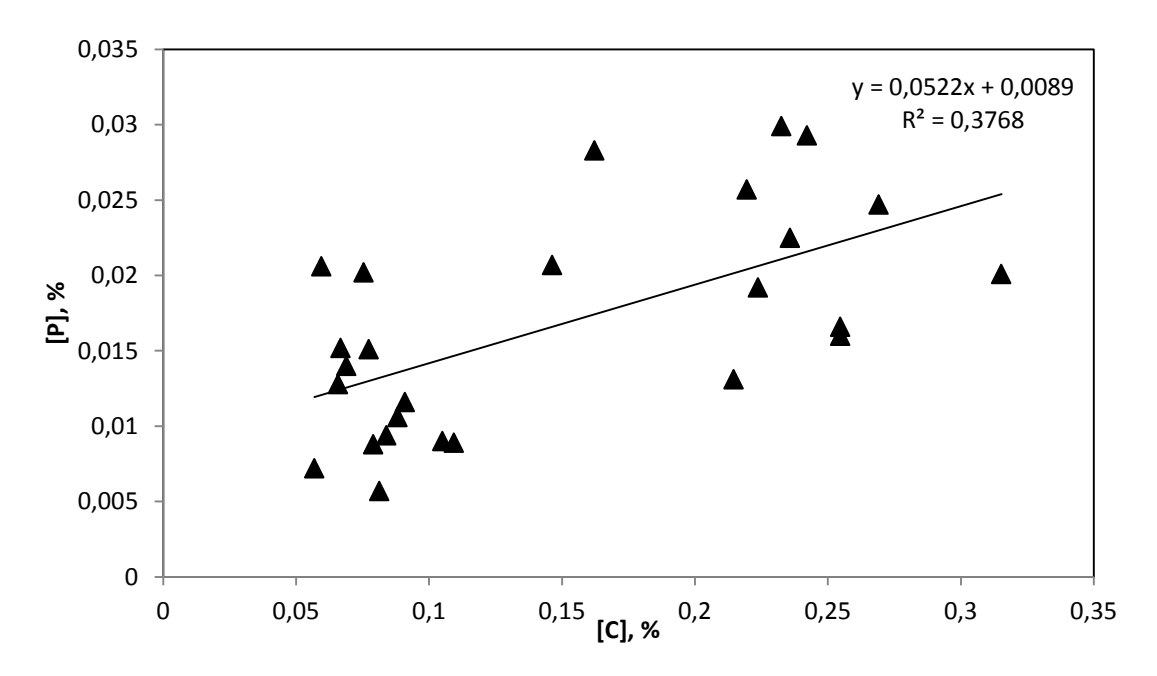


Рисунок 5.17 – Зависимость содержания фосфора от содержании углерода в полупродукте

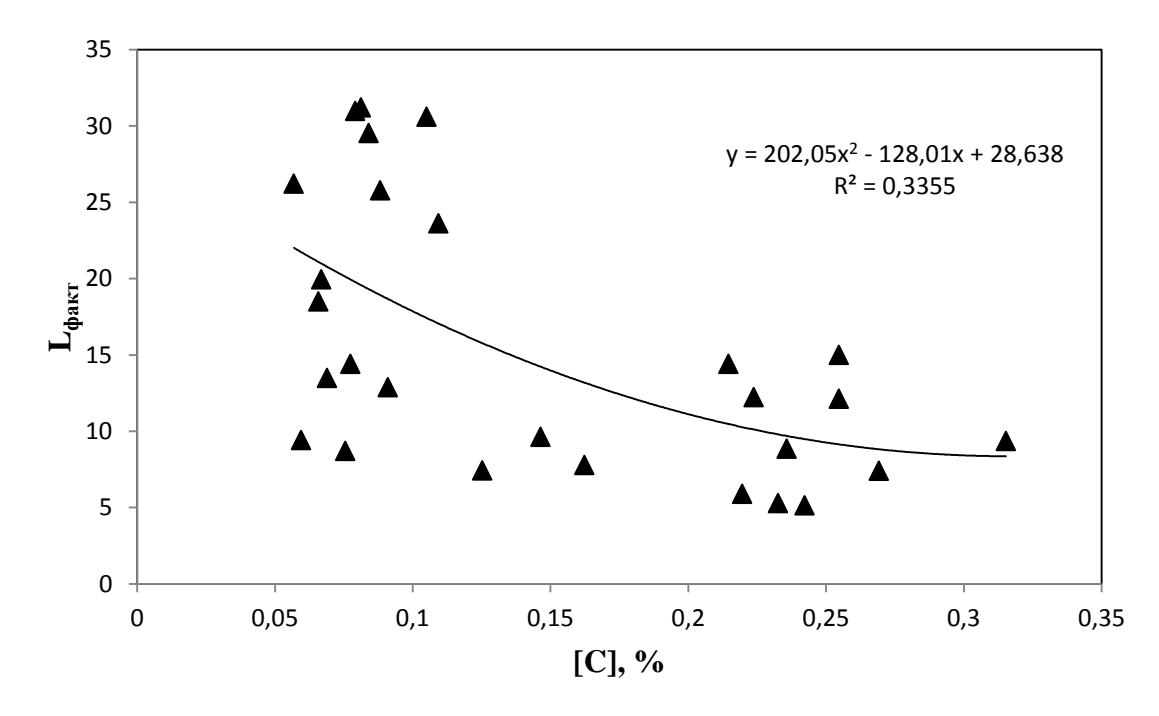


Рисунок 5.18— Зависимость фактического коэффициента распределения фосфора от концентрации углерода

Для решения этой задачи целесообразно рассмотреть движущие силы возможных реакций, протекающих в системе «металл – шлак – газовая фаза». В рамках предложенной схемы процесса дефосфорации при плавке металлизованного сырья (глава 3) будем использовать реакции окисления оксидом железа FeO фосфора (3.8), углерода (3.39) и реакции рефосфорации (3.22). Оценим изменение энергии Гиббса при протекании этих реакций до равновесия в зависимости от концентрации углерода. Для фактических концентраций

компонентов металла и шлака, давления СО 1,03 атм по уравнению изотермы Вант-Гоффа рассчитано изменение энергии Гиббса для каждой из реакций (3.8), (3.39) и (3.22) (глава 3) по уравнениям (3.38), (3.40) и (3.41), соответственно. Остальные допущения те же, что и в главе 3.

Полученные значение энергии Гиббса при протекании реакций окисления оксидом железа FeO фосфора, углерода и реакции рефосфорации представлены на рисунке 5.19.

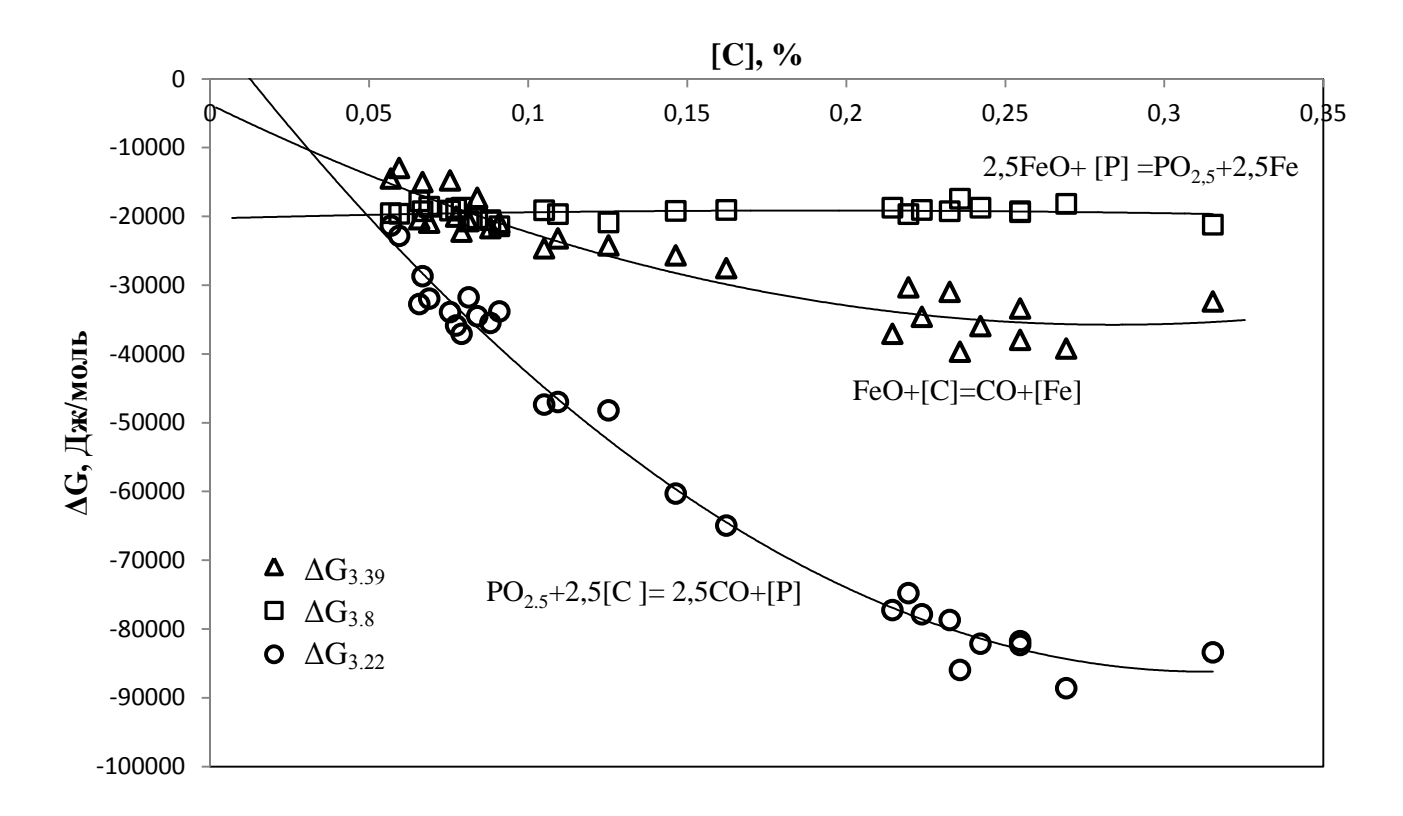


Рисунок 5.19- Изменение энергии Гиббса реакций дефосфорации, обезуглероживания и рефосфорации в зависимости от концентрации углерода в ванне ДСП. Точками на графике показаны результаты расчёта ΔG для каждой отдельной плавки

Из рисунка 5.19 видно, что при концентрации углерода в ванне ДСП выше 0,08% дефосфорация будет затруднена, так как будет развиваться реакция окисления углерода оксидами железа. Следует отметить, что изменения энергии Гиббса реакций дефосфорации и окисления углерода относительно близки, поэтому эти реакции протекают, скорее всего, параллельно. Совсем другая ситуация наблюдается при сравнении ΔG реакций дефосфорации и рефосфорации. Начиная с концентрации углерода 0,045% величина $\Delta G_{3.22}$ реакции рефосфорации становится более отрицательной, чем $\Delta G_{3.8}$ реакции дефосфорации, то есть, начиная с этой концентрации и выше, термодинамически возможно протекание процесса рефосфорации. Видно, что при концентрации углерода порядка 0,2% процесс дефосфорации будет практически подавлен, так как $\Delta G_{3.8} = -20000$, а $\Delta G_{3.22} = -75000\,\mathrm{Дж/моль}$. Этот

теоретический вывод вполне отвечает экспериментальном наблюдаемым результатам как в главе 3, так и в главе 5. Эти выводы необходимо учитывать при разработке технологии плавки и дефосфорации металлизованного сырья с пониженным содержанием фосфора.

На рисунке 5.20 представлена зависимость концентрации углерода в полупродукте от общего расхода кислорода. Из рисунка следует, что наблюдается связь между концентрацией углерода в полупродукте и общим расходом кислорода. Видно, что с повышением расхода кислорода концентрация углерода в полупродукте понижается. В то же время зависимость эта характеризуется большим разбросом экспериментальных точек. Для выяснения причин такого разброса было построена зависимость общей массы углерода $m_{C,\Sigma}$ введеного в печь от расчётного расхода кислорода $V_{O_2,C}$, идущего на окисление углерода (рисунок 5.21). Величина $m_{C,\Sigma}$ включает в себе углерод, поступающий в ванну из лома $m_{c,\text{лом}}$, ГБЖ- $m_{c,\text{ГБЖ}}$, кускового кокса $m_{c,\text{кокс}}$ и порошка кокса $m_{c,\text{фурм}}$, подаваемого через фурмы для вспенивания шлака и углерод болота $m_{c,\text{болото}}$:

$$m_{C,\Sigma} = m_{C,NOM} + m_{C,\Gamma E \mathcal{K}} + m_{C,\Sigma \kappa \kappa \kappa c} + m_{C,\Sigma \phi \nu \rho M} + m_{C,\delta o N o m o};$$

$$(5.4)$$

Массу углерода, поступившего с ломом, вычислим по формуле:

$$m_{C,nom} = \frac{m_{nom}}{100\%} \cdot C_{nom}, \tag{5.5}$$

где $m_{\scriptscriptstyle \it DOM}$ - масса лома в шихте, кг;

 $C_{\text{\tiny \it DOM}} = 0,20\%$ - содержание углерода в ломе, %;

Массу углерода, внесённого с ГБЖ, определим по формуле:

$$m_{C,\Gamma E \mathcal{K}} = \frac{m_{\Gamma E \mathcal{K}}}{100\%} \cdot C_{\Gamma E \mathcal{K}}, \tag{5.6}$$

где $m_{\Gamma E W}$ - масса горячебрикетированного железа, кг;

 $C_{\mathit{\Gamma E\! K}} = 1,67\%$ - содержание углерода в ГБЖ, %;

Массу углерода, внесённого с коксом, определим по формуле:

$$m_{C,\kappa\kappa\kappa} = \frac{m_{\kappa\kappa\kappa}}{100\%} \cdot C_{\kappa\kappa\kappa}, \tag{5.7}$$

где $m_{_{\!K\!O\!K\!C}}$ - масса кокса в шихте, кг;

 $C_{\text{кокс}} = 90\%$ - содержание углерода в коксе, %;

Массу углерода, внесённого с порошком кокса, определим по формуле:

$$m_{C,nopoulok} = \frac{m_{nopoulok}}{100\%} \cdot C_{nopoulok}$$
(5.8)

где $m_{nopoulo\kappa}$ - масса порошка в шихте, кг;

 $C_{nopoulok} = 90\%$ - содержание углерода в порошке кокса, %;

Массу углерода, внесённого с болотом, определим по формуле:

$$m_{C,\delta o n o m o} = \frac{m_{\delta o n o m o}}{100\%} \cdot C_{\delta o n o m o} \tag{5.9}$$

где $m_{\rm formo}$ - масса остатка металла от предыдущей плавки, кг;

 $C_{\rm {\it fonomo}} = 0{,}0148\%$ - среднее содержание углерода в болоте, %;

Общий расход кислорода, поступившего в печь $V_{O_2,\Sigma}$, кислород, пошедший на окисление углерода $V_{O_2,C}$, окисление железа до (FeO) - $V_{O_2,FeO}$ и кислород, поглощённый ванной из атмосферы печи - $V_{O_2,nodcoc}$ связаны соотношением:

$$V_{O_2,C} = V_{O_2,\Sigma} + V_{O_2,nodcoc} - V_{O_2,FeO}.$$
 (5.10)

Объём кислорода $V_{{\cal O}_2, {\it FeO}}$ вычисляли по уравнению

$$V_{O_2, FeO} = \frac{m_{uxax} \cdot (\% FeO)}{100\%} \cdot \frac{11, 2}{72}, \tag{5.11}$$

где $m_{u_{J}a_{K}}$ - масса шлака на каждой отдельной плавке, кг;

(%FeO) – содержания оксида железа в шлаке;

72- молярная масса FeO;

11,2- половина объёма одного киломоля кислорода.

Массу шлака определяли по формуле (3.4) в главе 3

Величина $V_{O_2,nodcoc}$ — объём кислорода, поступающего из атмосферы печи в металл.

По данным [74] средний уровень подсосов кислорода из атмосферы можно оценить величиной 5 m^3 на тонну металла.

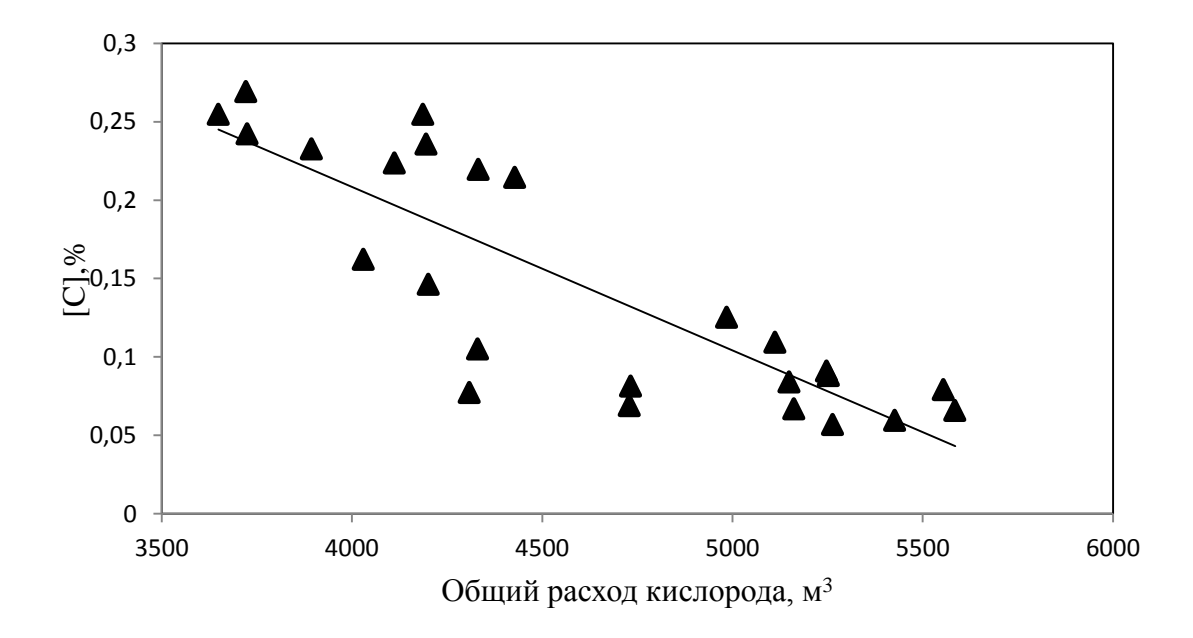


Рисунок 5.20 – Зависимость концентрации углерода в полупродукте от общего расхода кислорода

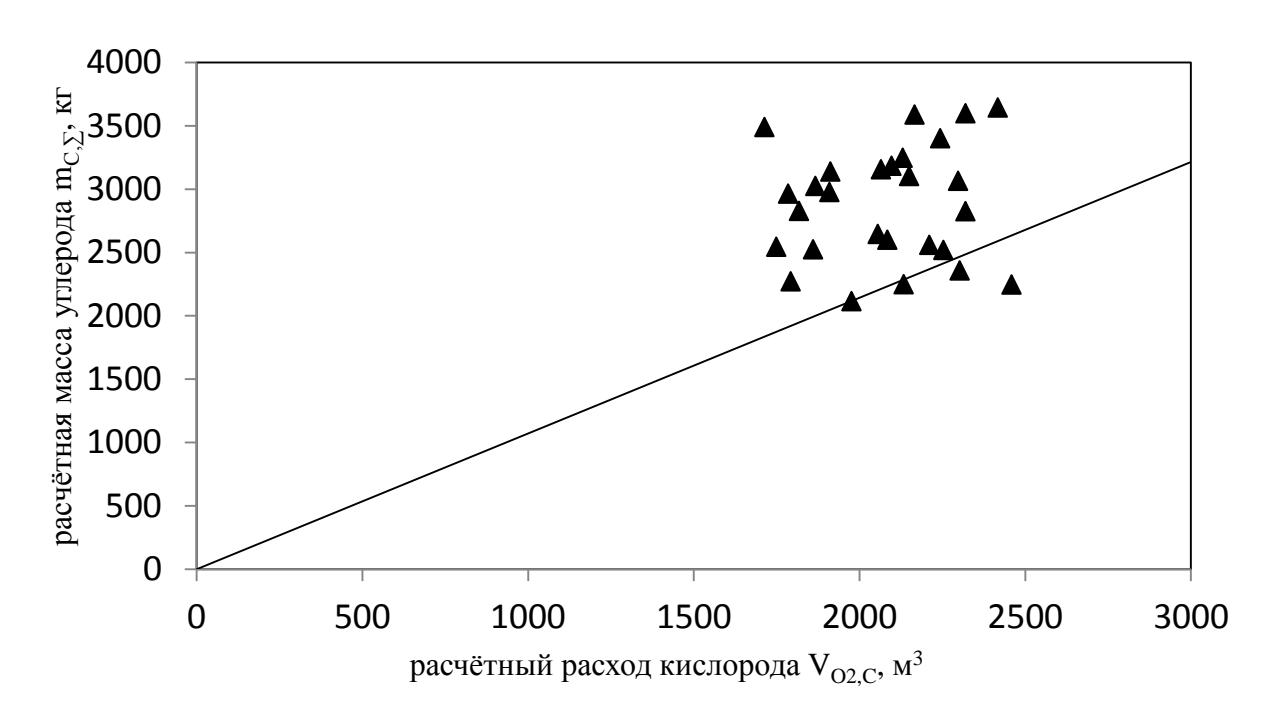


Рисунок 5.21— Зависимость общей расчётной массы углерода $m_{C,\Sigma}$, поступающего в печь,от расчётного расхода кислорода $V_{O2,C}$, идущего на окисление углерода. Линия отвечает стехиометрии образования CO

Из рисунка 5.21 следует, что значительной разброс точек может быть объяснён тем, что углерод из разных источников (лом, ГБЖ, кусковый кокс, порошок кокса) поступает в избытке относительно количества кислорода $V_{{\cal O}_2,{\cal C}}$, идущего на окисление углерода. Кроме того, масса углерода загруженного в печь, также характеризуется большими отклонениями от линии

стехиометрии СО: до 1000 - 1500 кг, что при 100 % усвоении углерода отвечает 0,45 - 0,68 % углерода в металле. Ясно, что усвоение углерода не 100 %, а ниже, но тем не менее эти цифры говорят о том, что концентрация углерода в полупродукте может очень сильно колебаться и в соответствии с этим содержание фосфора в полупродукте также должно быть нестабильным. Это хорошо видно из рисунка 5.1.

5.3 Оценка возможности замены низкофосфористого ГБЖ на высокофосфористое

Из вышеизложенного анализа технологии (главы 3 и 5) следует, что получить стабильное и низкое содержание фосфора в полупродукте можно, если использовать принципы технологии выплавки стали в дуговой печи с использованием металлизованного сырья, состоящие в том, чтобы в полупродукте получать концентрацию углерода — ниже 0,045 % и соответственно низкие концентрации фосфора. При этом в период рафинирования необходимо использовать минимальное количество кокса или не использовать его вообще. Полученный таким образом низкоуглеродистый низкофосфористый полупродукт можно выпускать в ковш, где в ходе выпуска производится науглероживание металла порошком коксом и углеродистыми ферросплавами до нижнего предела по содержанию углерода в стали. Отметим, что примерно таким образом плавят стали с различным содержанием углерода, включая средне и высокоуглеродистые стали.

В связи с этим представляется целесообразным в условиях предприятия EZZ Flat Steel использовать такую технологию не только при производстве низкоуглеродистой стали (Flat Steel), но и при получении среднеуглеродистой стали строительного сортамента. В этом случае в ДСП можно будет получать стабильно низкие концентрации фосфора в полупродукте и дорогостоящие низкофосфористые ГБЖ (0,012 % P) заменить на более дешёвые ГБЖ с повышенным содержанием фосфора (0,061 %). Это может оказаться и технологически, и экономически целесообразным. Проведём расчёт целесообразности перехода на такую технологию с использованием высокофосфористого ГБЖ.

Содержание фосфора в шихте определяется уравнением:

$$[P]_{uncombl} = Z_{nom} \cdot [P]_{nom} + Z_{\Gamma E \mathcal{K}} \cdot [P]_{\Gamma E \mathcal{K}}, \tag{5.12}$$

где $Z_{\text{лом}}, Z_{\Gamma Б Ж}$ – доля лома и $\Gamma Б Ж$ в шихте соответственно;

 $[P]_{\text{лом}}, [P]_{\Gamma \text{БЖ}}$ - содержание фосфора в ломе.

При
$$[P]_{\text{лом}} = 0,036$$
 % и $[P]_{\text{ГБЖ}} = 0,061$ %, $Z_{\text{лом}} = 0,75$, $Z_{\text{ГБЖ}} = 0,25$ получим
$$[P]_{\text{илсты}} = 0,036\cdot 0,75 + 0,061\cdot 0,25 = 0,042\%$$

Тогда концентрацию фосфора в полупродукте можно вычислить по уравнению

$$[P]_{nonynpodykm} = \frac{[P]_{uuuxmu} + \lambda_{\phi akm} \cdot (P)_{H}}{1 + \lambda_{\phi akm} \cdot L_{\phi akm}}$$

$$(5.13)$$

где $\lambda_{\text{факт}}$ - фактическая кратность шлака;

 $L_{\text{факт}}$ - фактический коэффициент распределения фосфора между металлом и шлаком.

Начальное содержание фосфора в шлаке (P)_н примем, ориентируясь на концентрацию фосфора в извести- 0,04%. Содержание CaO в шлаке примем равным 34%. Тогда, при условии, что фосфор вносит только известь, начальная расчётная концентрация фосфора в шлаке будет равна:

$$(P)_{_{H}} = 0.04\% \cdot \frac{(\%CaO)}{100\%} = 0.0136\%$$
 (5.14)

Примем $\lambda_{\phi a \kappa \tau} = 0,16$ и $L_{\phi a \kappa \tau} = 30$, тогда концентрация фосфора в полупродукте рассчитанная по формуле (5.13) будет равна 0,008%.

Это можно назвать оптимистической оценкой ситуации. Более осторожная оценка $[P]_{\text{полопродукт}}\,,\,\text{отвечающая минимальному значению }\lambda_{\text{факт}}\,=\,0,13\,\,\text{и максимальному }(P)_{\text{H}}\,=\,0,04\%,$ которая получается, если условно принять, что шлак состоит только из извести, даёт значение $[P]_{\text{полопродукт}}\,=\,0,0096\%\,.$ Это значение близко к цифре 0,008%.

Если принять, что всегда будет обеспечиваться значение $L_{\phi a \kappa \tau} = 20$ и выше, $\lambda_{\phi a \kappa \tau} = 0,13$, (P)_н=0,04%, то есть принять наиболее пессимистическую оценку условий дефосфорации, то $[P]_{nononpodykm} = 0,013\% \ .$

В стали, выплавляемой по анализируемой технологии, верхний допустимый предел по содержанию фосфора составляет 0,03% (таблица 5.1). Это означает, что эффективность данной технологии выплавки стали с использованием металлизованного сырья можно повысить за счет замены низкофосфористых горячебрикетированных брикетов высокофосфористыми и оптимизации процессов дефосфорации за счёт обезуглероживания полупродукта до более низкой концентрации углерода ниже 0,045% с последующим науглероживанием металла порошком кокса и высокоуглеродистыми ферросплавами в ковше на выпуске из печи.

Выводы по главе 5

Выполнен анализ технологии выплавки строительной стали с использованием в шихте лома и до 25% горячебрикетированного железа с содержанием фосфора 0,012%. Шихту загружали тремя корзинами с массами лома и ГБЖ (в тоннах): 80 и 20 в первой, 50 и 20 во второй, 30 и 10 в третьей корзине после проплавления трёх корзин идиот период рафинирования, в ходе которая нагревать металла и скачивать шлака. При использовании это технология наблюдается большой разброс концентраций фосфора в полупродукте: от 0,005 до 0,03 %.

Для каждой плавки сделаны балансы по фосфору. Показано, что фосфор распределяется между металлом и шлаком и практически не удаляется в газовую фазу. Погрешность баланса не превышает $\pm 20...25$ %. Поэтому анализ дефосфорации может быть проведён в системе металл-шлак.

Фактический коэффициент распределения фосфора растет с увеличением концентрации FeO в шлаке, ростом основности шлака, снижением концентрации углерода в полупродукте.

Значение фактического и равновесного коэффициентов распределения фосфора колеблется от 5 до 30 и выше при практически одной и той же доле ГБЖ (18 %). Это делает необходимым поиск механизма (химизма) процесса, который учитывал бы влияние всех основных факторов плавки.

Термодинамическим анализом уравнения изотермы химических реакций показано, что, начиная с концентрации углерода 0,045 % и выше возможно протекание процесса рефосфорации. Этот вывод отвечает теоретическим и экспериментальным результатам, полученным в главе 3 для плавки стали с использованием высокофосфористого металлизованного сырья.

Эффективность данной технологии выплавки стали с использованием металлизованного сырья можно повысить за счет замены дорогостоящих низкофосфористых горячебрикетированных брикетов более дешёвыми высокофосфористыми и оптимизации процессов дефосфорации за счёт обезуглероживания полупродукта до более низкой концентрации углерода - ниже 0,045 % - с последующим науглероживанием металла порошком кокса и высокоуглеродистыми ферросплавами в ковше на выпуске из печи.

ЗАКЛЮЧЕНИЕ

- 1. Проведено исследование технологии выплавки стали с дуговой печи вместимостью 220 т (завод EZZ Flat Steel, Египет) с использованием в шихте металлизованных окатышей и горячебрикетированного железа с содержанием фосфора 0,012 и 0,061%. Анализ поведения фосфора базировался на данных для 208 плавок. Из сравнения экспериментальных и равновесных данных следует, что реакция [P] + 2,5(FeO) = (PO_{2,5}) + Fe является ведущей, обеспечивающей дефосфорацию, а реакция рефосфорации (PO_{2,5}) + 2,5[C] = [P] + 2,5CO определяет полноту удаления фосфора. Анализ рассчитанных для каждой плавки по изотерме Вант-Гоффа фактических энергий Гиббса реакций окисления фосфора, углерода и железа показывает, что дефосфорацию целесообразно проводить при концентрации углерода в ванне металла менее 0,045%, так как при более высоком содержании углерода возможно протекание процесса рефосфорации.
- 2. Показано, что увеличение доли металлизованного сырья с повышенным содержанием фосфора (0,061 %) в шихте от 10 до 63 % приводит к возрастанию концентрации фосфора в полупродукте от 0,005 до 0,017 %. Расход электрической энергии при этом возрастает от 400 до 600 кВт·ч/т, время под током с 45 до 68 минут, общее время плавки с 55 до 100 минут, расход извести увеличивается с 50 до 80 кг/т.
- 3. Выполнен баланс по фосфору для каждой отдельной плавки. Установлено, что фосфор, в основном, распределяется в системе «металл шлак». В связи с этим анализ процесса дефосфорации проводился применительно к этой системе.
- 4. При плавке металлизованного сырья степень достижения равновесия L_{φ}/L_{P} реакции окисления фосфора оксидами железа [P] + 2,5(FeO) = (PO_{2,5}) + Fe составляет 0,1...0,4. При плавке лома эта величина близка к единице.
- 5. С повышением массы непрерывно загружаемого ГБЖ от 0 до 100 т (50% от массы шихты) коэффициент распределения фосфора снижается с 40 до 15, что связано с понижением концентрации кислорода в металле с 0,10 % (при плавке лома) до 0,06 % при подаче углеродсодержащих материалов на поверхность шлака, концентрация фосфора в полупродукте при этом повышается от 0,004 до 0,014%.
- 6. При непрерывной загрузке только металлизованных окатышей также наблюдается снижение коэффициента распределения фосфора и повышение концентрации фосфора в полупродукте. Однако, уровень концентрации фосфора примерно в полтора раза ниже, чем при подаче ГБЖ. Это можно объяснить тем, что при замене ГБЖ на окатыши активность оксида

железа в шлаке повышается с 0,5 до 0,75. При непрерывной подаче смеси (50% МОК и 50%ГБЖ) результат получается такой же, как при использовании только ГБЖ.

- 7. Предложена усовершенствованная технология плавки стали в высокомощной дуговой печи ДСП-220 с использованием металлизованного сырья с повышенным до 0,061% содержанием фосфора. Технология предполагает применение при непрерывной загрузке только металлизованных окатышей. При необходимости использовать ГБЖ предложено загружать его в корзины вместе с ломом в количестве 20 25 % от массы шихты в каждой корзине. По варианту близкому к предлагаемому проведено 5 плавок. Показано, что содержание фосфора в полупродукте снизилось с 0,016 0,008 до 0,008- 0,005 %, удельный расход электроэнергии уменьшился с 519 до 485 кВт·ч/т, время под током с 58-66 до 50-55 минут и выход годного повысился на 4 % за счёт снижения угара и уменьшения концентрации FeO в шлаке.
- 8. Выполнен анализ технологии выплавки строительной стали с использованием в шихте лома и до 25% ГБЖ с низким содержанием фосфора 0,012%. Шихту загружают тремя корзинами, в которых находится лом и ГБЖ, соответственно (в тоннах): 80 и 20 в первой, 50 и 20 во второй, 30 и 10 в третьей корзине. Затем идёт период рафинирования, в ходе которого нагревают металл и скачивают шлак. При такой технологии наблюдается большой разброс содержаний фосфора (от 0,005 до 0,03 %), которому отвечают значительные колебания концентрации углерода в полупродукте (от 0,05 до 0,3%) и коэффициента распределения фосфора (от 5 до 30) при практически одной и той же доле ГБЖ (≈18%). Коэффициент распределения фосфора качественно зависит от концентрации углерода в металле, основности и окисленности шлака так же, как и при плавке металлизованного сырья с повышенным содержанием фосфора.
- 9. Для совершенствования технологии выплавки строительной стали, предложено снизить общую массу вводимого в печь углерода с 3500 до стехиометрической кислороду массы 2000кг. Концентрацию углерода в полупродукте необходимо иметь на уровне 0,05-0,06%, что позволит заменить дорогостоящее низкофосфористое сырьё более дешёвым высокофосфористым и получить значительный экономический эффект.

СПИСОК ЛИТЕРАТУРЫ

- 1. Jaleel Kareem Ahmad. Melting of a new carbon –free waxed sponge iron in Electric Arc Furnace (EAF) for steelmaking // International Journal of Materials Science and Applications. 2015. No 4. P. 1-6.
 - 2. Delmek G. The white book of steel // World Steel Association. 2012. P. 53.
- 3. Deependra Kashiva. Indian Sponge Iron Industry Problems & Prospects// STEEL DIGEST. 2012. №10. P. 1-32.
- 4. Michael D. Fenton. Mineral Commodity Profiles—Iron and Steel // Open-File Report—1254. 2005. P. 40.
- 5. VAISH A. K., SINGH S.D., GUPTA K.N. Potentialities of alternative Charge materials for the electric arc furnace // National Metallurgical Laboratory. Jamshedpur. 2012.- № 831007.
- 6. Скороходов В. Н., Одесский П. Д., Рудченко А. В. Строительная сталь. М.:ЗАО Металлургиздат, 2002.- Р. 624.
 - 7. Гуляев А. П. Металловедение. М.: Металлургия, 1977. 647 с.
- 8. Бигеев А. М., Бигеев В. А. Металлургия стали. Теория и технология плавки стали. Магнитогорск: МГТУ, 2000.- Р. 203-221.
- 9. Grobler F. R, Minnitt C. A. The increasing role of direct reduced iron in global steelmaking // South African Institute of Mining and Metallurgy journal. 1999. № 3. P.111-116.
- 10. Manning Christopher P., Fruehan Richard J. The rate of the phosphorous reaction between liquid iron and slag // Metallurgical and materials transactions B. 2013. V. 44B. № 2. P 37.
- 11. Гудим Ю. А., Зинуров И. Ю., Киселев А. Д. Производство стали в дуговых печах. Конструкции, технология, материалы.- Новосибирск: Изд-во НГТУ, 2010. 547 с.
- 12. Fruehan Richard J., Manning Christopher P. Behavior of phosphorus in DRI/HBI during electric furnace steelmaking // Sponsor TBD Final Report, AISI/DOE Technology Roadmap Program, October 5. 2001.- P. 200.
- 13. Химический состав железа прямого восстановления // Украинская Ассоциация Сталеплавильщиков 2012.- URL: http://uas.su/books/srmp/61/razdel61.php (дата обращения: 15.11.2015).
- 14. Starwell Trading LLC. 322 Bellarine Drive, Greenville, SC 29605, USA. starwell@starwelltrading.com (дата обращения: 15.03.2015).
- 15. Orinoco Iron. URL: http://www.orinoco-iron.com/oi/en_index.html (дата обращения: 10.05.2014).

- 16. Lee M., Trotter D., Mazzei O. The production of low phosphorus and nitrogen steels in an EAF using HBI // Scandinavian Journal of Metallurgy. 2001. V.30. P. 286–291.
- 17. Smailer R.M. Phosphorous control in DRI steelmaking // ILAFA congress, Mexico City, Mexico.-June, 1983. P. 13.
- 18. Янес Д. Технология производства чугуна и стали с применением железа прямого восстановления ХиЛ // Материалы симпозиума: Метод прямого восстановления ХиЛ. М., 1982. С. 1-33.
- 19. Салтанов А. В., Уточкин Ю. И., Смирнов Н.А. Производство железа прямого восстановления // Электрометаллургия. 2012. №10. С.19-24.
- 20. Bhawan Parivesh. Sponge Iron Industry// Central pollution control board, Ministry of environment & forests, Govt. of India, East Arjun Nagar, 2007.
 - 21. Каталог продукции-окатыши URL: www.metinvest.com (дата обращения: 10.08.2015).
- 22. Doc: MTD 30(5066). ICS 73.060.10. Sponge iron, direct reduced iron (DRI), hot briquetted iron (HBI), cold briquetted iron (CBI) for steelmaking in induction furnace.- Bureau of Indian standards.15 Sept. 2011.
- 23. Monnet Group. URL: http://www.monnetgroup.com/sponge-iron-overview.php (дата обращения: 10.09.2015).
- 24. Hira Group India. URL: http://hiragroupindia.com/products/products/sponge-iron-dri/ (дата обращения: 10.09.2015).
- 25. Stubbles John. Operating and environmental benefits from the production and use of hot briquetted iron // Iron & Steel Technology. February 2007. P. 34-42.
- 26. Daniela Dalle, Annamaria Volpatti,. High Carbon content, metallization and silicain DRI/HBI, and their influence on EAF operation and performance // AISTech Proceedings. 2015. C. 1901-1905.
- 27. A. E. Vilkov, N. L. Tatarkin, M. F. Vitushchenko, and S. L. Shestakov. Assessing the Metallurgical Value of Iron Ore // Steel in Translation, 2010.- Vol. 40. №. 6, C. 552–557. © Allerton Press, Inc., 2010. Original Russian Text © A.E. Vilkov, N.L. Tatarkin, M.F. Vitushchenko, S.L. Shestakov, 2010, published in "Stal'," 2010. No. 6, P. 9–13.
- 28. Use of direct reduced iron in electric arc furnace/ URL: http://ispatguru.com/use-of-direct-reduced-iron-in-electric-arc-furnace (дата обращения: 08.08.2015). // MAY 8, 2013.
 - 29. Midrex Melt Seminar// May 2001, Singapore
- 30. LULE R., LOPEZ F., TORRES R. Proc. ISS EF Conference, Nov. 2000. Orlando, FL, USA.
- 31. Masaaki Atsushi, Hiroshi Uemura, Takashi Sakaguchi. Midrex processes // Kobelco technology review № 29., Dec. 2010. P. 50-57

- 32. Кудрин В. А. Теория и технология производства стали: Учебник для вузов. М.: Мир, Издательство АСТ, 2003. 528 с.
- 33. Pretorius E., Oltmann H. EAF Fundamentals // Process technology group LWB Refractories, Jeremy Jones Nurpo Corporation. 2000.- P. 1-25.
- 34. Dutta S.K., Lele A. B., Pancholi N.K. Studies on direct reduced iron melting in induction furnace // Trans. Indian Inst. Met.Vol.57, №. 5, October 2004. P. 467-473.
- 35. World Steel Association. Steel statistical year book // world steel Committee on Economic Studies. 2015. № 12. P.102–104.
- 36. Sanjay Sengupta. // Indian sponge iron industry.- Steel world. May. 2006. №.29. P.7-14.
- 37. International Maritime Organization, Venezuela. Technical report on the safety issues on the shipment of DRI Fines // DSC 12/INF.4 19. June 2007. P.9–10.
- 38. Anitha Krishnan. E Shailaja Nair. Embattled Indian sponge iron sector faces illegal Iranian DRI imports // Singapore. 2 Aug 2013. P.1–3.
- 39. International Iron and Steel Institute. Steel statistical year book //Committee on statistics Brussels. Belgium. 1990. № 12. P.–47.
- 40. International Iron and Steel Institute. Steel statistical year book //Committee on Economic Studies. Brussels. 2004. № 12. P.5–13.
- 41. Попель С. И., Сотинков А. И., Бороненков В. Н. Теория металлургических процессов. М.: Металлургия, 1986 г. 416 с.
- 42. Медовар Б. И., Ступак Л. М. Электрошлаковая плавка металлизованных окатышей // Черная металлургия. № 5.- 1984.- 26 с.
- 43. Somnat Basu, Ashok Kumar Lahiri, and Seshadri Seetharaman. Phosphorus partition between liquid steel and CaO-SiO2-P2O5-MgO slag containing 15 to 25 Pct FeO // Metallurgical and materials transactions B. 2007. V. 38B. № 3. P.623-630.
- 44. Трахимович В. И., Шалимов А. Г. Использование железа прямого восстановления при выплавке стали. -М. :Металлургия, 1982.- 248 с.
- 45. Fruehan Richard J. The Making Shaping and Treating of Steel.11th Edition Steelmaking and Refining Vol.2. USA: American Society for Metals.1998. P. 831.
- 46. Bhavan Manak. Indian Standard Melting characteristics of sponge iron/direct reduced iron (DRI)// Bureau of Indian Standards, New Delhi 110002, IS 12668:1989, (Reaffirmed 1999)
- 47. Pavlov Vladimir Viktorovich, Logunova Oxana Sergeevna. Charging melting materials selection procedure for EAF for work in power saving mode // World applied science journal. V. 31. 2014. No. 8. P. 1502-1507.

- 48. Совершенствование энерготехнологического режима выплавки стали в ДСП-150 при использовании горячебрикетированное железа в завалке с целью повышения эффективности производства: дис. на соискание ученой степени канд. техн. наук: 05.16.02: защищена 25.12.2008 / Тимофеев Евгений Станиславович. М., 2007. 129 с.
- 49. Meraikib Mohammed. Effects of Sponge iron on the Electric Arc Furnace Operation // ISIJ International. Vol. 33. 1993. No. 11. P. 1174-1 181.
- 50. Chichko A. A., Matochkin V. A., Sobolev V. F., Chichko A. N. Controlling the Dephosphorization of Steel during Melting a Semi product in an ASF // Russian Metallurgy (Metally), Vol. 2009. No.7. P. 576–580
- 51. Тимофеев Е. С., Головко Е. В., Тимофеева А. С. Влияние горячебрикетированного железа на качество стали // Современные наукоемкие технологии № 1. материалы конференций. 2005. С. 29.
- 52. Anderson S. H. Educated use of DRI/HBI improves energy efficiency, yield and downstream operating results // Midrex Technologies Inc.- Charlotte, North Carolina, USA. -3-RD Quarter 2002/ P. 1-14.
- 53. Хассан. А. И., Котельников. Г. И., Семин. А. Е., Мегахед. Г. М. Анализ процесса дефосфорации при выплавке стали из металлизованного сырья с повышенным содержанием фосфора // Черные металлы.- № 1.- 2015. Р. 12-18.
- 54. Явойский В.И. Теория процессов производства стали: Учеб. Пособие для вузов. Металлургия. - 1967. – С. 464.
- 55. Григорян В. А., Стомахин А. Я., Уточкин Ю. И. и др. Физико-химические расчеты электросталеплавильных процессов: Сб. задач с решениями. 2-е изд., перераб. и доп. М.: МИСиС. 2007. 318 с.
- 56. Григорян В. А., Белянчиков Л. Н., Стомахин А. Я. Теоретические основы электросталеплавильных процессов, М.: Металлургия, 1987. С. 133-134.
- 57. Туркдоган Е. Т. Физическая химия высокотемпературных процессов; пер. с англ. яз. М.: Металлургия, 1985. С. 344.
- 58. Кожеуров В.А. Термодинамика металлургических шлаков. Свердловск: металлургия, 1955.- С. 163.
- 59. Retsu Nagabayashi, Mitsutaka Hino, Shiro Banya. Mathematical expression of phosphorous distribution in steelmaking process by quadratic formation // ISIJ International. 1989. V. 29. № 2. P. 140-147.
- 60. Крамаров А. Д. Производство стали в электропечах. М.: металлургия, 1969 г. С. 70.

- 61. Lee M., Trotter D., O. Mazzei. Production of low phosphorus and nitrogen steels using HBI in the EAF// Electric Furnace Proceedings. 1997.- P. 467-472.
- 62. Хассан А. И., Котельников Г. И., Семин А. Е., Мегахед Г. М. Анализ технологии выплавки стали с использованием в шихте металлизованных окатышей и НВІ железа с повышенным содержанием фосфора // Черные металлы. № 5. 2015. С. 64–69.
- 63. Кафедра металлургии стали и ферросплавов. Теория и технология металлургии стали // \mathbb{N} 2049. 2011. C. 4–53.
- 64. Кожухов А. А. Исследование влияние химического состава шлака на его способность вспениваться в дуговой сталеплавильной печи // Электрометаллургия. 2014. № 12. С. 18-23.
- 65. Meraikib Mohammed. Contribution to phosphorus behavior in steelmaking with sponge iron // Steel research, Vol. 59. 1988. No. 10. P. 449 453.
- 66. Новиков В. А., Куликов и др. Исследование и освоение процесса дефосфорации в новой ДСП-120 «ОМЗ-Спецсталь»// Электрометаллургия. 2012. № 6. С. 2-6.
- 67. Корзун Е.Л., Пономаренко А.Г. К вопросу о точности термодинамических величин, используемых для моделирования процессов чёрной металлургии // Системные технологии. $2010. N_{\rm P} 2.- C. 28-36.$
- 68. Вегман Е. Ф., Жеребин Б. Н., похвиснев А. Н., Юсфин Ю. С. Металлургия чугуна. М.: Металлургия, 1978. 479 с.
- 69. Frohber M. Kappor M. Pantke H. D. Queens C.-. arch. Eisenhuttenwesen.-1975. Bd46.-N11.- P. 695-700.
- 70. Скороходов В. Н., Одесский П. Д., Рудченко А. В. Строительная сталь. М.: Металлургиздат, 2002. С. 624.
- 71. Dressel Gregory L. Direct reduced iron process effects and applications. Use of DRI in EAF// Pawleys Island, SC. USA. 1997. P. 1-6.
- 72. Takla Nabil Daoud. Utilization of sponge iron in electric arc furnace //Qatar Steel Company Ltd. (QASCO). AISU 2nd Electric Furnace Symposium in Damascus, Syria, October 18-20, 1998. P. 3-6.
- 73. Шалимов А. Г., Семин А. Е., Галкин М. П., Косырев К. Л. Инновационное развитие электросталеплавильного производства. –М.: Металлургиздат. 2014. С. 307.
 - 74. Ойкс Г. Н., Иоффе Х. М. Производство стали. М.: Металлургия, 1975.- С. 78.
- 75. Turkdogan E. T. Assessment of P_2O_5 activity coefficient in molten slags// ISIJ International. $-2000. N_2 10. P. 964-970.$
- 76. Stephenson R. L. Smailer R. M. Direct reduced iron technology and economics of production and use // The iron and steel society of AIME, USA. 1980.– P. 104.

- 77. Гончаров В.В., Коберник В. Г., Коршиков С. П., Сидоров В. П. Совершенствование технологии выплавки стали в ДСП с использованием металлизованных окатышей // Межрегиональная общественная организация «Ассоциация сталеплавильщиков». 2007. С. 247-250.
- 78. Alameddine S., Bowman S. Particularities of melting DRI in AC and DC Arc furnace // Archive of metallurgy and materials. V. 53. 2008 № 2. P. 411-417.
 - 79. Aster J. E. Steel times // November. 1993. C. 462.
- 80. A Tayeb Mohammed, Fruehan Richard, Sridhar Seetharaman. Dephosphorization in the DRI-EAF Steelmaking and the Effect of Alumina // AISTech Proceedings. 2014. P. 1073-1086.
- 81. Manenti Angelo A.. Economics and Value-in-Use of DRI in the USA // AISTech Proceedings. 2015. P. 333-344.
- 82. Hanna Ashraf, Zettl Karl-Michael. Electric Arc Furnace Process Improvements and Lining Concepts // AISTech Proceedings. 2014. P. 3789-3798.
- 83. Alessandro Martinis, Daniela Dalle Nogare, Annamaria Volpatti, Pablo Duarte. High Carbon Hot DRI Production and Use: ENERGIRON Results and Performances in Operating Plants // AISTech Proceedings. 2015. P. 356-365.
- 84. Hornby Sara, Madias Jorge, Francisco Torre. Myths and Realities of Charging DRI/HBI in Electric Arc Furnaces // AISTech Proceedings. 2015. P. 1895-1905.
- 85. A Tayeb Mohammed, Pistorius Chris, Sridhar Seetharaman, Fruehan Richard. Process Model for Phosphorus Reaction in EAF Steelmaking: DRI, Scrap and Mix Cases // AISTech Proceedings. 2015. P. 1946-1953.
- 86. Memoli Francesco Memoli, Jeremy Jones A.T. The Use of DRI in a Consteel EAF Process // AISTech Proceedings.- 2014. P. 1015-1025.
 - 87. EZZ Steel Company. Long products catalogue // www.ezzsteel.com/ P. 28.
- 88. Christopher P. Maning, Richard G. Fruehan. The rate of phosphorous reaction between liquid iron and slag // Metallurgical and materials transactions. − 2013. − №. 44B. − P. 37-44
- 89. Дефосфорация и глубокое обезуглероживание высоколегированных расплавов в условиях низкой окисленности: дис. на соискание ученой степени доктора технических наук: 05.16.02 / Семин Александр Евгеньевич. М., 1996. 347 с.
- 90. ГОСТ Р 52939-2008. Руды железные товарные необогащенные. Общие технические условия.

Приложение А

Данные дополнительных плавок с использованием металлизованного сырья

Таблица А1- Основные характеристики технологии выплавки стали с использованием в шихте высокофосфористого металлизованного сырья

	Корзина 1		Корзин	ia 2	Всего и корзин				Неп пода	рерыві ача	ная	()	T	йи,	ц	ход м3	Д
Плавка	Масса, т	Время под током, мин	Масса, т	Время под током, мин	моГ	нугун	50%NOK+	кокс	МОК, т	ГБЖ, т	Время под током, мин	Всего шихты (лом+ чугун +МОК+ГБЖ)	Выпуск стали,	Общий расход электроэнергии, МВт [.] ч	Общий расход углерода, т	Общий расход кислорода, мЗ	Общий расход извести, т
1	104	17	51	11	112.9	0	39.7	2	33	37	23	222.6	180	102	3.59	6242	14
2	104	16	50	12	112.7	0	39.4	2	33	37	26	222.1	184	102	3.82	6487	13
3	-	-	-	-	-	-	-	-	-	-	-	-	-	-	-	-	-
4	-	-	-	-	-	-	-	-	-	-	-	-	-	-	-	-	-
5	98	19	49,7	11	107.3	0	40.4	2	35	35	22	217.7	179	98.4	3.43	5463	11.7
6	100,3	16	51	12	94.9	0	40.8	2	50	20	19	205.7	188	104	3.47	6767	12
7	-	-	-	-	-	-	-	-	-	-	-	-	-	-	-	-	-
8	101,5	16	52,6	12	112.4	0	41.7	2	48	22	24	224.1	184	104	2.76	6634	13
9	101,3	18	40,9	11	96.2	0	46	2	40	40	28	222.2	181.4	109	4.33	6777	13.7
10	100,5	16	40,3	10	97.4	0	43.9	2	40	40	23	221.3	187.2	94.7	3.25	6631	13.7
11	100,9	17	40,3	10	97.2	0	44	2	50	30	22	221.2	185	101	4.16	6397	14
12	102,3	16	0	0	73.2	0	29.1	2	50	30	24	182.3	185	81.4	2	5219	14.8
13	100,8	16	40,1	10	95.6	0	45.2	2	46	24	23	210.8	190	91.7	3.05	5820	14.5
14	100,8	16	50,4	12	106	0	45.4	2	50	20	18	221.4	180	92.1	3.48	5995	13.4
15	101,3	17	50,3	12	106.3	0	45.3	2	40	30	19	221.6	186	92.1	3.37	5791	14.2
16	113	19	51	-	100.8	0	45.6	2	42	18	20	206.4	183	91,3	2.48	5764	13
17	113	16	53	12	119.5	0	45.4	2	30	20	13	214.9	187	97.8	2.36	5679	11
18	113	16	50	11	114.9	0	45.7	2	31	19	25	210.6	185	96.2	2.37	5332	11

19	102	17	41	9	95.9	0	45	2	37	23	26	200.9	188	93.8	2.46	6123	12
20	-	-	ī	-	ï	-	-	ı	ı	-	1	-	ľ	ı	1	-	-
21	-	-	-	-	-	-	-	-	ı	-	-	-	-	-	-	-	-

Таблица А2- Составы шлака после расплавления двух корзин, %

Плавка	CaO	SiO ₂	FeO	MgO	Al ₂ O ₃	MnO	Cr ₂ O ₃	P ₂ O ₅	TiO ₂
1	29,216	15,809	36,38	7,384	6,614	2,301	0,799	0,833	0,664
2	32,565	15,284	35,332	6,163	6,463	1,948	0,688	0,897	0,659
3	26,988	11,73	47,458	5,501	5,626	1,142	0,382	0,691	0,482
4	26,548	10,411	46,755	9,359	4,737	0,848	0,312	0,619	0,409
5	21,085	10,745	37,952	23,31	4,288	1,237	0,458	0,508	0,413
6	25,519	12,142	45,934	7,512	5,361	1,749	0,635	0,635	0,513
7	25,621	13,176	45,929	5,908	6,138	1,401	0,508	0,764	0,553
8	29,389	13,167	39,438	8,638	5,836	1,675	0,573	0,739	0,546
9	31,483	15,581	35,636	6,265	7,293	2,016	0.418	0,761	0,547
10	30,35	13,454	40.738	4,641	6,727	2,107	0.744	0,712	0,528
11	34,446	9,6653	41,396	7,963	4,478	0,789	0,344	0,58	0,337
12	29,109	12,547	44,537	5,019	5,711	1,465	0,478	0,66	0,473
13	27,608	12,225	46,486	4,248	5,888	1,844	0,562	0,668	0,47
14	27,843	10,174	49,26	4,235	4,69	2,276	0,585	0,562	0,375
15	26,635	13,213	46,056	4,1	5,621	2,58	0,589	0,72	0,486
16	39,979	19,307	18,51	6,537	10,23	3,326	0,685	0,78	0,644
17	34,19	15,541	31,983	6,278	6,579	3,274	0,798	0,782	0,575
18	33,682	13,29	38,075	6,422	5,215	1,633	0,528	0,579	0,575
19	27,197	12,391	44,607	6,101	5,334	2,478	0,854	0,545	0,494
20	32,127	13,1	38,458	6,602	5,604	2,287	0,672	0,667	0,482
21	34,998	12,222	37,798	5,389	5,211	2,567	0,686	0,66	0,47

Таблица А3- Состав металла (%) и температура после расплавления двух корзин

Плавка	C	Mn	S	P	Cu	Ni	Cr	Sn	Si	О	T, °C
1	0,064	0,021	0,034	0,015	0,243	0,073	0,042	0,009	0,005	0,0624	1600
2	0,055	0,019	0,04	0,01	0,206	0,067	0,037	0,01	0,005	_	1535
3	0,049	0,019	0,026	0,012	0,378	0,057	0,013	0,001	0,001	-	1617
4	0,046	0,005	0,018	0,009	0,198	0,048	0,01	0,006	0,005	-	1530
5	0,057	0,009	0,029	0,01	0,193	0,059	0,016	0,008	0,005	0,07	1569
6	0,052	0,01	0,018	0,014	0,211	0,062	0,02	0,01	0,005	0,0721	1484
7	0,062	0,017	0,028	0,016	0,168	0,051	0,019	0,009	0,001	0,062	1540
8	0,047	0,012	0,03	0,013	0,226	0,066	0,024	0,009	0,009	0,0541	1553
9	0,059	0,022	0,032	0,017	0,159	0,052	0,027	0,008	0,005	0,075	1545
10	0,061	0,014	0,029	0,014	0,19	0,066	0,031	0,01	0,005	0,0631	1569
11	0,071	0,018	0,03	0,016	0,224	0,074	0,037	0,012	0,005	0,0654	1570
12	0,055	0,009	0,024	0,014	0,163	0,055	0,018	0,009	0,005	0,045	1590
13	0,067	0,016	0,027	0,009	0,183	0,073	0,023	0,009	0,005	0,052	1527
14	0,036	0,026	0,022	0,011	0,189	0,066	0,018	0,01	0,002	0,0562	1611
15	0,04	0,015	0,023	0,013	0,2	0,067	0,019	0,01	0,005	0,054	1530
16	0,053	0,023	0,03	0,009	0,206	0,068	0,044	0,008	0,005	0,0613	1547
17	0,071	0,039	0,03	0,008	0,212	0,068	0,042	0,016	0,009	0,064	1554
18	0,054	0,029	0,035	0,011	0,217	0,073	0,042	0,012	0,005	0,0725	1588
19	0,04	0,007	0,023	0,01	0,145	0,066	0,017	0,008	0,005	0,0775	1555
20	0,045	0,024	0,03	0,009	0,183	0,067	0,03	0,012	0,005	0,0595	1597
21	0,051	0,037	0,039	0,01	0,222	0,076	0,03	0,015	0,002	0,069	1590

Таблица A4- Составы шлака после окончания непрерывной загрузки металлизованного сырья перед выпуском, %

Плавка	CaO	SiO ₂	FeO	MgO	Al ₂ O ₃	MnO	Cr ₂ O ₃	P_2O_5	TiO ₂
					6,019				
1	30,876	13,827	39,297	6,622		1,497	0,535	0,767	0,559
2	31,137	12,351	43,157	5,21	5,366	1,142	0,425	0,729	0,484
3	23,842	11,368	49,796	7,052	5,181	1,278	0,444	0,581	0,459
4	25,333	9,4563	46,707	12,82	4,092	0,552	0,161	0,544	0,334
5	23,874	11,204	50,417	7,152	4,858	1,045	0,364	0,627	0,459
6	23,294	11,542	49,578	7,912	5,078	1,112	0,349	0,634	0,501
7	28,301	12,041	45,571	5,876	5,599	1,024	0,365	0,722	0,5
8	29,249	13,276	42,566	6,192	6,078	0,938	0,328	0,822	0,552
9	31,19	9,6202	46,663	5,772	4,324	1,114	0,377	0,637	0,304
10	24,644	8,0672	47,438	14,79	3,46	0,641	0,289	0,561	0,239
11	25,161	8,1851	44,256	17,33	3,466	0,618	0,286	0,469	0,229
12	26,705	12,302	40,778	12,6	5,361	0,928	0,295	0,576	0,451
13	25,371	11,902	50,553	3,759	5,638	1,326	0,418	0,59	0,444
14	30,603	12,179	45,436	3,778	5,517	1,016	0,287	0,731	0,454
15	36,991	13,092	37,874	3,772	5,673	1,07	0,284	0,771	0,473
16	36,277	11,154	39,404	5,306	4,743	1,512	0,628	0,567	0,41
17	37,609	16,884	28,025	6,369	6.875	2,366	0,571	0,588	0,714
18	31,897	12,103	42,554	5,754	4,749	1,426	0,497	0,514	0,507
19	37,044	9,5357	41,766	5,526	3,755	1,038	0,433	0,497	0,406
20	26,887	12,385	45,633	5,896	5,293	2,181	0,702	0,591	0,434
21	30,521	14,167	38,063	6,688	6,031	2,563	0,739	0,729	0,499

Таблица А5- Состав металла (%) и температура после окончания непрерывной загрузки металлизованного сырья перед выпуском

Плавка	С	Mn	S	P	Cu	Ni	Cr	Sn	Si	[O]	T, °C
1	0,049	0,006	0,034	0,0127	0,185	0,056	0,019	0,008	0,005	0,07	1630
2	0,049	0,01	0,037	0,0119	0,19	0,062	0,026	0,01	0,005	-	1620
3	0,042	0,008	0,016	0,013	0,256	0,042	0,005	0,007	0,001	-	1645
4	0,057	0,009	0,029	0,01	0,193	0,059	0,016	0,008	0,005	-	1606
5	0,042	0,007	0,023	0,011	0,16	0,05	0,013	0,007	0,005	0,1126	1645
6	0,057	0,006	0,023	0,0127	0,173	0,052	0,014	0,008	0,005	0,0658	1638
7	0,038	0,015	0,025	0,007	0,197	0,05	0,014	0,008	0,001	0,0875	1627
8	0,045	0,013	0,026	0,014	0,163	0,05	0,011	0,009	0,009	0,0778	1635
9	0,044	0,015	0,027	0,0135	0,154	0,051	0,021	0,01	0,005	0,0807	1638
10	0,038	0,005	0,023	0,0154	0,152	0,053	0,012	0,008	0,005	0,1078	1647
11	0,036	0,005	0,021	0,017	0,177	0,059	0,011	0,008	0,005	0,0643	1630
12	0,043	0,014	0,023	0,0151	0,146	0,051	0,012	0,009	0,001	0,0742	1603
13	0,042	0,008	0,023	0,014	0,146	0,058	0,015	0,007	0,005	0,086	1623
14	0,03	0,01	0,021	0,0118	0,137	0,05	0,007	0,009	0,001	0,0794	1603
15	0,035	0,012	0,022	0,015	0,14	0,048	0,012	0,009	0,005	0,0693	1626
16	0,038	0,018	0,026	0,008	0,198	0,068	0,033	0,009	0,005	0,0626	1625
17	0,032	0,025	0,03	0,012	0,195	0,066	0,027	0,015	0,005	0,1127	1657
18	0,04	0,011	0,028	0,01	0,171	0,059	0,021	0,011	0,005	0,0829	1615
19	0,027	0,008	0,023	0,009	0,145	0,066	0,017	0,011	0,005	0,1112	1650
20	0,038	0,024	0,029	0,012	0,182	0,071	0,032	0,012	0,005	0,0787	1652
21	0,018	0,03	0,03	0,011	0,228	0,074	0,031	0,016	0,008	0,0713	1643

Таблица А6- Фактические и равновесные характеристики распределения фосфора и кислорода между металлом и шлаком

Плавки	Y(FeO)	¥(PO2,5)	$f_{[P]}$	L _{равн}	L_{Φ}	$L_{\phi}/L_{\text{равн}}$	$f_{[0]}$	[O] _{FeO} , %	[O] _C , %	[О]факт,%	T, °C
1	1.636	0.0208	1.0395	71.27	26.36	0.3699	0.911	0.133	0.0433	0,07	1630
2	1.554	0.0172	1.0176	96.71	26.72	0.2763	0.94	0.131	0.0431	-	1620
3	1.427	0.0453	1.0161	42.52	19.52	0.4591	0.954	0.154	0.0514	-	1645
4	1.425	0.039	1.0203	40.87	23.72	0.5805	0.945	0.119	0.0455	-	1606
5	1.425	0.0448	1.0505	45.72	24.88	0.5442	0.903	0.164	0.0514	0,1126	1645
6	1.442	0.0497	1.0409	40.17	21.78	0.5421	0.909	0.157	0.0375	0,0658	1638
7	2,16	0,052	1,041	87,06	45,05	0,517	0.918	0.142	0.0559	0,0875	1627
8	1.579	0.0244	1.0411	68.62	25.64	0.3736	0.913	0.143	0.0476	0,0778	1635
9	1.426	0.0157	1.0408	106.1	20.59	0.1941	0.914	0.144	0.0491	0,0807	1638
10	1.356	0.045	1.0486	32.06	12.34	0.3849	0.91	0.141	0.0568	0,1078	1647
11	1.384	0.0446	1.0349	27.72	12.03	0.4341	0.931	0.12	0.0599	0,0643	1630
12	1.578	0.0375	1.0396	38.89	16.65	0.4281	0.919	0.115	0.0482	0,0742	1603
13	1.43	0.0326	1.0428	65.86	18.39	0.2792	0.915	0.152	0.0507	0,086	1623
14	1.525	0.0165	1.037	115	27.02	0.2351	0.93	0.129	0.0694	0,0794	1603
15	1.653	0.0085	1.0354	164.3	22.43	0.1365	0.929	0.126	0.0608	0,0693	1626
16	1.549	0.0088	1.0326	148.1	30.93	0.2089	0.926	0.122	0.0559	0,0626	1625
17	1.885	0.0117	1.0473	72.63	21.4	0.2946	0.91	0.118	0.068	0,1127	1657
18	1.551	0.0154	1.0402	105.7	22.42	0.2121	0.916	0.129	0.0531	0,0829	1615
19	1.464	0.0078	1.0455	168.6	24.08	0.1428	0.918	0.137	0.0805	0,1112	1650
20	1.493	0.0316	1.0384	55.35	21.48	0.3881	0.919	0.156	0.0571	0,0787	1652
21	1.645	0.0227	1.03	59.7	28.93	0.4846	0.915	0.136	0.049	0,0713	1643

Приложение Б

Письмо о согласовании темы работы с заводом EZZ Flat Steel



شركة العز لصناعة الصلب المسطح AL EZZ FLAT STEEL COMPANY

Upon the request of Engineer / Abdelrhman Ibrahim Abdelmoaty Mohamed - who is working as Lecturer assistant at "Tabbin Institute for Metallurgical Studies" Cairo, Egypt - to use slag and metal analysis of 52 heats between heat #10030152 and #1110242 of electric arc furnace of Ezz Flat Steel company to conduct research concerning obtaining a Ph.D. degree from the state of Russian Federation from the "National research technological university" (MISIS).

Ezz Flat Steel, Egypt, agreed for him to use these results for the purpose of Ph.D. study only, and in case of using the results in any other research, publications and or projects, he or his supervisors and his institute should get individual permission after the publication being reviewed by our specialists.

The mentioned person will carry out these studies with the mentioned university taking into account the non-use of any other person for the same analysis to do the same researches during the period of his work to get a PhD.

The company keeps its rights to get a full copy of the Ph.D. and full copy of the all results and to use and apply these results without referring to anybody.

Deputy General Manager for Technical Affai

Dr. Gamal Megahed

إحدى شركات حديد عز

A Member of ezzsteel

الإدارة: ١٠ شارع شهاب، المنتسين، الجيزة، ٢٠ ع

Перевод с английского

На фирменном бланке «Аль ЭЗЗ Флэт Стил Компани»

По запросу Инженера: Абдельрхман Ибрахим Абдельмоати Мохамед Хассан, младшего преподавателя Университета Металлографических Исследований Таббин, Каир, Египет на использование результатов анализа шлаков и металла удельной теплоты 52 в пределах #1003052 и #1110242 дуговой электропечи «ЭЗЗ Флэт Стил Компани» для проведения исследований, необходимых для получения степени кандидата наук Российской Федерации в Национальном Исследовательском Технологическом Университете (МИСИС).

«ЭЗЗ Флэт Стил», Египет, разрешила ему воспользоваться данными результатами исключительно в целях получения степени кандидата наук, а для использования результатов в других исследованиях, публикациях и \ или проектах, он, его научные руководители или его институт должны получить отдельное разрешение после того как публикация будет рассмотрена нашими специалистами.

Вышеуказанное лицо будет проводить данные исследования в указанном университете, при условии недопущения других лиц к проведению аналогичных анализов и исследований в течение проведения им работ для получения степени кандидата наук.

Компания сохраняет за собой право получить полный экземпляр кандидатской диссертации, а также полную копию всех результатов, а также использовать и применять данные результаты, не отчитываясь перед кем-либо.

Заместитель Генерального Менеджера по Техническим Вопросам

Д-р Гамал Мегахед подпись

Печать: «Аль ЭЗЗ Флэт Стил Компани». Отдел кадров.

Главный офис: 10 Шехаб Св.Мохандессин, Гиза, Египет Тел.: +2 02 37622144/66/77, Факс: +2 062 37621405 Адрес: 44 км Катамия Роад, Аин Сохна Роад, Суез, Египет

Тел.: +2 062 3250361/63/70, Факс: +2 062 3250362

www.ezzsteel.com

Приложение В

Письмо об использовании результатов диссертации заводом EZZ Flat Steel



شركة العز لصناعة الصلب المسطح AL EZZ FLAT STEEL COMPANY

About application of the results of Ph.D. thesis submitted by: Eng/ Abdelrhman Ibrahim Abdelmoaty Mohamed Hassan

To Whom It May Concern

Date: 17th of January 2016

After discussions of the results and recommendations obtained with the using of molten metal and slag chemical analyzes from electric arc furnace at EZZ Flat Steel, Suez, Egypt, for conducting the doctoral thesis in the state of Russian Federation at "National University of Science and technology" (HIИТУ МИСиС), Moscow by the Eng /Abdelrhman Ibrahim Abdelmoaty Mohamed Hassan, assistant lecturer at "Tabbin Institute for metallurgical studies", we could conclude that the results obtained are useful and promising in the terms of using reduced materials as a metallic charge in electric arc furnace. These results will help to understand more about the melting of direct reduced iron materials with different phosphorus contents in electric arc furnace. As agreed before conducting the study, EZZ Flat Steel Company, Suez, Egypt, has the right to apply the obtained results without any obligation.

So the obtained results could be applied in the production of steel from electric arc furnace at EZZ Flat Steel, Suez, Egypt whenever possible to enhance the steel making process.

Deputy of General Manager for Technical Affairs

ger for recrification Technical Division القطاع الفني

شركة العز لصناعة الصلب المسطح

A Member of ezzsteel

احدى شركات حديد عز

Перевод с английского

На фирменном бланке «Аль ЭЗЗ Флэт Стил Компани»

Для предъявления по месту требования

Дата: 17 января 2016

После обсуждения результатов и рекомендаций, полученных касательно использования расплавленного металла, а также химических анализов шлаков дуговой электропечи в компании «ЭЗЗ ФЛэт Стил», Суэц, Египет, в целях защиты докторской диссертации В Российской Федерации, Национальный Исследовательский Технологический Университет (НИТУ МИСиС), г. Москва, инж.: Абдельрхман Ибрахим Абдельмоати. Мохамед Хассан, младшим преподавателем Университета Металлографических Исследований Таббин, мы можем сделать вывод, что полученные результаты являются полезными и многообещающими в том, что касается использования измельченных материалов в качестве металлической шихты для дуговых электропечей. Эти материалы помогут лучше понять принцип расплавления материалов из железа прямого восстановления с различным содержанием фосфора в дуговой электропечи. Как было согласовано перед проведением исследования, «ЭЗЗ Флэт Стил Компани», Суэц, Египет, имеет право использовать полученные результаты без каких-либо обязательств.

Таким образом, полученные результаты могут использоваться для производства стали в дуговых электропечах «ЭЗЗ Флэт Стил», Суэц, Египет в целях усовершенствования процесса производства стали.

Заместитель Генерального Менеджера по Техническим Вопросам

Д-р Гамал Мегахед подпись

Печать: «Аль ЭЗЗ Флэт Стил Компани». Отдел кадров.

Главный офис: 10 Шехаб Св.Мохандессин, Гиза, Египет Тел.: +2 02 37622144/66/77, Факс: +2 062 37621405 Адрес: 44 км Катамия Роад, Аин Сохна Роад, Суез, Египет

Тел.: +2 062 3250361/63/70, Факс: +2 062 3250362

www.ezzsteel.com

